

Faculdade de Engenharia da Universidade do Porto



**Investigação Experimental de Técnicas de
Reconhecimento de Padrões em Sistemas Automáticos**

Tiago Granja da Silva

DISSERTAÇÃO

Dissertação no âmbito do Mestrado Integrado em Engenharia Mecânica
Secção de Automação, Instrumentação e Controlo

Orientador: Prof. Dr. António Pessoa de Magalhães

Agosto de 2010

Agradecimentos

Gostaria de agradecer principalmente ao meu orientador Prof. António Pessoa de Magalhães, pela paciência e disponibilidade demonstrada no decorrer do desenvolvimento deste projecto. Agradeço também aos restantes professores e colegas, com quem a convivência e discussão de diversos assuntos ao longo destes cinco meses permitiu a realização de um projecto mais consistente.

A nível mais pessoal, aqui deixo o meu agradecimento aos meus amigos de sempre, em particular à Bea, e por fim, mas não menos importante, quero aproveitar para agradecer à minha família pela presença e compreensão em todos os momentos da minha vida.

Resumo

O reconhecimento de formas ou padrões é um requisito primário para um considerável número de aplicações de automação industrial. A existência de Controladores Lógicos Programáveis normalmente associados ao controlo e monitorização dos processos industriais, justifica a pertinência do estudo da sua utilização na aquisição e análises de imagens obtidas por varrimento de um conjunto de sensores. O seu estudo permitiria identificar, testar e validar técnicas simples que sirvam o reconhecimento de formas e que possam ser facilmente implementáveis, a custos reduzidos, em equipamentos e ambientes industriais.

Este trabalho começa por fazer uma descrição do sistema e da forma como este adquire e forma a imagem (o espaço das características), seguindo-se um levantamento de possíveis aplicações industriais onde este possa ser utilizado e o estudo das diferentes abordagens e metodologias de sistemas de reconhecimento de padrões, em maior profundidade dos métodos estruturais por serem os que serão utilizados no desenvolvimento dos algoritmos. A etapa que se segue é a do desenvolvimento de uma plataforma de simulação, e sua utilização enquanto ferramenta de apoio à compreensão dos padrões em estudo. Por último procede-se à investigação experimental, implementando e testando os algoritmos desenvolvidos, seguindo a análise comparada dos resultados da simulação e da experimentação.

O Estudo apresentado reitera o valor da simulação combinado com um conjunto mais limitado de experiências, permitindo extrair a influência real do ruído introduzido devido às diferentes superfícies de teste das peças como ao processo de aquisição de dados utilizado.

Abstract

The recognition of shapes and patterns is an essential tool for a considerable number of applications in the industrial automation field. The existence of Programmable Logic Controllers usually associated with the control and monitoring of the industrial processes, justifies for itself the study of its application in the acquisition and analyses of images obtained from a scanning done by a group of sensors. Studies in this area would identify, test and validate simple procedures able to recognize shapes and easy to implement, at a low cost level, in industrial equipments and environments.

This report starts to describe the system and the way it acquires and creates the image (characteristics space). Following, comes the identification of possible industrial applications where it can be used, as well as the analyses of different methods and different ways of managing the systems of patterns recognition, giving a particular emphasis to the structural methods, as they will come to be the reference in the development of the algorithms. The next step is the creation of a simulation platform, underlining its role as an important tool in the understanding of the patterns in study. Lastly the experimental work is developed, implementing and testing the algorithms previously designed, and comparing closely the results obtained in the simulation field with those from the experimental work.

The presented study reinforces the valuable role of the simulation combined with a more limited group of experiences, allowing to realize the real influence of the interferences produced not only by the different testing surfaces but also from the process used for data acquisition.

Índice

1. Introdução.....	1
1.1. Conjectura e objectivos	2
1.2. Organização da Dissertação.....	3
2. Definição do problema	5
2.1. Justificação e formalização do problema.....	5
2.2. Estado da arte.....	8
2.3. Linhas de Investigação	13
2.4. Síntese.....	14
3. Reconhecimento de Padrões	15
3.1. Metodologias.....	16
3.2. Metodologias Estruturais	19
3.3. Hipóteses de aplicação no presente caso	27
3.4. Síntese.....	28
4. Simulação do processo	29
4.1. Objectivos, cenários de interesse e suporte tecnológico	29
4.2. Desenvolvimento realizado.....	31
4.3. Cenários simulados.....	34
4.3.1. Identificação da correcta orientação de uma peça triangular	36
4.3.2. Identificação da correcta orientação de um orifício numa peça quadrangular.....	45
4.3.3. Identificação da correcta orientação de um orifício numa peça triangular.	50
4.4. Outros resultados obtidos (resumo).....	54
4.4.1. Identificação da correcta orientação das reentrâncias de uma peça quadrangular	55
4.4.2. Identificação da correcta orientação de uma peça rectangular.....	55
4.4.3. Identificação da correcta orientação de dois orifícios de uma peça quadrangular	56
4.4.4. Identificação da correcta orientação de três orifícios de uma peça quadrangular	56
4.4.5. Orientação possível de uma marca triangular	57

4.4.6. Orientação possível de uma marca quadrangular.....	57
4.4.7. Orientação possível de uma marca quadrangular.....	58
4.5. Conclusões e necessidades adicionais de investigação	58
5. Investigação experimental	61
5.1. Objectivos e cenários de interesse.....	61
5.2. Suporte tecnológico.....	61
5.3. Cenários experimentados.....	64
5.4. Resumo dos resultados obtidos	65
5.4.1. Identificação da correcta orientação de uma peça triangular	65
5.4.2. Identificação da correcta orientação de um orifício de uma peça quadrangular	66
5.4.3. Identificação da correcta orientação das reentrâncias de uma peça quadrangular	66
5.4.4. Identificação da correcta orientação de um orifício numa peça triangular.	67
5.4.5. Identificação da correcta orientação de uma peça rectangular.....	67
5.4.6. Identificação da correcta orientação de dois orifícios de uma peça quadrangular	68
5.4.7. Identificação da correcta orientação de três orifícios de uma peça quadrangular	68
5.4.8. Orientação possível de uma marca triangular	69
5.4.9. Orientação possível de uma marca quadrangular.....	69
5.4.10. Orientação possível de uma marca quadrangular.....	70
5.5. Conclusões	70
6. Conclusão	71
Bibliografia.....	73

Índice de tabelas

Tabela 2.1. Diferentes áreas de aplicação de sistemas de reconhecimento de padrões.....	9
Tabela 4.1. Enumeração dos casos simulados para a identificação da correcta orientação de determinada forma segundo os critérios “OK!” e “KO!” definidos.....	35
Tabela 4.2. Enumeração dos casos simulados de orientação de determinada marca.....	35
Tabela 4.3. Ensaios simulados - Caso 1 peça triangular	44
Tabela 4.4. Ensaios simulados - Caso 2 peça quadrangular com um orifício	49
Tabela 4.5. Ensaios simulados - Caso 2 peça triangular com um orifício.....	54
Tabela 5.1. Ensaio experimental - Caso 1 peça triangular	65
Tabela 5.2. Ensaio experimental - Caso 2 peça quadrangular com um orifício	66
Tabela 5.3. Ensaio experimental - Caso 3 peça quadrado com reentrâncias	66
Tabela 5.4. Ensaio experimental - Caso 4 peça triangular com um orifício.....	67
Tabela 5.5. Ensaio experimental - Caso 5 peça rectangular	67
Tabela 5.6. Ensaio experimental - Caso 6 peça quadrangular com dois orifícios	68
Tabela 5.7. Ensaio experimental - Caso 7 peça quadrangular com três orifícios	68
Tabela 5.8. Ensaio experimental - Caso 8 orientação de marca triangular.....	69
Tabela 5.9. Ensaio experimental - Caso 9 orientação de marca quadrangular	69
Tabela 5.10. Ensaio experimental - Caso 10 orientação de marca rectangular	70

Índice de figuras

Figura 2.1. Construção da Imagem Binária (matriz binária bidimensional) pelo processo de amostragem por varrimento.....	6
Figura 2.2. Coluna de sensores	7
Figura 2.3. O problema de identificação resolvido por organismos vivos e sistemas automáticos de reconhecimento de padrões. Sistemas automáticos de reconhecimento de padrões utilizam sensores electrónicos e implementam algoritmos que aproximam o funcionamento de percepção e capacidades cognitivas dos organismos vivos, (Olszewski, 2001).	9
Figura 2.4. Sistema de Inspecção automática para garrações de plástico. Verifica se a abertura do gargalo do garrafão está totalmente desimpedida	10
Figura 2.5. Sistema da Siemens constituído por uma unidade de controlo SIMATIC S7-200 com o analisador TP 170 ^a apoiados pelo SIMATIC VS 110 Vision Sensor. (http://www.siemens.com/microset)	11
Figura 2.6. Sistema para separação de caixas de diferentes tamanhos e formas 3D utilizando um sistema Beam-Array (www.precisionfx.ca).	11
Figura 2.7. Sistema de medição 2D de um tronco de madeira (www.precisionfx.ca).	12
Figura 2.8. Verificação de perfil em cabine de pintura (www.bannerengineering.com).	12
Figura 2.9. Sistema capaz de detectar a ausência de uma garrafa ou apenas a falta de rolha em alguma delas e, se possível, identificar a posição relativa da falha na embalagem.	12
Figura 2.10. Perfis de peças adoptados para estudo.....	13
Figura 3.1. Estrutura clássica de um “reconhecedor” de padrões.	16
Figura 3.2. Abordagens RP: S - supervisionada; U – não supervisionada; SC – classificação estatística; NN – redes neurais; DC – data clustering; SM – correspondência estrutural; SA – análise sintáctica; GI – inferência gramatical.	16
Figura 3.3 Modelo de um neurónio de uma rede neuronal.....	19
Figura 3.4. String matching (Aksoy, 2008).	22
Figura 3.5. Diagrama de Estados de um Autómato	25
Figura 3.6. Árvore de representação de um cubo baseada numa gramática.....	26
Figura 3.7. Árvore de representação de uma imagem binária 8 × 8.	26

Figura 3.8. Representação de quatro caracteres através da gramática que descreve a figura pelo desenho de linhas de contorno (a) Padrão dado. (b) Representação das primitivas e sua interconexão (c) descrição.....	26
Figura 4.1. Ambiente de programação do CoDeSys.....	31
Figura 4.2. Plataforma de simulação da HMI.....	32
Figura 4.3. Tabela de resultados relativa à identificação da forma representada na Figura 4.2. .	33
Figura 4.4. Tabela de resultados relativa à orientação da forma representada na Figura 4.2.	34
Figura 4.5. Critérios de identificação da correcta orientação de uma forma com: a) dois resultados possíveis, b) mais de dois resultados possíveis	34
Figura 4.6. Identificação da correcta orientação de uma peça triangular: i) forma pretendida, ii) forma de rejeição, iii) modelos de ruído testados.	36
Figura 4.7. Identificação por regiões (quadrantes)	37
Figura 4.8. Regiões comparadas – OU exclusivo das imagens a) e b) da figura 4.6.	38
Figura 4.9. String Matching	39
Figura 4.10. Ordem de sequência	40
Figura 4.11. Diagrama de Estados	40
Figura 4.12. diagrama de Estados.....	40
Figura 4.13. Contorno integral	41
Figura 4.14. Diagrama de estados – contorno da forma pretendida.....	41
Figura 4.15. Diagrama de Estados	42
Figura 4.16. Regressão.....	43
Figura 4.17. Orifício numa peça quadrangular: i) forma pretendida, i) forma de rejeição, iii) modelos de ruído testados.	45
Figura 4.18. Identificação por sobreposição.....	45
Figura 4.19. Identificação por String Matching.....	46
Figura 4.20. Identificação por regressão	47
Figura 4.21. Sequência de transições	48
Figura 4.22. Peça triangular com um orifício: i) forma pretendida, ii) forma de rejeição iii) modelos de ruído testados.	50
Figura 4.23. Identificação por regiões comparadas	50
Figura 4.24. Identificação por regiões (sextantes)	51
Figura 4.25. Identificação por sequência de transições.....	52
Figura 5.1. Imagem de conjunto do equipamento utilizado	62
Figura 5.2. Equipamentos utilizados: a) PLC CPIL, b) HMI NS5-MQ00B-V2.....	62
Figura 5.3. Ambiente de trabalho do programa CX-Programmer	63
Figura 5.4. Ambiente de trabalho do programa CX-Designer.....	64
Figura 5.5. Superfícies reflectoras: a) espelhada, b) revestida com filme de prata.....	64

1. Introdução

Reconhecer imagens e formas, bem com a orientação e a localização de objectos, são necessidades sentidas na generalidade das indústrias produtivas e de serviços. Daí que, desde há longos anos, se faça investigação aplicada de técnicas de reconhecimento de padrões com fins industriais. O sucesso prático de tal investigação está bem patente nos inúmeros recursos tecnológicos actualmente disponíveis, permitindo assim que os resultados da pesquisa cheguem efectivamente a quem mais beneficia: os engenheiros de automação. Foi assim que o reconhecimento de padrões primeiro se introduziu e, depois, se generalizou, em grande parte das aplicações industriais. A maior evidência dessa evolução é a penetração a um ritmo exponencial das tecnologias de aquisição e tratamento de imagem nos sistemas flexíveis de automação industrial. De facto, são aparentemente cada vez mais raras as instalações automáticas que não incluem e não beneficiam de todo um sistema de aquisição de imagem.

Pese embora os computadores tenham a virtude de serem capazes de executar muitas tarefas complexas de uma forma muito mais rápida e eficaz do que os humanos, reconhecer objectos é, ironicamente, uma tarefa que os humanos realizam normalmente muito melhor do que os computadores. Daí que os sistemas industriais de reconhecimento de padrões alberguem tipicamente uma grande quantidade de segredos científicos e tecnológicos salvaguardados por diversas patentes e que, mesmo assim, não fosse a necessidade de libertar os operadores de tarefas rotineiras ou perigosas, teriam um interesse prático discutível em muitas aplicações.

Mas, seja com maior ou menor sucesso, e independentemente da aplicação, o facto é que os sistemas de reconhecimento de padrões são hoje actores fundamentais no teatro da automação industrial e dos serviços. E, neste contexto, os sistemas de aquisição de imagem baseados em elementos ópticos tais como câmaras fotográficas ou de vídeo, estão na base da generalidade das soluções. Todavia, tais soluções são normalmente muito fechadas para o utilizador final que apenas as pode configurar e integrar na aplicação de interesse e, ainda assim, normalmente com algum dificuldade. Adicionalmente, não raras vezes, a solução encontrada surge como excessiva

para o problema em causa, uma vez que acaba por ser utilizado um dispositivo relativamente sofisticado para resolver um problema aparentemente simples, mas para o qual não há aparentemente uma solução mais equilibrada. Resultado: o industrial acaba por adquirir um equipamento caro, e fica simultaneamente refém de uma tecnologia que não domina, arriscando-se assim, em caso de avaria, a ter a sua produção suspensa até que um técnico exterior lhe forneça o suporte que necessita.

A presente dissertação surge precisamente neste contexto: no sentido de procurar investigar até que ponto é possível satisfazer algumas necessidades industriais de reconhecimento de padrões com base em tecnologias e equipamentos simples, económicos, de utilização aberta e generalizada, e que qualquer engenheiro de automação domine e saiba integrar na aplicação de interesse. Assim, são eleitos os PLC's (Controladores Lógicos Programáveis) como elementos centrais de processamento de informação e os sensores industriais como meios de aquisição de imagem. A ideia é partir de um PLC que tem por missão o controlo de uma máquina e adicionar-lhe o software necessário ao reconhecimento em causa. Ao mesmo controlador terão também de ser necessariamente adicionados os sensores adequados à aplicação.

1.1. Conjectura e objectivos

O vasto leque de aplicações industriais de reconhecimento de padrões é claramente sinónimo de diferentes exigências técnicas. Por exemplo: o que é exigido a um sistema de reconhecimento de peças, distribuídas aleatoriamente num tapete, de movimento rápido e irregular, para que um sistema "*pick and place*" as possa recolher e seleccionar segundo determinados critérios (por exemplo, por ordem crescente de dimensões) é completamente diferente de projectar um sistema de inspecção que verifique se as peças, que são conduzidas de forma ordenada e a baixa velocidade para uma máquina, possuem ou não um furo no centro. É assim lícito conjecturar se algumas técnicas de reconhecimento de padrões ou de orientação de objectos podem ser conduzidas por PLC's, usando soluções de baixo custo e facilitando a integração com os processos de controlo das máquinas que correm nos mesmos equipamentos. O objectivo desta dissertação é precisamente investigar tal conjectura, conduzindo a investigação de duas formas: primeiro num ambiente de simulação onde os princípios teóricos aplicáveis ao reconhecimento de imagens são transportados para um PLC que trata sinais isentos de ruído, supostamente com origem em sensores comuns de baixo custo; depois por via experimental, verificando assim a viabilidade prática da investigação conduzida.

1.2. Organização da Dissertação

A dissertação está organizada em 6 capítulos e 4 anexos. No capítulo 2 começa-se por enquadrar e justificar a pertinência deste trabalho no contexto actual da automação industrial, abordando o conceito geral de reconhecimento de padrões e a sua inter-relação com diversas áreas científicas. Discute potenciais aplicações industriais concluindo, com a indicação de algumas hipóteses de resolução e linhas de investigação. O capítulo 3 dedica-se às técnicas de reconhecimento de padrões. Começa por dar uma visão geral do processo de reconhecimento de padrões e das diferentes abordagens existentes, focando-se depois nas técnicas estruturais, dado serem as que melhor se aplicam no presente caso. Retrata-se no capítulo 4, o estudo teórico, em particular o desenvolvimento de uma plataforma de simulação que permite o teste de diferentes algoritmos em condições ideais de ruído. No capítulo 5 expõem-se os resultados e conclusões dos algoritmos testados experimentalmente no sistema real. As principais conclusões e sumários da dissertação, assim como diversas sugestões para trabalhos futuros, são apresentados no capítulo 6. Em anexo apresenta-se informação adicional para a compreensão e avaliação do presente trabalho, nomeadamente: a programação de diversos algoritmos desenvolvidos.

2. Definição do problema

O reconhecimento de formas ou padrões é um requisito primário para um considerável número de aplicações de automação industrial. Por exemplo: para identificar se as peças que alimentam uma máquina têm uma determinada geometria ou estão devidamente orientadas. Um enorme leque de técnicas e tecnologias pode ser utilizado para esse fim, desde sistemas mecânicos elementares a sofisticados processo de visão artificial. Tudo depende da aplicação. É objecto desta dissertação identificar, testar e validar técnicas simples que sirvam o reconhecimento de formas e que possam ser facilmente implementáveis, a custos reduzidos, em equipamentos e ambientes industriais.

2.1. Justificação e formalização do problema

A existência de Controladores Lógicos Programáveis (PLC's), ver Hugh (2007), normalmente associados ao controlo e monitorização dos processos industriais, justifica a pertinência do estudo da sua utilização, e das tecnologias a si associadas, no reconhecimento de padrões. O sistema de varrimento proposto para a aquisição de dados para o PLC é constituído por um conjunto de sensores (neste caso: ópticos, do tipo difuso) dispostos em linha, perpendicularmente à direcção do movimento dos objectos.

Os sensores assim dispostos vão adquirindo faixas do perfil do referido objecto em instantes consecutivos (o número de pontos registados – pixel - é função do número de sensores instalados, da velocidade do movimento de varrimento e da frequência de registo pedida pelo operador) por forma a construir uma imagem a partir do agrupamento dessas amostras (“colunas”) em memória pelo programa – figura 2.1.

A aquisição directa dos dados, no espaço e/ou no tempo, para efeitos de digitalização, pressupõe necessariamente uma distribuição espacial ou temporal descontínua. Por este motivo se designa por amostragem, a aquisição directa de dados nesse contexto.

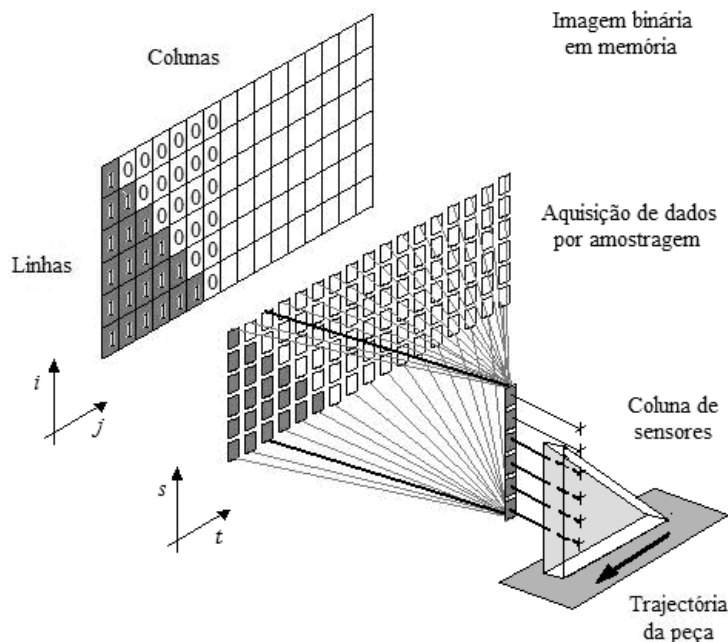


Figura 2.1. Construção da Imagem Binária (matriz binária bidimensional) pelo processo de amostragem por varrimento

A imagem digital, pode assim ser definida como um conjunto de pontos, onde cada ponto (pixel) corresponde a uma unidade de informação do objecto, formada através de uma função bidimensional $f(t,s)$, onde t e s são coordenadas espaciais (instante de aquisição e posição relativa do sensor) e o valor de f no ponto (t,s) representa o brilho ou radiância da área correspondente ao pixel. Tanto t e s (coluna e linha) quanto f só assumem valores inteiros, portanto, a imagem pode ser expressa numa forma matricial, onde a linha i e coluna j correspondem às coordenadas espaciais t e s , e o valor digital no ponto correspondente a f , é o nível de cinza do pixel daquele ponto (zero ou um – imagem binária).

O pixel (unidade indivisível) é a menor parcela considerada na imagem e a sua dimensão é denominada de resolução espacial, directamente relacionada com a distancia relativa entre os sensores, visível na figura 2.2. Por outro lado, relacionada com a faixa de valores numéricos associados aos pixeis, está a *resolução radiométrica*. Este valor numérico representa a intensidade da radiância proveniente da área correspondente ao pixel, também chamado de *nível de cinza*. No caso presente utilizamos apenas um bit para cada pixel, os sensores usados são sensíveis ao brilho, e são binários, em resumo: não há “cinzentos”, só “pretos” e “brancos”. Na figura 2.1. os pixéis a branco simbolizam bits a zero, e os pretos bits a um.

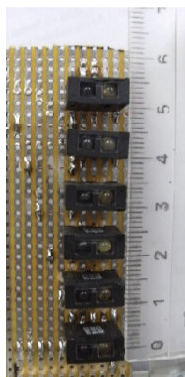


Figura 2.1. Coluna de sensores

A imagem assim obtida, tem uma resolução muito pequena, quando comparada com as imagens de uma câmara de um outro qualquer sistema de visão comercial. Contudo, e apesar de pouco explorada, esta solução pode ser muito interessante do ponto de vista custo/ benefício, numa gama específica de aplicações. A sua utilização poderia simplificar e reduzir os altos custos de implementação de um sistema de visão alternativo, tais como: 1) aquisição de componentes de hardware (câmaras, kits de iluminação, placas de aquisição de imagem, etc.); 2) software que acompanha o sistema e necessidade de compatibilização de protocolos; 3) exigência de mão-de-obra muito especializada; 4) custos de manutenção e atendimento.

Múltiplas são as aplicações industriais que carecem de sistemas de visão. Estas podem ser divididas em três sectores principais - ver Braggins (1996):

- Reconhecimento (*Recognition*)
- Orientação (*Robot and other guidance*)
- Inspeção (*Inspection*)

Estas três funções estão presentes em diversos sistemas onde a identificação de objectos e/ a sua orientação são necessários:

- Sistemas de controlo de qualidade
- Sistemas *pick and place*
- Sistemas de triagem (*Sortation Technologies and Solutions*)
- Sistemas de alimentação (*Feeding system, Feeder tooling*)
- Sistema de paletização

De imediato e intuitivamente, associamos alguns destes sistemas a aplicações de velocidades altas e variáveis, exigindo capacidades de processamento, em tempo real, muito elevadas, como são na maioria dos casos os sistemas *pick and place* ou os sistemas de alimentação e, por vezes, também os sistemas de triagem. Por outro lado os sistemas de

paletização e de controlo de qualidade funcionam em grande parte das vezes a velocidade baixa e constante. É principalmente nesta gama de aplicações que estará concentrada a atenção.

Sabendo-se, de antemão, que não será possível encontrar uma solução globalmente óptima, a investigação a desenvolver terá como principal propósito analisar a adequação das técnicas e métodos existentes às aplicações mais relevantes. Devido à simplicidade do sistema proposto (e sua pequena resolução) é fundamentalmente com base em características estruturais mais “evidentes” que será possível fazer-se a análise das imagens adquiridas.

Diferentes linhas de investigação serão exploradas: 1) serão investigados os diferentes métodos de reconhecimento de padrões, identificando aquele que mais se adequa ao sistema proposto; 2) será feito um levantamento das necessidades de reconhecimento de formas e padrões em aplicações industriais; 3) será desenvolvida uma plataforma de simulação com vista ao teste das técnicas a estudar em ambiente de investigação perfeito (sem ruídos ou com modelos de ruído definidos pelo utilizador); 4) proceder-se-à à investigação experimental com as contrariedades inerentes ao mundo real.

2.2. Estado da arte

A essência do reconhecimento de padrões é algo inerente à capacidade dos seres vivos em lidar com o meio envolvente, e é crucial para a sua sobrevivência - vantagem adaptativa – como o reconhecimento da presença de conceitos abstractos tais como: comida, perigo, acasalamento. De facto, este processo de “abstracção” ou “idealização” permite a um organismo lidar com novas situações de forma similar ao que foi visto como necessário em experiências anteriores com situações do mesmo tipo. Deste modo, não é muito surpreendente a constatação de que os humanos são capazes de desempenhar muito fácil e eficazmente tarefas complexas de reconhecimento de padrões (até subconscientemente), mas que por outro lado possam ter muita dificuldade com, por exemplo, operações matemáticas simples de multiplicação.

O desenvolvimento de capacidades para “interpretar” o mundo que nos rodeia, dotando máquinas com “comportamentos inteligentes” é um dos grandes desafios neste início de século. Tal desafio resulta de os processos mentais serem obviamente complexos e mal conhecidos – ver figura 2.3. Neste contexto são múltiplas e importantes as relações do reconhecimento de padrões com várias disciplinas, em particular da área da Informática: processamento de sinal e imagem, inteligência artificial, aprendizagem automática (*machine learning*), sistemas adaptativos, teoria dos autómatos, entre outras.

Múltiplas são também as abordagens ou metodologias que podem ser utilizadas para o efeito, tendo por objectivo “a busca da “estrutura” nos dados”. A título de exemplo, e apesar de não existir ainda uma classificação unânime nesta matéria, pode referir-se, de entre os mais importantes, os métodos: estatísticos, estruturais e neuronais.

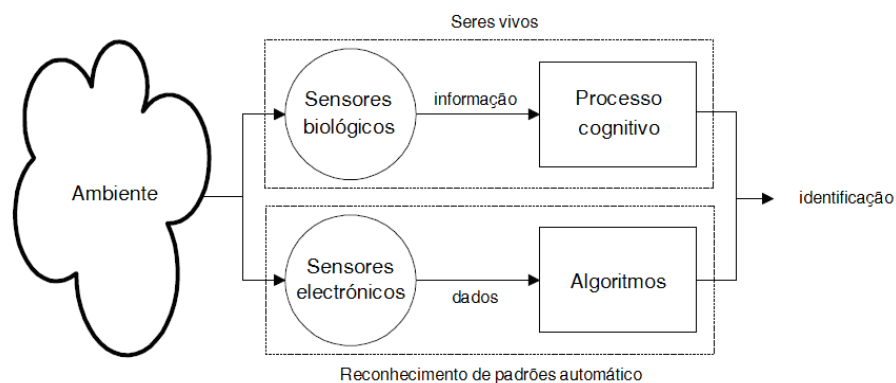


Figura 2.2. O problema de identificação resolvido por organismos vivos e sistemas automáticos de reconhecimento de padrões. Sistemas automáticos de reconhecimento de padrões utilizam sensores electrónicos e implementam algoritmos que aproximam o funcionamento de percepção e capacidades cognitivas dos organismos vivos, (Olszewski, 2001).

As principais áreas de aplicação industrial foram inicialmente o reconhecimento de caracteres, o controlo de processo, a análise de assinaturas e a análise de voz. Actualmente um vasto leque de aplicações pode ser identificado num grande número de áreas científicas e tecnológicas, nomeadamente as referidas na Tabela 2.1., ver Marques de Sá (2000).

Tabela 2.1. Diferentes áreas de aplicação de sistemas de reconhecimento de padrões

Científicas	<ul style="list-style-type: none"> ○ Previsão sísmica, meteorológica, económica ○ Ciências da vida e do comportamento
Médicas	<ul style="list-style-type: none"> ○ Estudos genéticos ○ Análise de electrocardiogramas, radiografias e tomografias
Agrícolas	<ul style="list-style-type: none"> ○ Análise de solos e colheitas ○ Inspeção, ordenação e empacotamento do produto
Governamentais	<ul style="list-style-type: none"> ○ Análise e controlo de tráfico ou crescimento urbano ○ Reconhecimento de pessoas
Militares	<ul style="list-style-type: none"> ○ Análise de fotografia aérea ○ ATR – Reconhecimento automático de alvos

Numa perspectiva do interesse prático mais concreto da aplicação de sistemas de reconhecimento de formas e padrões do tipo preconizado na indústria “real”, foi realizada uma breve pesquisa e identificadas algumas necessidades de sistemas deste tipo. Contudo, no decorrer da mesma, foi também possível reconhecer que na grande maioria das aplicações eram requeridos sistemas mais sofisticados de visão ou a combinação de um conjunto de diferentes tipos de sensores capazes de captar e medir diferentes características.

- Sistemas de controlo de qualidade

Na figura 2.4. um sistema de inspeção de embalagens de plástico, operado por um equipamento de visão. À passagem dos garrafões, uma câmara fotografa o gargalo do mesmo, utilizando a imagem assim obtida para a verificação da abertura. Dependendo do tipo de ocorrência, um sistema para este efeito mas baseado num varrimento de sensores do tipo capacitivo, justapostos poderá ser suficiente.

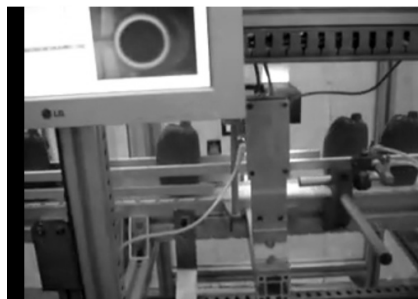


Figura 2.3. Sistema de Inspeção automática para garrafões de plástico. Verifica se a abertura do gargalo do garrafão está totalmente desimpedida

Na figura 2.5. é possível observar um sistema que assegura o transporte correcto do objecto, certifica que o mesmo não se encontra danificado. Em certos casos, onde a verificação de alguns requisitos de características mais “grosseiras” seja necessária, um sistema de varrimento por sensores, com um espaçamento e orientações bem definidos, pode ser capaz de executar a tarefa

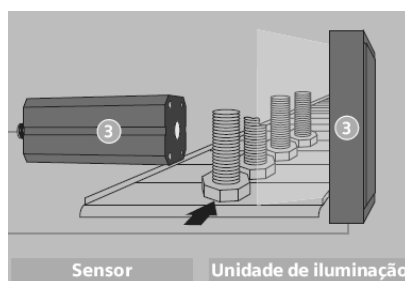


Figura 2.4. Sistema da Siemens constituído por uma unidade de controlo SIMATIC S7-200 com o analisador TP 170^a apoiados pelo SIMATIC VS 110 Vision Sensor. (<http://www.siemens.com/microset>)

- Sistemas de triagem (*Sortation Technologies and Solutions*)

Na figura 2.6., um sistema de transporte ou triagem, adquire a secção da forma (caixas no caso) pela colocação perpendicular de dois conjuntos de sensores relativamente ao movimento do tapete (duas das faces ficam na “sombra” – consideremos que a forma é simétrica). A existência de um terceiro conjunto de sensores disposto paralelamente à direcção do movimento permite adquirir o “comprimento” do objecto independentemente da velocidade do tapete. Este tipo de aplicação é perfeitamente enquadrável como o presente trabalho.

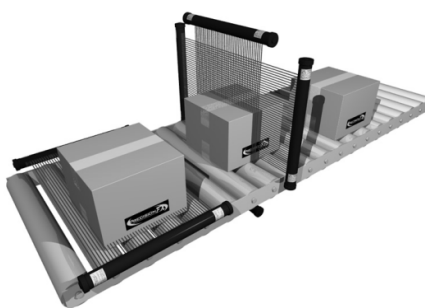


Figura 2.5. Sistema para separação de caixas de diferentes tamanhos e formas 3D utilizando um sistema Beam-Array (www.precisionfx.ca).

- Sistemas de alimentação (*Feeding system, Feeder tooling*)

Na figura 2.7. passa-se uma situação que embora pareça um pouco semelhante com a da figura 2.6. permite perspectivar algo bastante diferente. Dependendo do tipo de sensor será possível verificar apenas as dimensões segundo os seus eixos horizontal e vertical (sensores ópticos) ou as dimensões reais de $\frac{3}{4}$ da secção (sensores capacitivos).



Figura 2.6. Sistema de medição 2D do tamanho de um tronco de madeira (www.precisionfx.ca).

Na figura 2.8. é possível verificar que um sistema de varrimento acoplado ao sistema de alimentação de uma linha de produção permite verificar se determinada sequência de peças é cumprida, identificando para isso cada peça, através da aquisição da imagem do seu perfil à sua passagem.



Figura 2.8. Verificação de perfil de peças em cabine de pintura (www.bannerengineering.com).

- Sistema de paletização

Na figura 2.9. é utilizado um sistema de visão para verificar se uma paleta de garrafas está completa. Poderá servir também para verificar se todas as garrafas da paleta têm tampa. Este, parece ser um caso passível de ser solucionado pelo varrimento de um conjunto de quatro sensores capacitivos, que à medida da passagem da paleta vão verificando se não existem “espaços vazios”



Figura 2.7. Sistema capaz de detectar a ausência de uma garrafa ou apenas a falta de rolha em alguma delas e, se possível, identificar a posição relativa da falha na embalagem.

2.3. Linhas de Investigação

As linhas de investigação e desenvolvimento a seguir, centram-se no desenvolvimento de uma plataforma de simulação, com vista ao teste das técnicas a estudar em ambiente de investigação perfeito (sem ruídos ou com modelos de ruído definidos pelo utilizador) e na investigação experimental com as contrariedades inerentes ao mundo real. Tendo por base os exemplos de aplicações referidas na secção anterior (da figura 2.4. à figura 2.9.) pode afirmar-se que é possível usar sistemas de “aquisição de formas” por PLC com sucesso em certas aplicações que envolvam a sensorização de formas simples, recorrendo a sensores ópticos, de proximidade, ou outros, para a obtenção da "imagem" da peça, pelo que este trabalho se centra na resolução de problemas de identificação e orientação de objectos desenvolvendo algoritmos de reconhecimento para um conjunto de perfis representativo.

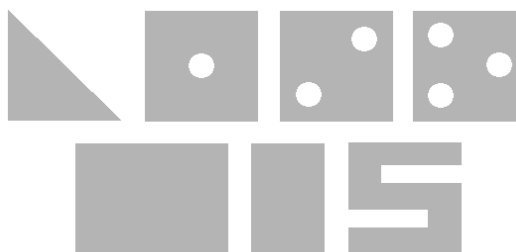


Figura 2.8. Perfis de peças adoptados para estudo

Com os casos de estudo referidas na figura 2.10. é possível analisar o comportamento do sistema na presença de: declives (derivadas), “ocos” internos, contornos externos variáveis e variações da forma (tamanho).

É neste contexto que surge o desenvolvimento da plataforma de simulação com o intuito de recriar o sistema real em condições ideais de funcionamento. O controlo do fenómeno ruído, que no sistema real é função do acabamento superficial e do processo de aquisição, permite desenvolver e testar algoritmos com desempenho óptimo para cada caso em estudo. A plataforma de simulação, tem por base um SoftPLC (da empresa 3s-software) compatível com a norma IEC 61131-3 (International Electrotechnical Commission (IEC), 2007), e servirá sobretudo de ferramenta de simulação de apoio à manipulação e análise dos padrões facilitando a sua compreensão e a extracção das suas características mais relevantes.

Por seu turno, a investigação experimental introduz as contingências do mundo real permitindo validar ou não os resultados obtidos na simulação. Assim será testada a robustez dos algoritmos, desenvolvidos na plataforma de simulação, para modelos de ruído real introduzidos por dois factores principais: diferentes tipos de acabamentos superficiais que serão testados e o modo de aquisição de sinal: “*event driven*” (aquisição de sinal inibida por um sinal de relógio) ou “*time driven*” (apenas conduzida pela ocorrência de eventos discretos).

2.4. Síntese

São inúmeras as aplicações industriais que necessitam de sistemas de visão. Apesar disso, o sistema que se pretende desenvolver apenas é viável para um conjunto reduzido mas não menos importante e necessário de aplicações mais simples com requisitos de velocidade baixa e não variáveis, onde não se justifique a utilização de outros meios mais sofisticados e necessariamente mais caros.

A obtenção da imagem por varrimento permite adquirir a informação do perfil da peça transferindo-a directamente para armazenamento sob a forma de uma imagem binária no PLC. Esta imagem “descontínua” fica, assim, directamente disponível para análise. Diferentes metodologias de desenvolvimento de algoritmos podem ser tidas em consideração. A sua escolha será em função das capacidades inerentes ao PLC bem como da aplicação em concreto.

O desenvolvimento de uma plataforma de simulação bem como a verificação da validade dos resultados aí obtidos, através de uma investigação experimental, são passos importantes a dar para a validação do modelo de sistema proposto.

3. Reconhecimento de Padrões

O termo “reconhecimento de padrões” referindo-se ao “*uso de computadores para realizar algo que os seres humanos fazem instintivamente: reconhecer uma "mensagem" num sinal*” foi introduzido no início da década de 60, ver Dunn (2008). Mais tarde, é sugerida por Duda e Hart (1973) uma definição, que continua a ser actualmente bem aceite, referindo-se ao reconhecimento de padrões como sendo o “*campo interessado no reconhecimento de regularidades significativas em ambientes ruidosos ou complexos, feito por máquinas*” ou, mais sinteticamente, como a “*procura de “estrutura” nos dados*”. Neste enquadramento dever-se-á, por isso, ter presentes os seguintes conceitos (Grivet, 2002):

- Dado - entendido como a saída de virtualmente qualquer processo físico, quer se origine na natureza ou outro ambiente específico;
- Estrutura – enquanto modo pelo qual a informação pode ser organizada de forma que as relações entre as variáveis do processo possam ser identificadas;
- Padrões – definidos como representações “físicas” de objectos. Normalmente sinais, imagens ou simples tabelas de valores. Podem frequentemente ser referidos como objectos, casos ou amostras.

De uma forma geral, pode dizer-se que o processo de reconhecimento de “regularidades” num padrão engloba três fases principais: a representação dos dados de entrada e sua mensuração; a extracção das características e, por último, a classificação do objecto em estudo.

- Na primeira fase - antes que o reconhecimento ocorra, o padrão deve ser “sentido” e “medido” pelos órgãos sensores (recolha de observações de “padrões característicos”), sendo processado e segmentado quando necessário.
- Na segunda fase - dá-se a extracção das características dos objectos a classificar, seguido da selecção de algumas das mais discriminantes, com o objectivo de reduzir o Espaço de Medida, sem perda de generalidade, a uma representação no Espaço das Características.

- A terceira e última fase, envolve a determinação de procedimentos que possibilitem a identificação e classificação do objecto numa classe de objectos - processo de construção de um Classificador.

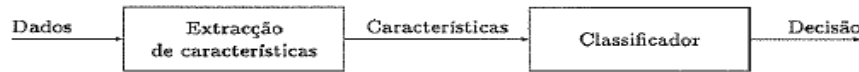


Figura 3.1. Estrutura clássica de um “reconhedor” de padrões.

Destas três actividades, esquematizadas na figura 3.1., a extracção das características é a mais crítica pois a disponibilização de características discriminantes influenciam directamente a eficácia da tarefa de classificação. Desenvolvendo alguns conceitos acima referidos, temos que:

- Características (*Feature*) - são medidas, atributos ou primitivas, derivados dos padrões, que podem ser relevantes para a sua classificação. A escolha das características mais adequadas é mais uma arte que uma ciência.
- Espaço de Medida (*Measurement Space*) - é o espaço no qual o padrão é inicialmente representado. Este espaço é em geral de alta dimensionalidade.
- Espaço das Características (*Feature Space*) ou Espaço de Representação - retém as propriedades dos dados, de acordo com as medidas de semelhança definidas. É um espaço de dimensionalidade reduzida.

O classificador é um dispositivo que implementa uma função de decisão executando uma sequência de operações lógicas e computacionais sobre o padrão. Esta sequência é denominada de algoritmo de reconhecimento e o grupo de ideias subjacentes é denominado de método de reconhecimento

3.1. Metodologias

Uma das questões centrais do reconhecimento de padrões prende-se com a metodologia utilizada no reconhecimento das características e dos atributos de um objecto, ou seja, no sistema de classificação implementado. Iremos por isso, procurar apresentar de forma breve as abordagens mais representativas para um entendimento sobre o enquadramento geral do reconhecimento de padrões: métodos estatísticos, métodos estruturais, redes neuronais, conjuntos difusos.

Não existe um consenso geral quanto à classificação das diferentes abordagens e técnicas. Na figura 3.2. pode ver-se a relação das diferentes técnicas de reconhecimento de padrões com o

tipo de supervisão bem como com a solução de mapeamento no espaço proposto por Marques de Sá (2001).

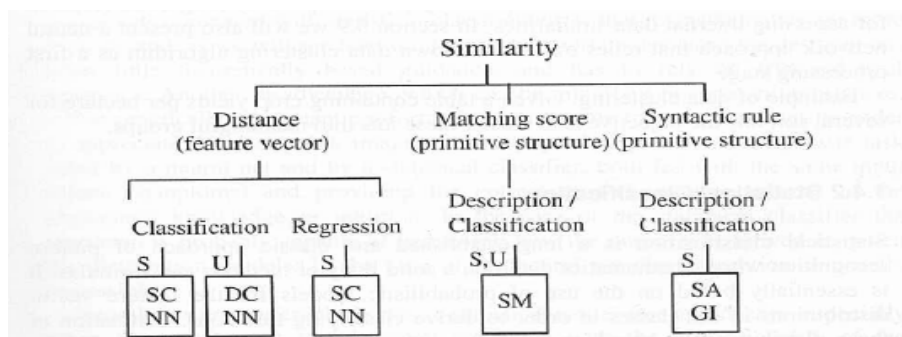


Figura 3.2. Abordagens RP: S - supervisionada; U - não supervisionada; SC - classificação estatística; NN - redes neurais; DC - data clustering; SM - correspondência estrutural; SA - análise sintáctica; GI - inferência gramatical

Para um melhor enquadramento do desenvolvimento destas diferentes abordagens poderão ser encontrados alguns marcos importantes na história do reconhecimento de padrões em Marques de Sá (2000).

3.1.1. Métodos Estatísticos

Historicamente mais antigos, os métodos **Estatísticos** foram dominantes entre os anos de 1965 - 1975 (Pavlidis, 2003). Tida como a “abordagem clássica”, é também conhecida por “Teoria da Decisão”, ver Howson e Urbach (1993). Assume que as características das classes se regem por determinados modelos probabilísticos.

Se o objecto foi mapeado num vector x (de dimensão d), então a estimação da probabilidade de um objecto pertencer a uma dada classe, depois de observada uma determinada característica, é muito interessante no contexto do reconhecimento de padrões. Esta probabilidade pode ser estimada pela fórmula de Bayes, se um conjunto de objectos com classificação conhecida estiver disponível:

$$P\left(\frac{w}{x}\right) = \frac{P\left(\frac{x}{w}\right) \cdot P(w)}{P(x)} \quad (1)$$

onde $P(w)$ - probabilidade, à priori, da classe w ; $P(x/w)$ - função densidade de probabilidade (condicionada) de ocorrência da característica x , dado a classe w ; $P(x)$ - probabilidade de

ocorrência da característica x ; $P(w/x)$ - probabilidade à posteriori (probabilidade do objecto pertencer à classe w , dado a característica x).

Dentro dos métodos estatísticos, podem admitir-se dois grandes blocos de técnicas em função dos dados do objecto que se possuem: nos métodos paramétricos, assume-se que a função densidade de probabilidade ou uma família destas, têm um determinado tipo de distribuição, não se conhecendo, apenas, o valor dos seus parâmetros. A estimativa destes parâmetros pode ser feita recorrendo ao método de máxima verosimilhança, ver Mardia (1979), ao método do algoritmo EM, Dempster (1977), ou recorrendo à estimação baseada na teoria da informação e da estimação baysiana, ver Fukunaga (1990).

Já nos métodos não paramétricos, não é definida especificamente a distribuição da densidade de probabilidade, o que, por um lado, os torna métodos mais gerais mas com necessidade de maior número de dados e com resultados piores comparativamente com os métodos paramétricos. Exemplos de métodos não paramétricos são: o método Parzen, Fukunaga (1993), o método k vizinhos mais próximos (KNN), McQueen (1967), ou a curva ROC – *Receiver Operating Characteristic*, ver Everson e Fieldsend (2006).

No final dos anos 70 tornava-se evidente que o reconhecimento de padrões estatísticos não devia ser “levado ao limite”. A natureza quantitativa de reconhecimento de padrões estatísticos, torna difícil a discriminação entre os grupos com base na morfologia (shapebased ou estrutural). Esta limitação impulsiona o desenvolvimento de uma abordagem estrutural para reconhecimento de padrões.

3.1.2. Redes Neurais

Uma rede neuronal é um modelo de processamento de informação inspirado no comportamento do cérebro humano. Por oposição à arquitectura de Von Neumann, o cérebro realiza operações de forma paralela e distribuída. As redes neuronais artificiais são assim constituídas por elementos de processamento paralelo simples, interligados, ver Rojas (1996). O elemento chave deste paradigma é então o “neurónio”, constituído por três elementos básicos (figura 3.3.):

- um conjunto de sinapses, que são conexões onde um sinal x_j na entrada da sinapse j conectada ao neurónio k é multiplicado pelo peso sináptico w_{kj} ;
- um somador para somar os sinais de entrada, ponderados pelas respectivas sinapses do neurónio;
- uma função de activação para restringir a amplitude da saída do neurónio (função de limiar).

O modelo neuronal inclui também um *bias* que tem por função aumentar ou diminuir a entrada da função de activação (dependendo se é positivo ou negativo), ver Haykin (1999).

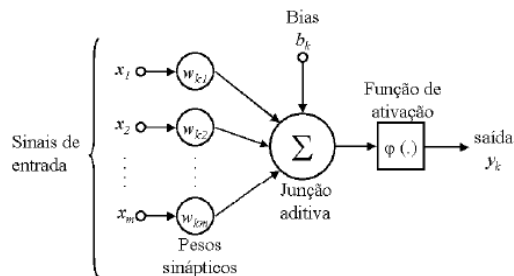


Figura 3.2 Modelo de um neurónio de uma rede neuronal

As principais vantagens do uso de redes neurais sobre muitas técnicas tradicionais de reconhecimento de padrões são a sua:

- Adaptabilidade: aptidão para se ajustar a novas informações;
- Velocidade: devido ao paralelismo de processamento;
- Tolerância a falhas: capacidade de oferecer boas respostas mesmo com falta, confusão ou dados ruidosos;

3.1.3. Conjuntos Difusos

É uma abordagem recente, que tem em consideração o grau de incerteza por vezes inerente a características e a classificações, usando para isso a teoria dos conjuntos difusos. O conceito de conjunto difuso foi introduzido, por Lotfi (1965) e uma das suas principais potencialidades, quando comparada com outros esquemas que tratam com dados imprecisos como redes neurais, é que as suas bases de conhecimento, as quais estão no formato de regras de produção, são fáceis de examinar e entender, tornando assim fácil a sua manutenção e a actualização.

3.2. Metodologias Estruturais

Tipicamente, esta abordagem procura descrever como um padrão mais complexo pode ser interpretado enquanto uma organização de padrões mais simples. Formula uma descrição da estrutura (morfologia) dos padrões usando as inter-relações, tipicamente hierárquicas, entre as características descritoras básicas presentes nos dados, denominadas primitivas.

As primitivas são elementos simples e bem definidos, cuja escolha depende da aplicação, podendo ser de diferente natureza, nomeadamente: um sinal (decomposto em segmentos de linha ou outras curvas simples, seguindo-se a sua rotulagem segundo uma determinada regra), uma imagem (como no presente caso onde as primitivas podem ser obtidas por um conjunto largo de técnicas de análise de imagens: segmentação da imagem, detecção de arcos, seguimento de linhas de contorno, etc), entre outras representações possíveis.

Para além de não existir uma abordagem geral que diga quais as primitivas que devem ser extraídas, a tarefa de classificação de um sistema de reconhecimento de padrões estruturais também é difícil de implementar, uma vez que as gramáticas sintáticas incorporam critérios precisos que discriminam entre classes e, portanto, são pela sua natureza e domínio, específicos para cada aplicação. Por exemplo, Friedman, (1999, p. 243) referindo-se à questão, diz: *“The selection of primitives by which the patterns of interest are going to be described depends upon the type of data and the associated application.”* Nadler, (1993, p. 152) parece apoiar esta posição ao afirmar, *“...features are generally designed by hand, using the experience, intuition, and/or cleverness of the designer.”*

A representação e qualificação estrutural é usualmente feita recorrendo ao uso de gramáticas formais e descrições relacionais. Neste contexto abordaremos particularmente o recurso a strings e à teoria dos grafos. Alguns autores, como J.P. Marques de Sá, subdividem as técnicas estruturais em dois tipos principais:

- A análise sintática - baseada no uso da teoria da linguagem formal;
- Métodos de correspondência estrutural (*“structural matching”* - baseados em relações entre as primitivas – onde se destacam o *“string matching”*, *“relaxation matching”* e o *“graph matching”*). Na verdade, este método de correspondência estrutural é mais baseado na observação de senso comum em que os problemas devem ser primeiro entendido antes que eles possam ser resolvidos. Não fornece um quadro analítico sistemático como o oferecido pelas abordagens estatística e de análise sintática.

A utilidade de sistemas de reconhecimento estrutural de padrões, no entanto, é limitada como consequência da complexidade das tarefas de descrição e classificação. Estas são difíceis de implementar, dado que as gramáticas sintáticas precisam de ter definidos critérios precisos relativos aos grupos discriminantes e, portanto, são por sua própria natureza do domínio específico de cada aplicação.

3.2.1. Linguagens e Palavras

Começaremos por abordar em maior detalhe uma das representações acima referidas: as “strings”. Considere-se um conjunto E , não vazio, o “alfabeto”, e chamem-se “letras” (símbolos ou “eventos”) aos elementos que o constituem.

$$E = \{a, b, c\} \quad (2)$$

Defina-se uma “string” (ou “palavra”) w , no ou sobre o conjunto E , definido em (2), como uma sequência finita ordenada de letras de E (ex.: $w = accbaaa = ac^2ba^3$), onde cada letra representa uma primitiva. O comprimento de uma palavra w , escrito $|w|$, corresponde ao número de elementos da sua sequência de letras. Para o exemplo dado, temos $|w|= 7$. A palavra de E que não possui letras, é designada de palavra vazia, e é representada por λ , o comprimento $|\lambda| = 0$. Ao conjunto de todas as palavras de E é atribuída a designação E^* (onde $*$ se denomina por Fecho de Kleene, ver Teorema de Kleene, (2010)).

Neste contexto, a concatenação é a operação (associativa) fundamental para a representação de estruturas por palavras. Considerem-se duas palavras u e v no alfabeto E . A concatenação de u e v , escrito uv , é a palavra obtida escrevendo as letras de u seguidas das letras de v . A palavra vazia λ é um elemento neutro para a operação. Qualquer palavra contígua que seja parte de outra palavra é chamada de factor (ou sub-palavra, ou segmento) dessa palavra. Em certos casos, torna-se necessária a utilização de palavras com um vector associado de atributos (duração, comprimento, cor, etc).

3.2.1.1. Método da correspondência estrutural (structural matching)

A sua utilização em strings é baseada na determinação/medição da similaridade entre duas palavras, e é definida em termos do número de operações elementares necessárias para transformar uma palavra u numa palavra v . Importantes problemas de reconhecimento de padrões que envolvem cálculos em palavras incluem:

- “String matching” (a correspondência de palavras): dada a palavra u e um texto (palavra longa constituída por sub palavras), determinar se u é um factor do texto e , em caso afirmativo, onde ele aparece. O problema consiste em descobrir se existe um shift s válido onde exista uma correspondência perfeita entre cada letra da palavra u e a correspondente no texto;

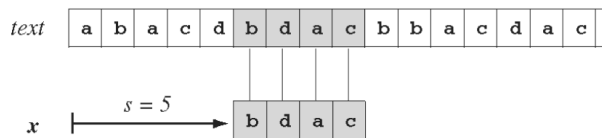


Figura 3.3. String matching (Aksoy, 2008).

- “String matching with errors” (a correspondência de palavras com erros): Dada a palavra u e texto, encontrar as posições no texto onde a “distância” de u para qualquer factor do texto é mínima.
- A correspondência de palavras com o símbolo “don’t care”, “String matching with the “don’t care” symbol” é formalmente o mesmo algoritmo da “string matching”, mas onde o \emptyset tanto em u como no texto é dito corresponder a qualquer outra letra.
- “String edit distance” (edição da distância de palavras): Dadas duas palavras u e v , calcular o número mínimo de operações básicas: substituir, inserir ou eliminar (medida da distancia entre palavras) necessário para transformar u em v .

3.2.1.2. Análise sintáctica

A análise sintáctica é a abordagem dos métodos estruturais baseada na teoria das linguagens formais. Esta abordagem possui um conhecimento já bem desenvolvido, mas também algumas desvantagens inerentes, nomeadamente a insuficiente capacidade de representação para padrões complexos, e a necessidade de definir à priori uma gramática para cada problema em particular.

Nesta abordagem a gramática é o factor determinante e constitui-se como o modelo detalhado que está por detrás da geração da sequência de letras nas palavras. Um exemplo representativo é a estrutura “gramatical” restritiva que as palavras representando números de telefone possuem. Da mesma forma, sistemas de reconhecimento de orientações e formas de objectos, podem reconhecer e interpretar regras que condicionam o posicionamento dos símbolos.

No reconhecimento de padrões, dada uma frase (uma “string” gerada por um conjunto de regras) e uma gramática (o conjunto de regras), procura-se determinar se a frase foi gerada por essa gramática.

Uma Gramática é composta por quatro partes (Lipson e Lipschutz, 2007):

- (1) Os símbolos - conjunto finito de letras (primitivas) de um alfabeto E . Uma linguagem é um subconjunto de $E \cup \{\lambda\}$ constituído por palavras obedecendo a certas regras.

- (2) As variáveis - subconjunto T de E , cujos elementos são chamados de “terminais”, e os elementos de V também chamados de “não-terminais” ou “variáveis”.
- (3) O símbolo de começo - símbolo não-terminal S .
- (4) Um conjunto finito P de regras sintáticas, “regras de produção”, usadas para gerar palavras (especifica como transformar um conjunto de variáveis e símbolos em outras variáveis e símbolos). A produção é um par ordenado (α, β) , geralmente por escrito $\alpha \rightarrow \beta$, onde α e β são palavras em E , e a produção deve conter pelo menos um não-terminal α no seu lado esquerdo. O conjunto de regras P determina a linguagem $L(G)$ (ou simplesmente L) - o subconjunto de palavras de E admitidas pelas regras.

Essa gramática G é denotada por $G(E, T, S, P)$, quando queremos indicar as suas quatro partes. A classificação gramatical que se segue é devida a Noam Chomsky. As gramáticas são classificadas de acordo com os tipos de produção que são permitidos. A gramática tipo 0 não tem restrições nas suas regras de produção, e como tal não fornecem restrições ou estrutura às palavras que podem produzir. Os tipos 1, 2 e 3 são definidos como segue:

1. Uma gramática G é dita sensível ao contexto (de tipo 1) se as regras de produção são da forma $\alpha \rightarrow \beta$, onde $|\alpha| \leq |\beta|$ ou da forma $\alpha \rightarrow \lambda$.
2. Uma gramática G é dita ser de tipo 2 (“context-free”), se toda a regra de produção é da forma $E \rightarrow \beta$, onde o lado esquerdo E é um não-terminal e o lado direito pode ser um não-terminal ou um terminal.
3. Uma gramática G é dita ser do tipo 3 (ou regular) se as regras de produção são da forma $E \rightarrow a$ ou $E \rightarrow aB$, ou seja, onde o lado esquerdo E é um não terminal único e o lado direito é um terminal simples ou um terminal seguido de um não-terminal, ou da forma $S \rightarrow \lambda$.

As gramáticas de tipo 3 são também chamadas de gramáticas regulares.

Define-se uma linguagem L sobre um alfabeto E como um qualquer conjunto de palavras em E . Dado que E^* denota o conjunto de todas as palavras de E , pode dizer-se que uma linguagem L é simplesmente um subconjunto de E^* . E como vimos anteriormente, a linguagem $L(G)$ gerada pela gramática G é o conjunto de todas as palavras (de E , possivelmente infinito em número) que pode ser gerado por G . Por outro lado, uma Linguagem diz-se Regular se for constituída por expressões regulares r . Cada uma das seguintes, é uma expressão regular sobre um alfabeto E (não vazio):

1. O símbolo “ λ ” (palavra vazia) e o par “ $()$ ” (expressão vazia) são expressões regulares de comprimento 1;

2. Cada letra de E é uma expressão regular;
3. Se r é uma expressão regular, então r^* é uma expressão regular;
4. Se r_1 e r_2 são expressões regulares, então $(r_1 \vee r_2)$ é uma expressão regular;
5. Se r_1 e r_2 são expressões regulares, então $(r_1 r_2)$ é uma expressão regular;

Todas as expressões regulares são formadas desta forma. É importante reter que uma expressão regular r é um tipo especial de palavra, que utiliza as letras de E e os cinco símbolos: $()^* \vee \lambda$. Nenhum outro símbolo é usado em expressões regulares.

Seja L uma linguagem sobre E . Então L é chamada de linguagem regular sobre E , se existe uma expressão regular r sobre E tal que $L = L(r)$. Um Autômato, é o dispositivo capaz de gerar uma determinada linguagem de acordo com determinadas regras gramaticais. A relação fundamental entre linguagens regulares, autômatos finitos e gramáticas regulares, pode ser compreendida como se segue:

- Como visto anteriormente uma linguagem L é regular se e só se $L=L(r)$ onde r é uma expressão regular,
- Por outro lado, pelo Teorema de Kleene, tem-se que: uma linguagem L sobre um alfabeto E é regular se e somente se existe um autômato finito M tal que $L=L(M)$.
- Por ultimo, M é um autômato finito se e só se $L=L(G)$ onde G é uma gramática regular (Teorema: uma linguagem L pode ser gerada por uma gramática regular (tipo 3), se e somente se existir um autômato finito M que aceite L .)

Como tal, podemos dizer que um Autômato é um dispositivo que observa palavras de um alfabeto E e reúne um conjunto (finito) X de estados, onde $x_0 \in X$ denota o estado original. Um autômato é capaz de gerar uma determinada linguagem, de acordo com a seguinte regra: $x' = f(x, e)$, onde: x - estado actual; e - evento observado; x' - estado seguinte. Uma palavra w é reconhecida (falada) por um autômato $M = (E, X, f, x_0, F)$ se $f(x_0, w) = x$ com $x \in F$, onde:

1. Um conjunto finito E (alfabeto) de entradas.
2. Um conjunto finito de X (interno) estados.
3. Um subconjunto F de X (estados finais).
4. O estado inicial x_0 em X .
5. A função de transição de estados $f: X \times E \rightarrow X$

Diagrama de transição de um Estado M : um autômato M é geralmente definido por meio do seu estado diagrama $D = D(M)$ em vez de listar as suas cinco partes. O diagrama de estado $D = D(M)$ é um grafo caracterizado da seguinte forma:

1. Os vértices de $D(M)$ são os estados em X e um estado de aceitação é indicado por meio de um círculo duplo.
2. Há uma seta (aresta direccionada) em $D(M)$ do estado x_j para o estado x_k marcada por uma transição por $f(x_j, a) = x_k$ ou, equivalentemente, se $fa(x_j) = x_k$.
3. O estado inicial x_0 é indicado por meio de uma flecha especial que termina em s_0 , mas não tem vértice inicial.

Diz-se que M reconhece a palavra w se o estado final x_m é um estado de aceitação em F . A linguagem $L(M)$ de M é o conjunto de todas as palavras de E que são aceites por M . Ou seja, a Linguagem $L(M)$ é determinada pelo Autômato M .

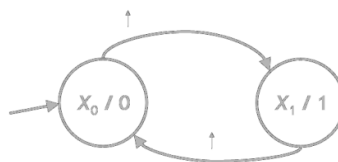


Figura 3.4. Diagrama de Estados de um Autômato

O reconhecimento utilizando gramáticas pode ser feito supondo que nos é dada uma palavra teste u gerada por uma de c gramáticas diferentes G_1, G_2, \dots, G_c , que podem ser consideradas como modelos ou classes diferentes. A palavra teste u é classificada de acordo com a gramática que lhe poderá ter dado origem, ou equivalentemente, de acordo com a linguagem $L(G_i)$ da qual u é membro.

Exemplos de gramáticas (Aksoy, 2008):

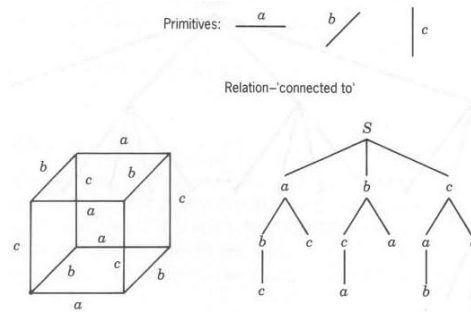


Figura 3.5. Árvore de representação de um cubo baseada numa gramática.

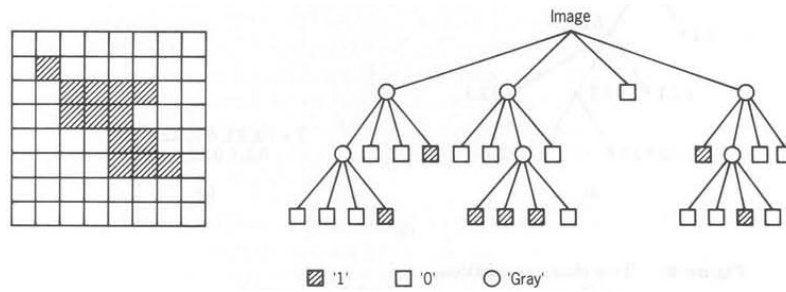


Figura 3.6. Árvore de representação de uma imagem binária 8 x 8.

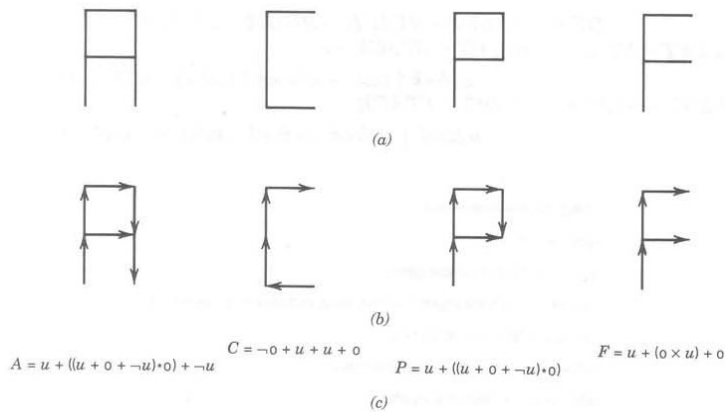


Figura 3.7. Representação de quatro caracteres através da gramática que descreve a figura pelo desenho de linhas de contorno (a) Padrão dado. (b) Representação das primitivas e sua interconexão (c) descrição.

Como vimos nos exemplos acima referidos, uma gramática pode ser representada de várias formas. Seguidamente iremos abordar os grafos com um pouco mais de detalhe.

3.2.2. Grafos

A Teoria dos Grafos é um ramo da matemática que estuda as relações entre os objectos de um determinado conjunto. Um Grafo $G = \{N, R\}$ é um par ordenado representado por:

- Um conjunto de nós (vértices), N ,
- Um conjunto de arestas (arcos), $R \subseteq N \times N$.

Dependendo da aplicação, as arestas podem ou não ter direcção (i.e. a ordem pela qual a entidade surge no par é significativa), pode ser ou não permitido as arestas ligarem um nó a ele próprio e os nós e/ou arestas podem ter um peso (numérico) associado.

Um grafo orientado (também chamado de grafo direccionado, dígrafo ou quiver) é dado por uma função do tipo $s, t : R \rightarrow N$, onde $s(e)$ é a *fonte* e $t(e)$ é o *alvo* da aresta direccionada e . Por outro lado um grafo não orientado (ou simplesmente grafo) é dado por uma função $w : R \rightarrow P(N)$ que associa a cada aresta um subconjunto de dois ou de um elemento de N , interpretado como os pontos terminais da aresta.

3.3. Hipóteses de aplicação no presente caso

Como foi referido as características são determinantes no reconhecimento de padrões, e a obtenção de um espaço de características contendo as mais discriminantes influencia directamente a eficácia da tarefa de classificação. Diferentes abordagens podem ser utilizadas no reconhecimento das características, nomeadamente métodos estatísticos, métodos estruturais, redes neuronais, conjuntos difusos.

Se por um lado a natureza quantitativa de reconhecimento de padrões estatísticos, torna difícil a discriminação entre os grupos com base na sua morfologia (shapebased ou estrutural), como no presente caso, já os pontos fortes das redes neuronais não suplantam a complexidade e necessidade de capacidade de cálculo paralelo inerentes. Da mesma ordem de grandeza são os constrangimentos relativos à utilização de abordagens baseadas em conjuntos difusos com recurso a um PLC. Os métodos Estruturais parecem por isso ser os mais apropriados, sendo por isso os utilizados ao longo deste trabalho.

A forma que se pertence identificar determina, para cada caso específico, qual a técnica a utilizar e que tipo de algoritmos desenvolver. Por vezes diferentes técnicas podem ser utilizadas com resultados semelhantes, porém casos existem em que a diferença de resultados é significativa e a complexidade e tamanho do algoritmo não o justificam. Neste contexto iremos desenvolver algoritmos baseados em regiões e gramáticas, representados por strings, diagramas de estado, grafos e árvores.

3.4. Síntese

O reconhecimento de padrões é um assunto relativamente recente, contudo, devido ao seu grande interesse, dotar as máquinas de comportamentos inteligentes, capazes de perceberem e agirem sobre o meio envolvente, um grande esforço tem vindo a ser realizado no sentido de desenvolver novos métodos ou abordagens mais capazes.

Apesar de não haver uma classificação bem definida, podemos dizer que as metodologias mais importantes serão a estatística, a estrutural, a neuronal e os conjuntos difusos. Neste trabalho iremos utilizar a abordagem estrutural dada a natureza morfológica do objecto de reconhecimento (relações entre características espaciais de um determinado padrão).

4. Simulação do processo

Existem inúmeras definições para simulação. De entre elas é pertinente citar-se a de Pegden, (1990) segundo o qual “a simulação é um processo de projectar um modelo computacional de um sistema real e conduzir experiências com este modelo, com o propósito de entender o seu comportamento e/ou avaliar estratégias para a sua operação”. É neste contexto que surge o desenvolvimento da plataforma de simulação, com o intuito de recriar o sistema real em condições ideais de funcionamento. O controlo da variável ou fenómeno ruído (que é função do acabamento superficial da peça e do processo de aquisição) permitirá analisar modelos de ruído intencionalmente introduzidos, com o objectivo de desenvolver e testar algoritmos com desempenho elevado ou óptimo para cada caso particular em estudo.

O procedimento completo necessário começa com a definição do cenário em que se deseja realizar a simulação, seguindo-se esta, de acordo com as características definidas para os elementos envolvidos na simulação e, por último, a necessária análise dos resultados obtidos.

4.1. Objectivos, cenários de interesse e suporte tecnológico

A simulação é entendida, aqui, como um processo que engloba a construção do modelo em si, mas também todo o método experimental que se segue. Isto leva a que a plataforma desenvolvida tenha por objectivos:

- Descrever o comportamento ideal do sistema;
- Construir teorias e hipóteses, considerando as observações efectuadas, através da manipulação interactiva dos padrões;
- Usar o modelo para “prever” comportamentos do sistema, isto é, os efeitos produzidos por alterações no sistema ou nos métodos e algoritmos empregados;
- Avaliar o desempenho dos métodos e algoritmos, assim desenvolvidos para cada caso particular.

Este processo permitirá, paralelamente, a formação do utilizador no domínio do uso de softwares de simulação para PLC's (SoftPLC's). Uma possível simulação do funcionamento do conjunto PLC/HMI, com base numa linguagem de programação compatível com a do sistema real, permite que os algoritmos aí criados possam ser facilmente transpostos, não havendo uma completa duplicação de trabalho mas antes uma forma mais flexível e prática para a sua execução (não se ficando fisicamente “preso” ao sistema real, mas com uma interface muito semelhante a este, com maior capacidade de cálculo e maior memória).

Quanto à dimensão de ferramenta, dotada de um conjunto de funcionalidades, a sua utilidade é evidente: por um lado, porque permite aproximar-se do sistema real, simulando os diferentes processos de aquisição e por causa da introdução manual do ruído, em zonas consideradas mais críticas; por outro lado, é dotada da capacidade de manipular os padrões por forma a auxiliar o utilizador na “visualização/percepção” de características mais importantes, por comparação de regiões e/ou das primitivas da forma ou padrão em determinada posição.

O CoDeSys (Controller Development System) foi o software utilizado neste trabalho. É uma ferramenta de software direccionada para tecnologias de automação industrial, desenvolvido pela empresa 3S-software, e disponível gratuitamente no seu site (na versão demonstração). É constituído basicamente por duas partes distintas: o sistema de programação CoDeSys e o sistema de implementação em tempo real CoDeSys Control. É um dos sistemas de programação, mais importantes a nível mundial, que respeita a norma IEC 61131-3 (International Electrotechnical Commission (IEC), 2007), tendo-se inclusivamente estabelecido como standard no controlo e programação de PLC's. No contexto deste trabalho é apenas utilizado enquanto ferramenta de programação, utilizando o texto estruturado para implementar os algoritmos, apesar de permitir programar em outras linguagens: Instruction List (IL), Sequential Function Chart (SFC), Function Block Diagram (FBD), Ladder Diagram LD e Continuous Function Chart (CFC).

Como alternativa ao CoDeSys, e na mesma linha de desenvolvimento, existem outros softplc's disponíveis como, por exemplo, o Zelio Soft (Software de Programação do MicroPLC Zélio da Schneider Electric.), pese embora menos interessantes. Já numa outra linha distinta, seria ainda possível recorrer a linguagens de programação de alto nível como o Visual Basic ou o C++ que, como principal atractivo, têm a possibilidade de poderem introduzir e testar de forma automática, determinado modelo de ruído, por poderem gerar automaticamente e de forma aleatória novos ensaios, capacidade que geralmente justifica o recurso aos processos de simulação. Contudo, neste trabalho, é dada maior importância ao tipo de ruído (em que zona este ocorre – no contorno, no interior ou exterior da peça,...) e em que medida os diferentes algoritmos desenvolvidos serão ou não suficientemente robustos para os conseguir ignorar, não

se tornando assim, tão necessário, conhecer a probabilidade desse tipo de ruído ocorrer. Contudo num caso limite, um algoritmo teoricamente “pior” pode, na prática, revelar-se o mais “eficiente” e “melhor” por conseguir reconhecer a forma no ruído que mais vezes se repete. Será necessário por isso, procurar introduzir manual e intuitivamente modelos de ruído relevantes, ainda que baseados na sensibilidade e espírito crítico do operador.

A opção pelo CoDeSys deve-se principalmente à sua compatibilidade com a norma IEC-61131-3 que torna possível uma fácil transposição dos programas e algoritmos desenvolvidos em contexto de simulação para o sistema real. O facto de ter um ambiente extremamente profissional, fazendo com que muitos fabricantes (FESTO, Schneider, ABB, etc.) o utilizem, chegando mesmo a distribuí-lo em versões personalizadas juntamente com os seus equipamentos, torna também a sua aprendizagem interessante, do ponto de vista da formação do próprio utilizador/estudante.

4.2. Desenvolvimento realizado

O ambiente de programação do CoDeSys é bastante intuitivo e amigável. Na figura 4.1 pode ver-se o ambiente de trabalho que permite, entre outras coisas, criar os programas, fazer o debug, acompanhar em tempo real o valor das diversas variáveis. Pode ser encontrado no anexo 3, o código de alguns dos programas desenvolvidos.

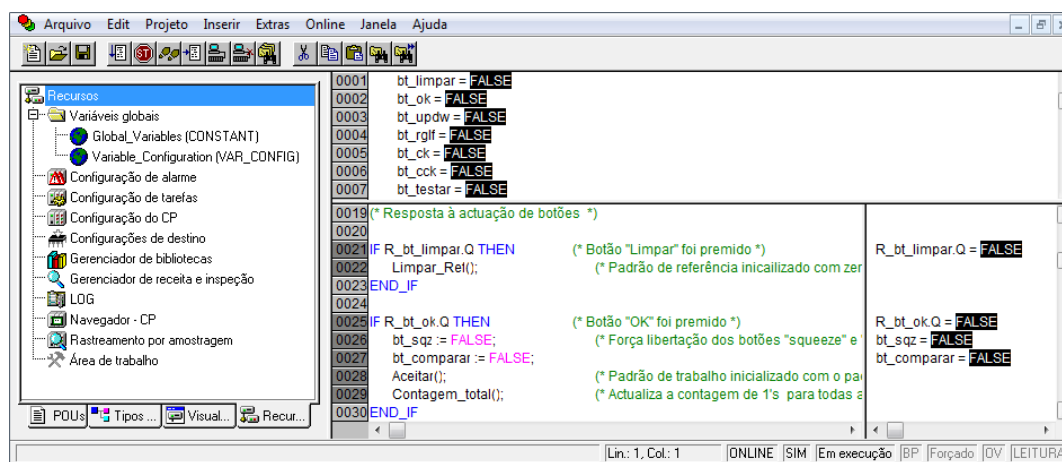


Figura 4.1. Ambiente de programação do CoDeSys

Com o objectivo de reproduzir o sistema real, foi desenvolvida uma interface gráfica simulando a HMI real, mais uma das capacidades do CoDeSys que ajudam à visualização de todo processo. Algumas destas funcionalidades estão visíveis na figura 4.2.

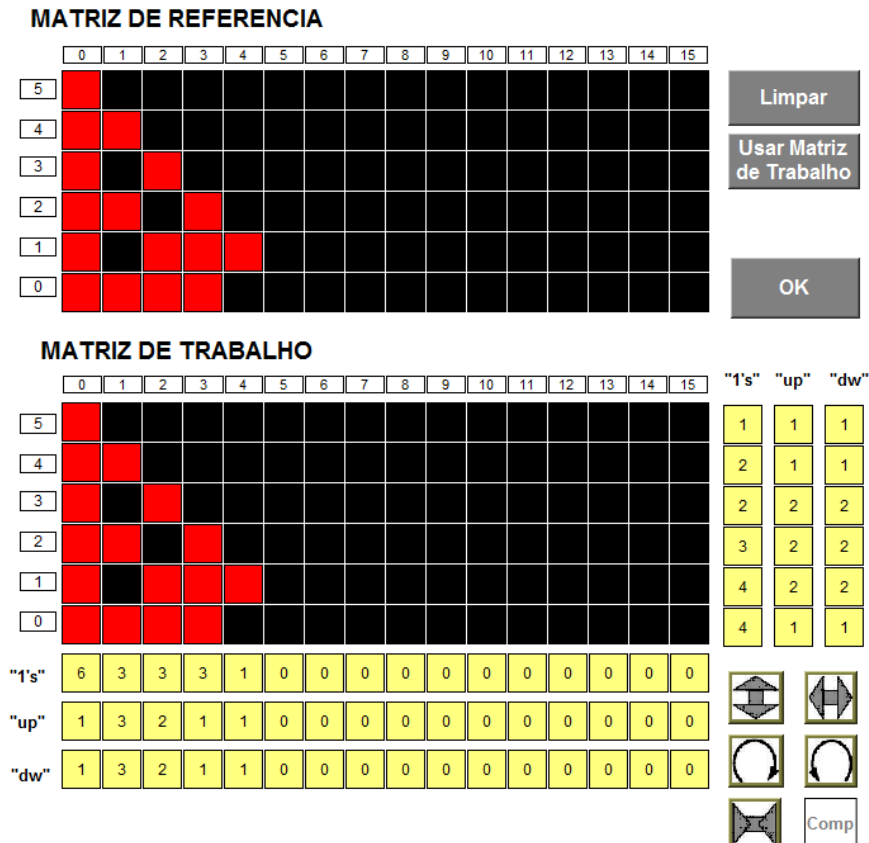


Figura 4.2. Plataforma de simulação da HMI

A “Matriz de Referência”, de uma forma geral, é o local onde o utilizador pode introduzir manualmente o perfil da peça desejado, assim como o modelo de ruído pretendido (simula o espaço de amostragem). Neste contexto, existem dois sistemas de aquisição de dados que influenciam directamente a imagem da peça que é obtida, pelo que é necessário serem tidos em consideração na simulação:

- Em sistemas “*time driven*”, a aquisição de sinal é regida por um sinal de relógio. Leitura síncrona aplicável para velocidade constante de passagem da peça e frequência de amostragem f que permita a representação da peça dentro do espaço de amostragem.
- Em sistema em “*event driven*” ou “*data driven*” é apenas a observação de mudança de dados que conduz a aquisição. Processo de aquisição assíncrono.

A Matriz de Referência tem associado a si três funcionalidades principais:

- O botão “Limpar”  – que, como o próprio nome indica, limpa (coloca a “0s” todos os valores) a Matriz de referência
- O botão “Ok”  - faz a submissão da forma desejada, transferindo-a para o espaço de trabalho, mas activando também um conjunto de funções a si associadas tais

como a determinação das dimensões da forma ou do número de “1s” ou transições ascendentes e descendentes em determinada posição

- O botão “Usar matriz de trabalho”  – que permite transferir um padrão manipulado na matriz de trabalho para a matriz de referência.

Por seu lado, a “Matriz de trabalho” é o espaço onde vai ser processada a imagem. Aqui estão disponíveis um conjunto de imagens distintas:

- Existe um campo  onde é possível visualizar o número de transições, bem como o número de “1s” ao longo de cada linha e coluna do espaço de amostragem
- Um conjunto de botões que permite espelhar e rodar a imagem: os botões de Flip horizontal  e Flip vertical  fazem com que a forma da peça seja invertida, tendo por base a mediatriz correspondente, os botões de rotação permitem rodar a forma no sentido horário  e no sentido contrário ao dos ponteiros do relógio .
- O botão “Comparar”  permite comparar formas: a presente na matriz de referência, com a da matriz de trabalho, evidenciando as regiões de diferenciação
- O botão “Squeeze”  aproxima a simulação da aquisição de sinal em data-driven, através da compressão da imagem sempre que é detectada uma coluna (amostragem) repetida
- O Botão testar  submete a forma presente na “Matriz de trabalho” ao conjunto de algoritmos de reconhecimento desenvolvidos, activando uma “tabela de resultados”.



Testar		
Algoritmo	Identificação	
Quadrantes	OK!	
Sobreposição	OK!	
String Matching	?	
Transições	OK!	
Contorno	?	
Regressão		KO!

Figura 4.3. Tabela de resultados relativa à identificação da forma representada na Figura 4.2.



Algoritmo	Orientação		
Quadrantes			
Transições			

Figura 4.4. Tabela de resultados relativa à orientação da forma representada na Figura 4.2.

A tabela de resultados é o espaço que torna possível visualizar e comparar todos os algoritmos relativos a um mesmo caso. Funcionam do seguinte modo: depois de introduzida a forma desejada na matriz de referência, e eventualmente manipuladas na matriz de trabalho, é possível seleccionar, na tabela de resultados, o caso concreto que se pretende testar, premindo-se o botão com a forma correspondente. Quando actuado o botão testar, irão aparecer activos os resultados dos algoritmos existentes para a forma especificada.

4.3. Cenários simulados

Serão abordados dois problemas distintos, de identificação da correcta orientação de determinada forma, nomeadamente: 1) com dois resultados possíveis (mais estado de indeterminação), 2) com mais de dois resultados possíveis – ver figura 4.5.

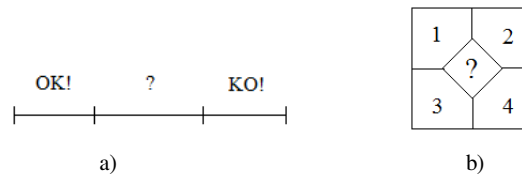


Figura 4.5. Critérios de identificação da correcta orientação de uma forma com: a) dois resultados possíveis, b) mais de dois resultados possíveis

Para os problemas de tipo 1), foram definidos três critérios de diferenciação: o critério “OK!” determina que a imagem obtida é aproximadamente igual ao elemento que se pretende verificar; o critério “KO!” determina que a imagem obtida é aproximadamente igual ao elemento de rejeição; por último, o critério “?” determina que a imagem obtida fica fora dos intervalos de confiança estabelecido nos critérios anteriores, para o caso concreto.

Já nos problemas do tipo 2) são considerados os quatro critérios 1,2,3 e 4 que determinam a orientação da forma segundo o sentido da posição que o número ocupa no espaço – ver figura 4.5. b). O critério “?”, tal como nos casos do tipo 1, determina que a imagem obtida fica fora dos intervalos de confiança estabelecido para os critérios 1, 2, 3 e 4.

Tabela 4.1. Enumeração dos casos simulados para a identificação da correcta orientação de determinada forma segundo os critérios “OK!” e “KO!” definidos

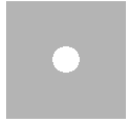
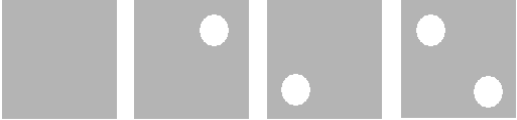
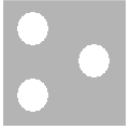
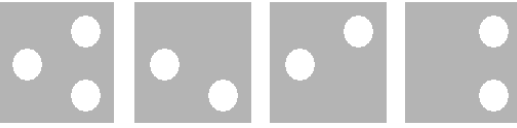
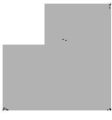
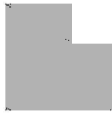
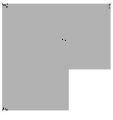
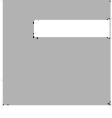
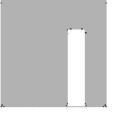
	Critério OK!	Critério KO!
Caso 1		
Caso 2		
Caso 3		
Caso 4		
Caso 5		
Caso 6		
Caso 7		

Tabela 4.2. Enumeração dos casos simulados de orientação de determinada marca

	1)	2)	3)	4)
Caso 8				
Caso 9				
Caso 10				

Com o propósito de testar e comparar o desempenho dos algoritmos em desenvolvimento, procurando prever a sua eficácia e robustez, serão definidos diferentes modelos de ruído, para o efeito. Admitir-se-á ainda que o ruído resultante do acabamento superficial seja constante, ao longo da peça, ou seja: a probabilidade de existir ruído é igual para qualquer ponto da peça. O mesmo é dizer que se considera existir uma rugosidade, capacidade reflectiva e ortogonalidade constantes ao longo da peça (imaginando uma superfície espelhada perfeita).

Dos casos definidos nas Tabelas 4.1. e 4.2., serão seguidamente expostos para os casos 1, 2 e 4 os modelos de ruído considerados, os diferentes algoritmos desenvolvidos, baseados em diferentes metodologias e técnicas e os resultados por estes obtidos. Os restantes casos 3, 5, 6, 7, 8, 9 e 10 serão do mesmo modo tratados no anexo 2.

4.3.1. Caso 1 – Identificação da correcta orientação de uma peça triangular

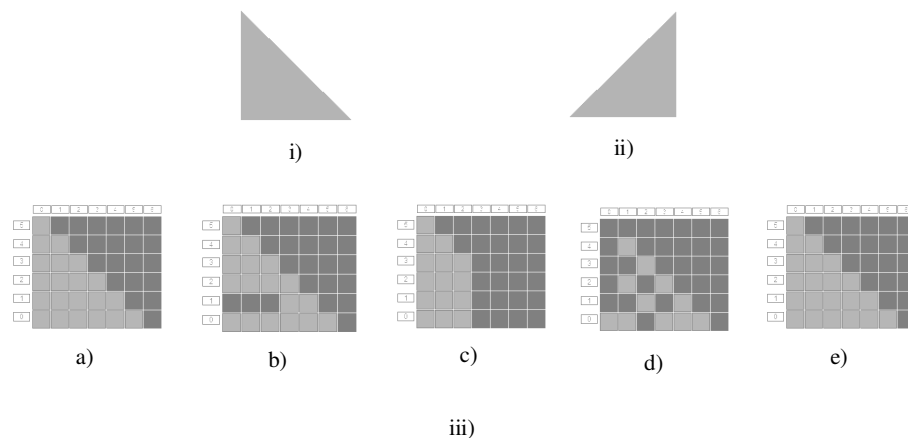


Figura 4.6. Identificação da correcta orientação de uma peça triangular: i) forma pretendida, ii) forma de rejeição, iii) modelos de ruído testados.

Na figura 4.6. pode observar-se a forma, cuja orientação se pretende identificar, assim como os modelos de ruído que serão considerados para o desenvolvimento e teste dos algoritmos. Assim, idealmente teríamos uma imagem com a matriz da forma pretendida, obtida por time driven, representada no caso a), mas considerando o caso de uma avaria temporária de um dos sensores podemos ter algo semelhante ao caso exposto em b), por seu lado, o caso c) procura simular a falha temporária e de curta duração do conjunto de todos os sensores. Já no caso d) procura-se testar a sensibilidade e robustez dos algoritmos para o aparecimento de ruído em zonas mais sensíveis da peça, nomeadamente nas zona de contorno. Por último procura-se reproduzir, no caso e, a resposta esperada da aquisição em *event driven*.

Método 1: Análise dos quadrantes

Este Algoritmo pretende analisar a imagem binária, a partir da partição ortogonal em quatro regiões iguais, que designaremos de quadrantes. As regiões comparadas são: o quadrante inferior esquerdo (*ie*) com o quadrante superior direito (*sd*) e o quadrante inferior direito (*id*) com o quadrante superior esquerdo (*se*).

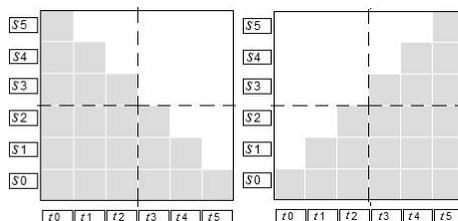


Figura 4.7. Identificação por regiões (quadrantes)

Os critérios considerados na análise do algoritmo são:

- Critério “OK!” - é o triângulo pretendido, se existir um número consideravelmente maior de “1s” no quadrante *ie* do que no *sd* e, ao mesmo tempo, o número de “1s” nos quadrantes *se* e *id* for aproximadamente igual, tal que:

$$\frac{ie + 1}{sd + 1} \geq 3 \quad \wedge \quad \frac{id + 1}{se + 1} \in [0.75, 1.5] \quad (3)$$

- Critério “KO!” – é o triângulo de rejeição, se existir um número consideravelmente maior de uns no quadrante *id* do que no *se* e, ao mesmo tempo, o número de uns nos quadrantes *sd* e *ie* for aproximadamente igual, tal que:

$$\frac{id + 1}{se + 1} \geq 3 \quad \wedge \quad \frac{ie + 1}{sd + 1} \in [0.75, 1.5] \quad (4)$$

- Critério “?” – quando não é possível assegurar qual o triângulo em presença. O valor de ruído admitido é superado, o que coloca a peça numa zona de incerteza. Para o primeiro e segundo casos, respectivamente:

$$\frac{ie + 1}{sd + 1} < 3 \quad \vee \quad \frac{id + 1}{se + 1} < 3 \quad (5)$$

Neste algoritmo, é possível a aquisição de dados: em Time driven - aplicável com velocidade de tapete constante e frequência de amostragem para a representação da peça, dentro do espaço de amostragem, e em Data driven – aplicável dada a forma variável da peça que, em conjunto com o movimento de passagem da peça, perante os sensores de varrimento, provoca a detecção da variação e conseqüente aquisição para o espaço de amostragem.

Por fim, pode-se considerar que os principais pontos fortes deste algoritmo são: ter, por um lado, um critério de dupla verificação e, por outro lado, ser pouco extenso (rápido). Já o seu ponto fraco, é poder ser muito prejudicado, se ocorrer uma “descentragem” da peça;

Método 2: Análise por comparação de regiões sobrepostas

Analisa a imagem binária a partir da sobreposição dos dois objectos que se pretendem identificar e, utilizando um OU Exclusivo, extrair dessa forma as regiões que nessa comparação os mais discriminam (zona específica e exclusiva de cada objecto), criando um “espaço de características”:

- A característica do triângulo pretendido é definida pelo somatório de uns dessa região mais à esquerda do espaço de amostragem (re).
- A característica do triângulo de rejeição é definida pelo somatório de uns dessa região mais à direita do espaço de amostragem (rd).

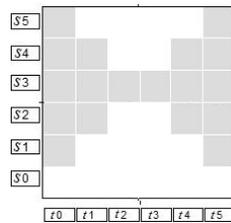


Figura 4.8. Regiões comparadas – resultado do OU exclusivo das imagens a) e b) da figura 4.6.

Os critérios considerados na análise do algoritmo são:

- Critério “OK!” – é o triângulo pretendido se existir um número consideravelmente maior de “1s” na região re que na rd . Considerando-se um modelo de distribuição constante do ruído e definindo-se um ruído máximo de mais ou menos dois pontos (~25%) em cada região, vem que:

$$\frac{re + 1}{rd + 1} > 2,5 \quad (6)$$

- Critério “KO!” – é o triângulo de rejeição se existir um número consideravelmente maior de uns na região rd que na re , Nas mesmas condições consideradas no critério anterior, tal que:

$$\frac{rd + 1}{re + 1} > 2,5 \quad (7)$$

- Critério “?” – quando o valor de ruído admitido é superado, colocando a peça numa zona de incerteza.

$$\frac{re+1}{rd+1} \leq 2,5 \quad \vee \quad \frac{rd+1}{re+1} \leq 2,5 \quad (8)$$

As duas formas de aquisição de dados são aplicáveis: em Time driven - com velocidade de tapete constante e frequência de amostragem para a representação da peça dentro do espaço de amostragem e, em Data driven – dada a forma variável da peça que em conjunto com o movimento de passagem da peça perante os sensores de varrimento, provoca a detecção da variação e consequente aquisição para o espaço de amostragem.

Este algoritmo tem por pontos fortes: ser um programa curto (mais rápido) e o facto de ser insensível ao ruído fora das zonas comparadas. O seu ponto fraco é não conseguir identificar a forma triângulo em si, mas apenas a diferença entre duas regiões escolhidas.

Método 3: Análise por String Matching

De uma forma geral este algoritmo identifica a forma da peça por comparação da sequência de leituras adquiridas pelo varrimento de sensores (colocada na matriz/espço de amostragem), com a imagem binária pretendida e previamente armazenada em memória. Começa por procurar a palavra inicial t_0 no instante $t = t_0$, e sempre que tal acontece, verifica se a sequência pretendida é conseguida. Se sim, então a forma foi identificada, se não repete o processo para $t = t+1$.

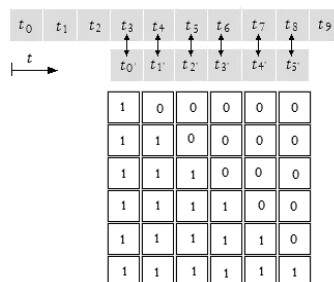


Figura 4.9. String Matching

Os critérios considerados na análise do algoritmo são:

- Critério “OK!” – A sequência de palavras que descrevem a forma desejada é encontrada no espaço de amostragem e dentro da tolerância definida (uma letra por palavra):
Matriz_d = [63, 31, 15, 7, 3, 1] ou [111111.011111.001111.000111.000011.000001]
- Critério “KO!” – a sequência de palavras que descrevem forma de rejeição é encontrada no espaço de amostragem e dentro da tolerância definida (uma letra por palavra)
Matriz_e[1, 3, 7, 15, 31,63] ou [000001.000011.000111.001111.011111.111111]

- Critério “?” – Nenhuma das sequências é encontrada, ou é “encontrada” mas dentro de uma tolerância superior.

É passível de ser aplicado em Time driven, com um tempo de amostragem que permita captar a imagem real, uma vez que a peça é previamente “desenha” em memória, admitindo a imagem real esperada. Mas também em Data driven dada a sua forma continuamente variável.

Tem por pontos forte ser um programa pequeno (por isso rápido) e como ponto fraco a possível ocorrência de erros na introdução dos dados iniciais.

Método 4: Ordem da sequência de transições

Este algoritmo procura verificar a presença do triângulo em função da ordem por que ocorrem as transições positivas ou negativas.

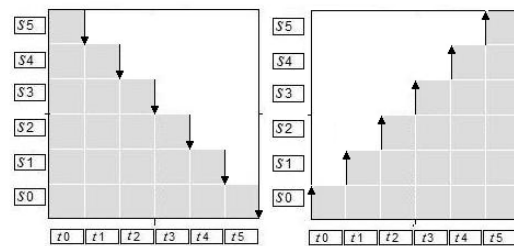


Figura 4.10. Ordem de sequência

Os critérios considerados na análise do algoritmo são:

- Critério “OK!” - As transições descendentes ocorrem de s5 para s0

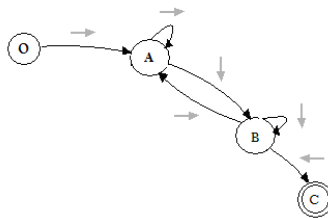


Figura 4.11. Diagrama de Estados

- Critério “KO!” - As transições ascendentes ocorrem de s0 para s5

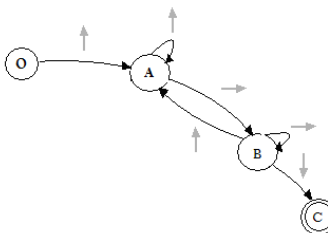


Figura 4.12. diagrama de Estados

- Critério “?” - Verificação de alternância de ascendentes e descendentes

É possível a aquisição de dados em Time driven - aplicável com velocidade de tapete constante e frequência de amostragem para a representação da peça dentro do espaço de amostragem e em Data driven – aplicável dada a forma variável da peça que em conjunto com o movimento de passagem da peça perante os sensores de varrimento, provoca a detecção da variação e conseqüente aquisição para o espaço de amostragem.

Tem como ponto forte ser um programa pequeno (mais rápido), insensível ao ruído na zona central e contornos que não o inclinado. O seu principal ponto fraco é a sensibilidade ao ruído nas transições (zona de contorno característica).

Método 5: Contorno integral

Este algoritmo consiste em seguir, procurando fechar, a linha de contorno do triângulo, recorrendo para isso a certas regras gramaticais que articulam um conjunto de primitivas (linhas orientadas - constituído pelas transições positivas e negativas dos sensores) por forma a obter um triângulo.

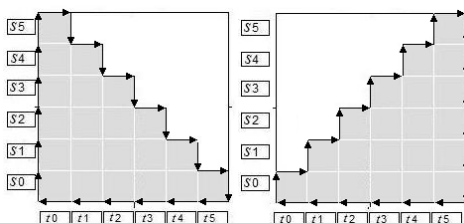


Figura 4.13. Contorno integral

Os critérios considerados são:

- Critério “OK!” - consegue concluir o ciclo fechando o contorno, descendo três ou mais degraus.

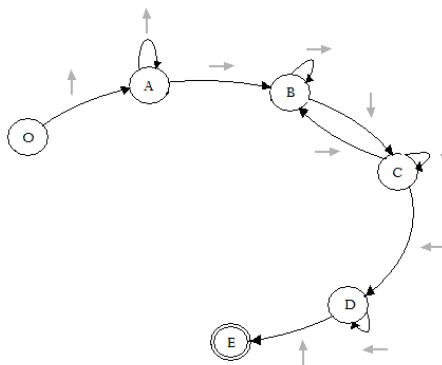


Figura 4.14. Diagrama de estados – contorno da forma pretendida

- Critério “KO!” - consegue concluir o ciclo fechando o contorno, subindo três ou mais degraus.

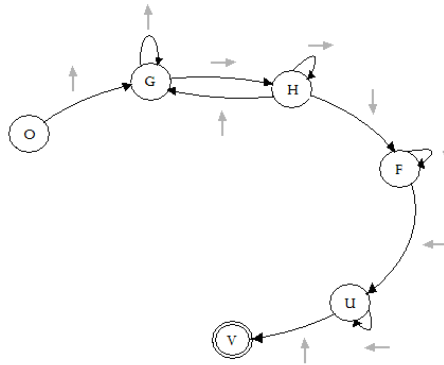


Figura 4.15. Diagrama de Estados

- Critério “?” - encontra uma quebra no contorno e não consegue fechar o ciclo ou consegue concluir o ciclo fechando o contorno, descendo ou subindo menos de três degraus.

É possível a aquisição de dados em *Time driven* - aplicável com velocidade de tapete constante e frequência de amostragem para a representação da peça dentro do espaço de amostragem e em *Data driven* – aplicável dada a forma variável da peça que em conjunto com o movimento de passagem da peça perante os sensores de varrimento, provoca a detecção da variação e conseqüente aquisição para o espaço de amostragem.

Como ponto forte este algoritmo tem a sua insensibilidade ao ruído na zona central e o facto de permitir identificar triângulos independentemente do seu comprimento (se este não ultrapassar o espaço de amostragem). Os pontos fracos são ser um programa relativamente extenso (mais lento de correr), sensível a ruído nas zonas de contorno, sendo particularmente sensível ao contorno ascendente.

Método 6: Análise por regressão

Podemos ver os dados do espaço de amostragem como um conjunto de amostras bivaridas, constituída pelo par ordenado de dados quantitativos, sendo o primeiro atributo o número de “1s” na linha i e o segundo atributo o número de “1s” da coluna j , e assim procurar a relação entre eles.

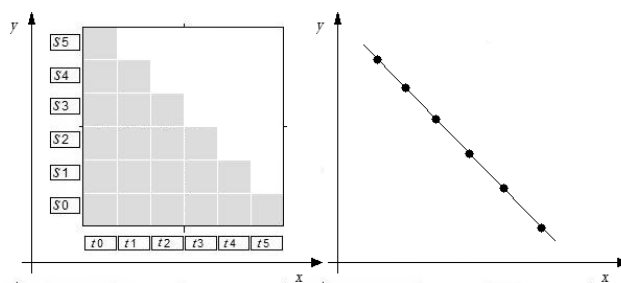


Figura 4.16. Regressão

Considerando a equação da recta no plano (x,y) , tem-se a equação: $y = a' + b \cdot x$; onde a' é a ordenada na origem e b o declive. Cálculo do declive b da regressão linear entre o número de uns das linhas (x) e o das colunas (y).

$$b = \frac{\sum_{n=1}^N (x_n - \bar{x})^2}{\sum_{n=1}^N (x_n - \bar{x})(y_n - \bar{y})} \quad (9)$$

A linha de tendência assim obtida é uma aproximação da linha de contorno do triângulo. Alternativamente poder-se-ia obter a tendência contando o número de uns de cada coluna e dizer que vai decrescendo ou crescendo).

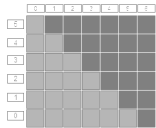
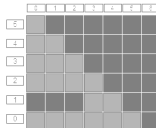
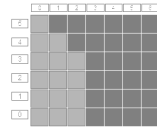
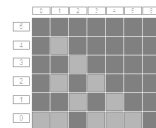
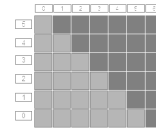
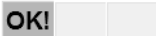
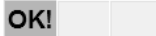
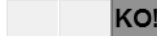
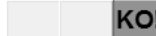
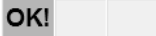
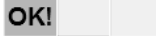
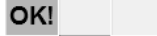
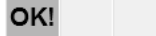
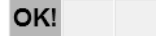
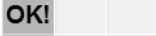
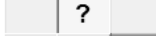
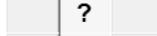
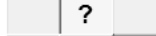
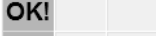
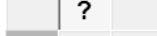
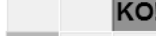
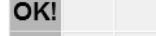
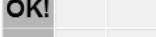
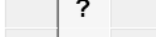
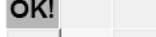
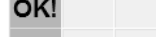
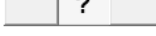
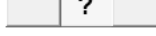
Os critérios considerados na análise do algoritmo são:

- Critério “OK!” - Na situação em que o coeficiente angular da recta é positivo, o somatório S_{xy} é também positivo uma vez que, para a maioria dos dados, a cada diferença $(x_n - \bar{x})$ corresponde uma diferença $(y_n - \bar{y})$ com o mesmo sinal, sendo portanto predominantemente positivas as parcelas do somatório. Declive no intervalo $[0.75, 1.5]$.
- Critério “KO!” - Quando a relação linear tiver um coeficiente angular negativo, as diferenças de $(x_n - \bar{x})$ e $(y_n - \bar{y})$ serão normalmente de sinal contrário, e o somatório será negativo. Declive no intervalo $[-0.75, -1.5]$
- Critério “?” - Quando não existir qualquer relação (linear) entre os valores de x_n e y_n , os sinais das diferenças $(x_n - \bar{x})$ e $(y_n - \bar{y})$ serão alternadamente iguais ou opostos, tendo o somatório S_{xy} um valor próximo de zero. Declive no intervalo $]-0.75, 0.75[$.

As duas formas de aquisição de dados (Time driven & Data driven) são aplicáveis considerando as mesmas condições do algoritmo 1. O seu ponto forte é ser pouco sensível ao ruído independentemente da sua localização.

Resultados simulados obtidos

Tabela 4.3. Ensaios simulados - Caso 1 peça triangular

Ensaio					
	a)	b)	c)	e)	f)
Quadrantes					
Sobreposição					
String Matching					
Transições					
Contorno					
Regressão					

Avaliando os algoritmos pelos modelos de ruído introduzidos verificamos que neste caso, o algoritmo que melhor identifica a forma é o algoritmo “sobreposição” e aquele que pior resultados obtém o “string matching”. Com resultados interessantes e passíveis de serem melhorados, surge o algoritmo quadrantes (que denota uma zona de incerteza estreita chegando a “mentir” no caso c).

4.3.2. Caso 2 – Identificação da correcta orientação de um orifício numa peça quadrangular

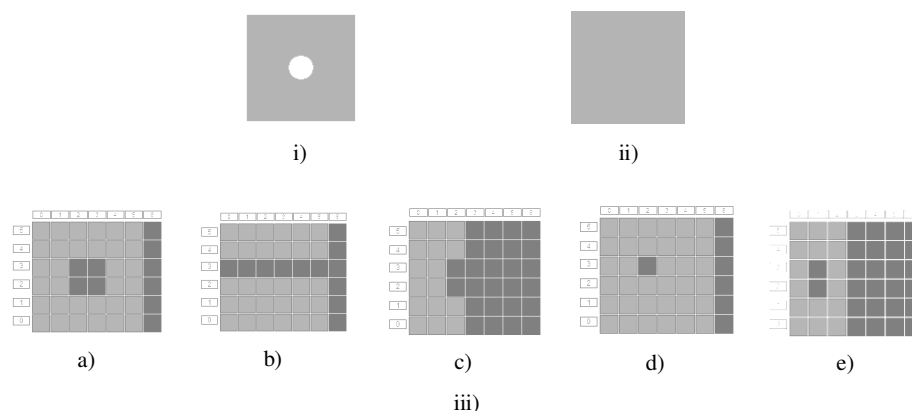


Figura 4.17. Orifício numa peça quadrangular: i) forma pretendida, ii) forma de rejeição, iii) modelos de ruído testados.

Na figura 4.17. podem observar-se as formas pretendida e de rejeição em i) e ii) respectivamente. Os modelos de ruído, considerados para o desenvolvimento e teste dos algoritmos em iii), começam por representar a imagem ideal da forma pretendida no caso a), mas considerando o caso de uma avaria permanente de um dos sensores podemos ter algo semelhante ao caso exposto em b), por outro lado, no caso c) procura-se simular a falha temporária e de curta duração do conjunto de todos os sensores. Já no caso d) procura-se testar a sensibilidade e robustez dos algoritmos para o aparecimento de ruído na zona mais sensíveis da peça, mais concretamente a região onde se pode encontrar o orifício da peça. Por último procura-se reproduzir, no caso e), a resposta esperada da aquisição em *event driven*.

Método 1: Análise por sobreposição (regiões comparadas)

Analisa a imagem binária a partir da sobreposição dos dois objectos que se pretendem identificar e, utilizando um OU Exclusivo, extrai a região que nessa comparação os mais discriminam (zona específica e exclusiva de cada objecto), criando um “espaço de características”:

- A zona que maior peso tem na definição comparativa de ambas as imagens é a região central, caracterizada pelo número de “1s” aí existente (rc).

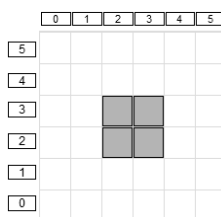


Figura 4.18. Identificação por sobreposição

Os critérios considerados na análise do algoritmo são:

- Critério “OK!” – é o quadrado pretendido se existir um número consideravelmente menos de “1s” na região central \underline{rc} . Considerando-se o ruído e definindo-se um ruído máximo de + ou – um ponto (~25%) na região, vem que:

$$rc \leq 2 \quad (10)$$

- Critério “KO!” – é o quadrado de rejeição se existir um número consideravelmente maior de “0s” na região central \underline{rc} , tal que:

$$rc > 3 \quad (11)$$

- Critério “?” – quando o valor de ruído admitido é superado, colocando a peça numa zona de incerteza.

$$rc = 3 \quad (12)$$

Apenas aplicável em Time driven, dada a dimensão esperada e consequentes valores estabelecidos nos critérios (aplicável com velocidade de tapete constante e frequência de amostragem adequada para a representação da peça dentro do espaço de amostragem).

Este algoritmo tem com pontos forte o facto de ser um programa curto (e por essa razão mais rápido) O seu ponto fraco é como apenas faz a análise na região considerada, não consegue garantir que efectivamente o corpo envolvente seja um quadrado (o que se poderia conseguir combinando um algoritmo de contorno).

Método 2: Análise por String Matching

De uma forma geral este algoritmo identifica a forma da peça por comparação da sequência de leituras adquiridas pelo varrimento de sensores (colocada na matriz/espaco de amostragem), com a imagem binária pretendida e previamente armazenada em memória. Começa por procurar a palavra inicial t_0 no instante $t = t_0$, e sempre que tal acontece, verifica se a sequência pretendida é conseguida. Se sim, então a forma foi identificada, se não repete o processo para $t = t+1$.

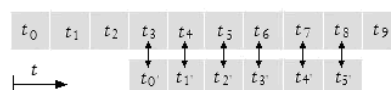


Figura 4.19. Identificação por String Matching

Os critérios considerados na análise do algoritmo são:

- Critério “OK!” – a sequência de palavras que descrevem o quadrado desejado encontrada dentro da tolerância definida (uma letra diferente por palavra).
Matriz_d[63, 63, 51, 51, 63, 63] ou [111111.111111.110011.110011.111111.111111]
- Critério “KO!” - sequência de palavras que descrevem o quadrado de rejeição encontrada dentro da tolerância definida (uma letra diferente por palavra).
Matriz_e[63, 63, 63, 63, 63, 63] ou [111111.111111.111111.111111.111111.111111]
- Critério “?” - Sequencia encontrada com tolerância de duas ou mais letras por palavra.

Apenas é passível de ser aplicado em Time driven uma vez que a peça é previamente “desenha” em memória, admitindo a sua imagem real.

Tem por pontos forte ser um programa pequeno (por isso rápido) e como pontos fracos a possível ocorrência de erros na introdução dos dados iniciais e a sua sensibilidade a zonas de ruído concentrado.

Método 3: Análise por regressão

Podemos ver os dados do espaço de amostragem como um conjunto de amostras bivaridas, constituída pelo par ordenado de dados quantitativos, sendo o primeiro atributo o número de “1s” na linha i e o segundo atributo o número de “1s” da coluna j , e assim procurar a relação entre eles.

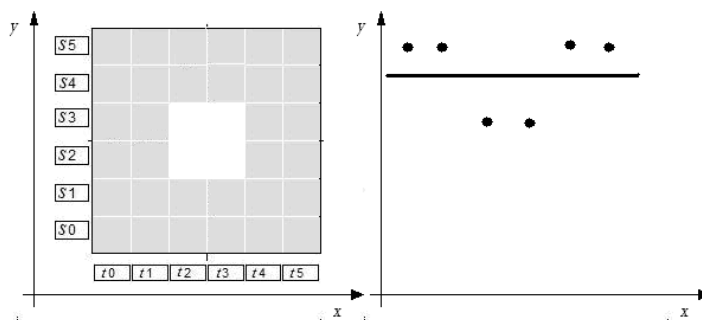


Figura 4.20. Identificação por regressão

Considerando a equação da recta no plano (x,y) , tem-se a equação: $y = a' + b \cdot x$; onde a' é a ordenada na origem e b o declive. A linha de tendência assim obtida é uma aproximação da linha de contorno do triângulo. Caso a distribuição do ruído seja constante, a linha de tendência

tanto no caso da forma desejado como na forma de rejeição, será sempre horizontal, pelo que será utilizado a média como critério de diferenciação.

Os critérios considerados no algoritmo são:

- Critério “OK!” - Na situação em que a média \bar{y} pertence ao intervalo [4, 5].
- Critério “KO!” - Na situação em que a média \bar{y} pertence ao intervalo [5.5, 6].
- Critério “?” - Na situação em que a média \bar{y} pertence aos intervalos [0, 4[ou]5, 5.5].

As duas formas de aquisição de dados (Time driven & Data driven) são aplicáveis. O seu ponto forte é ser pouco sensível ao ruído independentemente da sua localização.

Método 5: Análise por sequência de transições

De uma forma geral este algoritmo identifica a forma da peça pela presença e sequência de um conjunto de transições esperadas em determinada zona da peça. Começa por verificar a existência de uma transição positiva e uma negativa nas duas linhas do centro da peça e repete o processo para as colunas do centro da peça. O somatório do número de transições assim detectadas determinará a forma em presença.

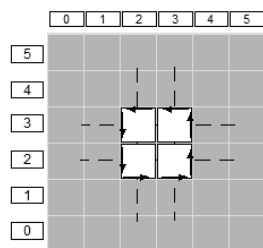


Figura 4.21. Sequência de transições

Os critérios considerados na análise do algoritmo são:

- Critério “OK!” – Mais que 4 transições positivas ou outras tantas negativas encontradas.
- Critério “KO!” – Detectadas 2 ou menos transições negativas.
- Critério “?” – Quando detectadas 3 transições positivas.

Apenas é passível de ser aplicado em Time driven uma vez que a peça é previamente “desenha” em memória, admitindo a sua imagem real. Tem por pontos forte ser um programa insensível ao ruído fora destas duas linhas e duas colunas, e como pontos fracos o facto de se a zona de furo estiver descentrada o algoritmo terá um mau desempenho e a sua sensibilidade ao ruído nas linhas e colunas analisadas.

Resultados obtidos

Tabela 4.4. Ensaios simulados - Caso 2 peça quadrangular com um orifício

Ensaio	a)	b)	c)	d)	e)
Quadrantes					
Sobreposição	OK!	OK!	OK!	?	OK!
String Matching	OK!	?	?	KO!	?
Transições	OK!	KO!	?	KO!	KO!
Contorno					
Regressão	OK!	OK!	OK!	OK!	OK!

Neste caso, os algoritmos quadrantes e contorno não são aplicados. Para os ensaios realizados com diferentes modelos de ruído verifica-se que o algoritmo “sobreposição” é aquele que melhor identifica a forma. O algoritmos string matching apresenta mais uma vez resultados muito desanimadores, assim como os resultados do algoritmo transições, acabam por se muito maus, uma vez que o algoritmo, erradamente indica a presença da forma de rejeição em *b*, *d* e *e*.

4.3.3. Caso 4 – Identificação da correcta orientação de um orifício numa peça triangular

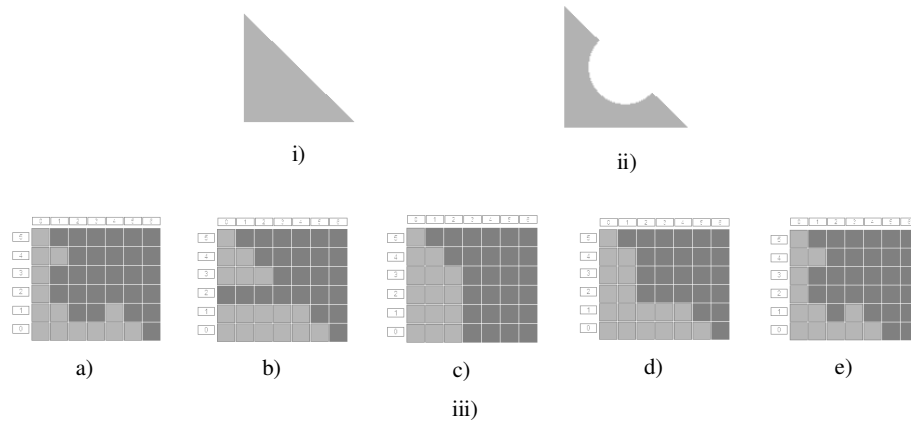


Figura 4.22. Peça triangular com um orifício: i) forma pretendida, ii) forma de rejeição iii) modelos de ruído testados.

Na figura 4.22. podem observar-se as formas pretendida e de rejeição em i) e ii) respectivamente e os modelos de ruído, considerados para o desenvolvimento e teste dos algoritmos em iii). Estes começam por representar a imagem ideal da forma de rejeição no caso a), mas considerando o caso de uma avaria permanente de um dos sensores podemos ter algo semelhante ao caso exposto em b), por outro lado, no caso c) procura-se simular a falha temporária e de curta duração do conjunto de todos os sensores. Já no caso d) procura-se testar a sensibilidade e robustez dos algoritmos para o aparecimento de ruído na zona mais sensíveis da peça, mais concretamente na segunda linha e coluna, região de contorno do orifício da peça. Por último procura-se reproduzir, no caso e), a resposta esperada da aquisição em *event driven*.

Método 1: Análise por regiões comparadas

O algoritmo analisa a imagem binária a partir da sobreposição dos dois objectos que se pretendem identificar e, utilizando um OU Exclusivo, extrai a região que nessa comparação os mais discriminam (zona específica e exclusiva de cada objecto), criando um “espaço de características”: a zona que maior peso tem na definição comparativa de ambas as imagens é a região central, caracterizada pelo número de “1s” aí existentes (rc).

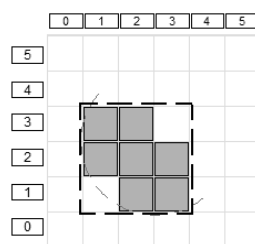


Figura 4.23. Identificação por regiões comparadas

Os critérios tomados em conta são os seguintes:

- Critério “OK!” – é o triângulo pretendido se existir um número consideravelmente menos de “1s” na região do semi círculo rc . Considerando-se o ruído e definindo-se um ruído máximo de + ou – dois pontos (~25%) na região, vem que:

$$rc \geq 5 \quad (13)$$

- Critério “KO!” – é o quadrado de rejeição se existir um número consideravelmente maior de “0s” na região central rc , tal que:

$$rc \leq 2 \quad (14)$$

- Critério “?” – quando o valor de ruído admitido é superado, colocando a peça numa zona de incerteza.

$$rc \in [3,4] \quad (15)$$

Aplicável em: Time driven - aplicável com velocidade de tapete constante e frequência de amostragem para a representação da peça dentro do espaço de amostragem, E em Data driven – aplicável dada a forma variável da peça que em conjunto com o movimento de passagem da peça perante os sensores de varrimento, provoca a detecção da variação e conseqüente aquisição para o espaço de amostragem.

Este algoritmo tem com pontos forte o facto de ser um programa curto (e por essa razão mais rápido) O seu ponto fraco é como apenas faz a análise na região considerada, não consegue garantir que efectivamente o corpo envolvente seja um triângulo (o que se poderia conseguir combinando um algoritmo de contorno).

Método 2: Análise por regiões sextantes

Este Algoritmo pretende analisar a imagem binária a partir da partição ortogonal em nove regiões iguais, que designaremos de sextantes: *se* – superior esquerdo, *me* – médio esquerdo, *ie* – inferior esquerdo, *ms* – médio superiores, *mm* – médio médio, *mi* – médio inferior, *sd* – superior direito, *md* – médio direito, *id* – inferior direito. As regiões comparadas são: o sextante *mm* é o que mais informações contem sobre as duas formas.

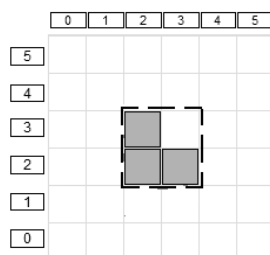


Figura 4.24. Identificação por regiões (sextantes)

O algoritmo apresenta os seguintes critérios:

- Critério “OK!” – é o quadrado pretendido se existir um número consideravelmente menos de “1s” na região central mm . Considerando-se o ruído e definindo-se um ruído máximo de + ou – um ponto (~25%) na região, vem que:

$$mm \geq 2 \quad (16)$$

- Critério “KO!” – é o quadrado de rejeição se existir um número consideravelmente maior de “0s” na região central rc , tal que:

$$mm \leq 1 \quad (17)$$

- Critério “?” – quando o valor de ruído admitido é superado, colocando a peça numa zona de incerteza.

$$rc = 2 \quad (18)$$

Tipo de aquisição de dados aplicável: Time driven - aplicável com velocidade de tapete constante e frequência de amostragem para a representação da peça dentro do espaço de amostragem. Data driven – aplicável dada a forma variável da peça que em conjunto com o movimento de passagem da peça perante os sensores de varrimento, provoca a detecção da variação e consequente aquisição para o espaço de amostragem.

Os principais pontos fortes deste algoritmo é ser insensível ao ruído fora da região central. Já o seu ponto fraco é poder ser muito prejudicado se ocorrer uma “descentragem” da peça e por outro lado se basear numa pequena zona o que o torna sensível a ruídos concentrados.

Método 3: Análise por sequência de transições

De uma forma geral este algoritmo identifica a forma da peça pela presença e sequência de um conjunto de transições esperadas em determinada zona da peça. As zonas determinantes são mais facilmente visualizadas se se recorrer à função comparar, desta forma pode dizer-se que integramos os algoritmos transições com o sobreposição. Este algoritmo verifica o momento em que se dão as transições positivas na linha 1 e coluna 4, assim como as transições negativas na linha 4 e coluna 2.

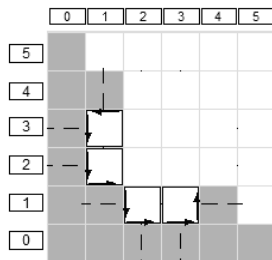


Figura 4.25. Identificação por sequência de transições

Os critérios tomados em conta são os seguintes:

- Critério “OK!” – detectadas transições negativas nas posições 4 e 3 nas linhas 2 e 3 e nas colunas 2 e 3 respectivamente.
- Critério “KO!” – detectadas transições negativas na posição 1 nas linhas 2 e 3 e nas colunas 2 e 3.
- Critério “?” – detecta mais ou menos transições que as estabelecidas nos critérios anteriores e por ordens diferentes.

Apenas é passível de ser aplicado em Time driven uma vez que a peça é previamente “desenha” em memória, admitindo a sua imagem real. Tem por pontos forte ser um programa insensível ao ruído fora destas duas linhas e duas colunas, e com ponto fraco a sua sensibilidade ao ruído nas linhas e colunas analisadas.

Método 3: Análise por String Matching

De uma forma geral este algoritmo identifica a forma da peça por comparação da sequência de leituras adquiridas pelo varrimento de sensores (colocada na matriz/espaco de amostragem), com a imagem binária pretendida e previamente armazenada em memória. Começa por procurar a palavra inicial t_0' no instante $t = t_0$, e sempre que tal acontece, verifica se a sequência pretendida é conseguida. Se sim, então a forma foi identificada, se não repete o processo para $t = t+1$.

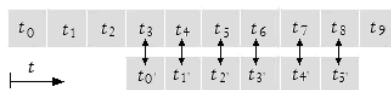


Figura 4.26. Identificação por string matching

Os critérios considerados na análise do algoritmo são:

- Critério “OK!” – a sequência de palavras que descreve a forma desejada é encontrada dentro da tolerância definida (ruído equivalente a uma letra diferente por palavra).
Matriz_d[63, 31, 15, 7, 3, 1] ou [111111.011111.001111.000111.000011.000001]
- Critério “KO!” - sequência da forma de rejeição é encontrada dentro da tolerância definida (ruído equivalente a uma letra diferente por palavra).
Matriz_e[63, 19, 1, 1, 3, 1] ou [111111.010001.000001.000001.000011.000001]

- Critério “?” - Sequencia encontrada com tolerância de duas ou mais letras por palavra.

Apenas é passível de ser aplicado em Time driven uma vez que a peça é previamente “desenha” em memória, admitindo a sua imagem real (será possível em data driven se a imagem introduzida para comparação, for introduzida já com esse fim em vista e tenha por isso, a forma esperada para uma aquisição data driven da peça).

Tem por pontos forte ser um programa pequeno (por isso rápido) e como pontos fracos a possível ocorrência de erros na introdução dos dados iniciais e a sua sensibilidade a zonas de ruído concentrado.

Resultados obtidos

Tabela 4.5. Ensaios simulados - Caso 4 peça triangular com um orifício

Ensaio	a)	b)	c)	d)	e)
Quadrantes					
Sobreposição					
String Matching					
Transições					
Contorno					
Regressão					

Nestes ensaios são testadas tanto a forma pretendida com a forma de rejeição, o que torna os resultados muito esclarecedores. O algoritmo que melhor resultados obtém é o quadrantes, acertando em todos os modelos de ruído testados. Há ainda a evidenciar que o algoritmo sobreposição é o único a “mentir”, mais precisamente em c. Já o algoritmo transições denota uma zona de incerteza muito larga. O algoritmo string matching continua a desapontar.

4.4. Outros resultados obtidos (resumo)

Como é possível verificar alguns algoritmos são mais sensíveis a ruídos junto ao contorno da forma ao passo que outros são-no à densidade de “1s” em determinadas regiões da forma. Seguidamente serão apresentados os resultados dos diferentes algoritmos aplicados aos casos definidos nas tabelas 4.1. e 4.2. Os algoritmos correspondentes podem ser consultados no anexo 1, assim como o código dos programas está disponível no anexo 3.

4.4.1. Caso 3 – Identificação da correcta orientação das reentrâncias de uma peça quadrangular

Tabela 4.6. Ensaios simulados - Caso 3 peça quadrangular com reentrâncias

Ensaio	a)	b)	c)	d)	e)
Quadrantes	OK!	?	?	OK!	OK!
Sobreposição					
String Matching	OK!	?	?	?	?
Transições	OK!	OK!	?	OK!	?
Contorno					
Regressão					

Neste caso são testados apenas três algoritmos. O algoritmo dos quadrantes é aquele que apresenta os melhores resultados, sendo o único que identifica positivamente a forma em data driven. O mesmo acontece para o algoritmo transições desta feita, na presença de uma falha de um sensor. O algoritmo string matching continua a apresentar resultados desanimadores.

4.4.2. Caso 5 – Identificação da correcta orientação de uma peça rectangular

Tabela 4.7. Ensaios simulados - Caso 5 peça rectangular

Ensaio	a)	b)	c)	d)	e)
Quadrantes	OK!	OK!	KO!	KO!	?
Sobreposição	OK!	OK!	KO!	KO!	KO!
String Matching					
Transições	OK!		KO!	KO!	KO!
Contorno					
Regressão					

Avaliando os algoritmos pelos modelos de ruído introduzidos verificamos que neste caso, o algoritmo que melhor identifica a forma é o algoritmo quadrantes. O algoritmo sobreposição parece muito sensível a ruído que possa surgir em zonas externas à peça, por seu turno o algoritmo transições demonstra uma fragilidade no facto de parecer não “suportar” a falha de um sensor.

4.4.3. Caso 6 – Identificação da correcta orientação de dois orifícios de uma peça quadrangular

Tabela 4.8. Ensaios simulados - Caso 6 peça quadrangular com dois orifícios

Ensaio	a)	b)	c)	d)	e)
Quadrantes	OK!	OK!	KO!	KO!	KO!
Sobreposição					
String Matching	OK!	?	?	?	?
Transições	OK!				
Contorno		KO!	KO!	KO!	KO!
Regressão					

Avaliando os algoritmos pelos modelos de ruído introduzidos verifica-se que o algoritmo que mais vezes identifica a forma pretendida é o “quadrantes”. Nenhum dos algoritmos consegue detectar a forma correcta quando adquirida por data driven. Já o algoritmo transições “mente” quando ocorre uma falha dum sensor numa posição coincidente com um dos orifícios.

4.4.4. Caso 7 – Identificação da correcta orientação de três orifícios de uma peça quadrangular

Tabela 4.9. Ensaios simulados - Caso 7 peça quadrangular com três orifícios

Ensaio	a)	b)	c)	d)	e)
Quadrantes	OK!	OK!	KO!	OK!	OK!
Sobreposição					
String Matching	OK!	?	?	?	?
Transições	OK!	?		OK!	
Contorno			KO!		KO!
Regressão					

Para os ensaios realizados com diferentes modelos de ruído verifica-se que o algoritmo “quadrantes” continua a ser aquele que melhor identifica a forma. O algoritmos string matching apresenta mais uma vez resultados muito desanimadores, assim como os resultados do algoritmo transições, neste caso demonstram ser sensíveis a falha de sensores na zona central.

4.4.5. Caso 8 – Orientação possível de uma marca triangular

Tabela 4.10. Ensaios simulados - Caso 8 orientação de marca triangular

Ensaio					
Quadrantes					
Transições					

De uma forma geral, ambos os algoritmos são capazes de detectar a orientação da forma, contudo reagem de forma diferente na zona de incerteza: o primeiro aquando da falta de exclusividade não activa nenhuma resposta, o segundo activa todas – mas ambos os comportamentos denotam incerteza.

4.4.6. Caso 9 – Orientação possível de uma marca quadrangular

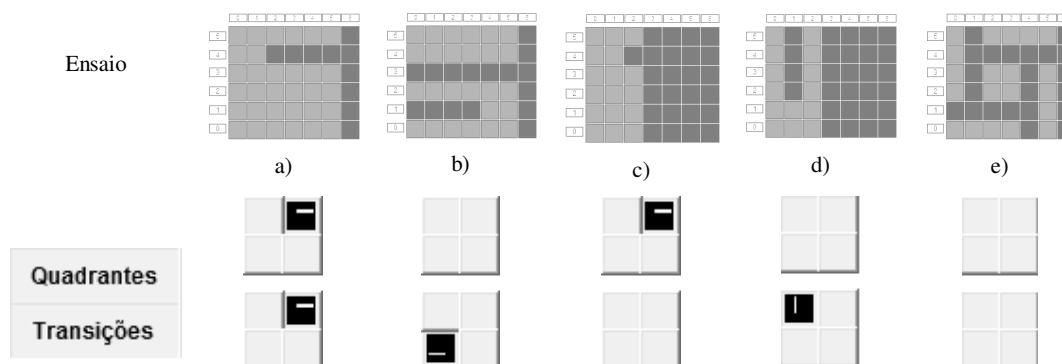
Tabela 4.11. Ensaios simulados - Caso 9 orientação de marca quadrangular

Ensaio					
	a)	b)	c)	d)	e)
Quadrantes					
Transições					

Pelos modelos de ruído introduzidos verifica-se que o algoritmo que mais vezes identifica a forma pretendida é o “quadrantes”. Ambos reagem da mesma forma em caso de incerteza, não activando nenhuma resposta. Nenhum consegue identificar a correcta orientação na presença de apenas metade da peça em c.

4.4.7. Caso 10 – Orientação possível de uma marca quadrangular

Tabela 4.12. Ensaios simulados - Caso 10 orientação de marca rectangular



Pelos modelos de ruído introduzidos verifica-se que ambos os algoritmos identificam a forma pretendida o mesmo número de vezes, sendo que o “transições” consegue detectar a forma mesmo na presença de uma falha de um sensor (ver ensaio b), ou contrário do quadrantes, que por seu lado consegue identificar a forma na presença de apenas meia peça (ver ensaio c). Ambos reagem da mesma forma em caso de incerteza, não activando nenhuma resposta.

4.5. Conclusões e necessidades adicionais de investigação

No início deste capítulo, após um breve enquadramento das razões que levaram ao desenvolvimento de uma plataforma de simulação, bem como à escolha do software a utilizar, foi feita uma apresentação das diversas funcionalidades da plataforma/ferramenta assim como da interface de apresentação de resultados. A Plataforma mostrou ser uma ferramenta amigável, de grande utilidade para a manipulação e apoio à compreensão dos diferentes padrões. A sua semelhança ao software de programação do PLC também se mostrou muito vantajoso.

Os algoritmos desenvolvidos, tendo por base as metodologias estruturais, tiveram por objectivo: identificar formas ou orientações de determinado objecto. Para cada um dos cenários estabelecidos, critérios especificamente criados para o efeito, procuraram responder de forma o mais robusta possível aos modelos de ruído simulados, dado nada se saber do ruído real introduzido aquando o processo de aquisição de dados e devidos a diferentes acabamentos superficiais. A principal dificuldade esteve directamente relacionada com a necessidade de formalização dos métodos estruturais, necessária ao desenvolvimento dos algoritmos, por ser

algo complexo. Com mais tempo seria possível desenvolver algoritmo mais refinados e inter-relacionados, misturando as melhores características dos diferentes métodos.

Dos resultados obtidos das Tabelas 4.3 – 4.12 pode concluir-se que o algoritmo “sobreposição” é aquele que melhor desempenho apresenta no caso da identificação dos casos 1 e 2, já nos casos 3, 4, 5, 6 e 7 o que melhor identifica a forma pretendida é o algoritmo “quadrantes”. Aquele que de uma forma geral piores resultados obtém é o “string matching”. Pelo que, de entre todos os algoritmos analisados, suscita particular interesse o aprofundamento do estudo (experimental) destes que parecem obter os melhores resultados, nomeadamente: o “quadrantes” e o “sobreposição”, baseados nas regiões, mas também, por outro lado, e baseada nas primitivas: o “transições”. Será também interessante procurar-se investigar-se aquele que de longe obteve os piores resultados durante a simulação: o “string matching”, que, apesar de aparentemente mau, poder vir a funcionar muito bem em determinadas condições de ruído.

Pode concluir-se assim que a simulação foi muito importante para a compreensão do padrão, não sendo contudo por si só suficiente, dado o desconhecimento das condições reais de funcionamento e as contingências (“imprevisibilidades”) assim introduzidas.

5. Investigação experimental

A experimentação tem um valor fundamental na aplicação a um sistema real. A implementação e análise experimental dos algoritmos desenvolvidos permitem um feedback importante para o ajuste dos parâmetros dos mesmos. Permite ganhar a noção exacta da influência que o sistema sofre devido à aquisição de sinal e às diferentes superfícies reflectoras.

5.1. Objectivos e cenários de interesse

A Investigação experimental é o processo que engloba a implementação dos algoritmos desenvolvidos no modelo real. O objectivo principal é testar a robustez dos algoritmos e seu comportamento na presença dos modelos de ruído reais, introduzidos pelas diferentes superfícies reflectoras testadas mas também pela qualidade” do sistema de aquisição de dados. Paralelamente, a investigação experimental permite o domínio do uso do software de programação do PLC's e da HMI,

5.2. Suporte tecnológico

O sistema responsável pela aquisição de sinal, é composto por 6 sensores fotoeléctricos do tipo reflectivo (Long Distance Reflective Switch, OPB732) (Figura 2.2.) pré-montados na vertical, central e perpendicularmente ao tapete de transporte da peça, ver Lopes, Alcino e Ribeiro, Fernando, (2009):

- A alimentação dos sensores é feita em série o que permite identificar se um dos sensores avariou ou está apenas desligado. A alimentação dos sensores é comum à alimentação do PLC.

- A distância entre cada sensor é de aproximadamente 1 cm, sendo que o primeiro sensor dista aproximadamente 2,5 cm do plano de movimentação do tapete.
- Os sensores foram numerados de forma a que ao sensor mais próximo do tapete correspondesse o menor índice.
- Foi necessário proceder a uma estruturação da aplicação de modo a que a face reflectora da peça passe sempre na perpendicular e a uma distância constante da coluna de sensores.

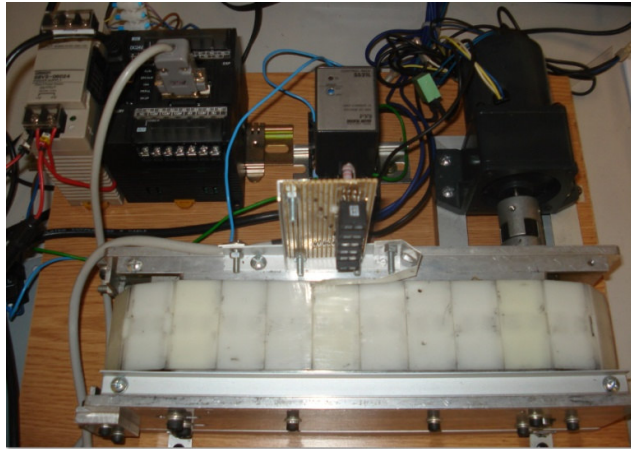


Figura 5.1. Imagem de conjunto do equipamento utilizado

O tapete é accionado por um motor AC 100 V e um variador de velocidade (Figura 1). A ligação motor-tapete é feita através de um redutor e um acoplamento elástico. A energia que alimenta o motor provem de uma fonte AC de 100V. Um selector bi-estável liga/desliga o motor, esse selector tem ainda associado um contacto normalmente aberto ligado a uma entrada do PLC. Como o accionamento do motor funciona em lógica inversa, quando o motor estiver ligado, a entrada associada no PLC estará desligada e vice-versa.

O PLC utilizado é o CP1L da OMRON (Figura 5.2. a)). Este PLC requer alimentação a 24V DC que provém de uma fonte S8VS-06024 também da OMRON. O PLC está dotado de 8 entradas e 6 saídas todas a 24V.

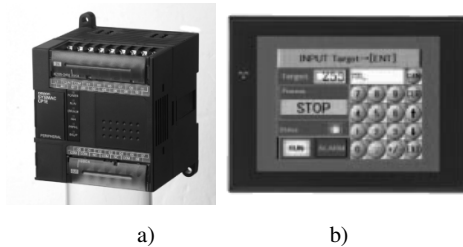


Figura 5.2. Equipamentos utilizados: a) PLC CP1L, b) HMI NS5-MQ00B-V2

O PLC está ligado a uma unidade HMI NS5-MQ00B-V2 da OMRON (Figura 5.2. b)). Essa ligação é feita em série através de um cabo com ficha de 9 pinos utilizando um protocolo proprietário da OMRON. Nesta ligação a HMI assume o papel de Master e o PLC é o Slave.

Tanto o PLC com a HMI podem ser programados por um computador que comunica com estas através de portas USB.

O software utilizado é o CX-Programmer. Este Software, para o caso do PLC CPIL apenas permite desenvolver programas em ladder, contudo possui uma funcionalidade, a Function Block, que torna possível a escrita de “rotinas” em linguagem de texto. Esta funcionalidade permite transpor os programas desenvolvidos na plataforma de simulação recorrendo a apenas pequenas alterações como substituir as variáveis globais por variáveis internas alocadas a determinada posição de memória ou a forma de se chamarem subrotinas entre outros pormenores. Como principal limitação, tem o facto de ser um método bastante mais ineficiente pelo que rapidamente ocupa a memória do PLC, não sendo por isso possível ter todos os programas a correr em simultâneo. A alternativa é converte-los para linguagem ladder.

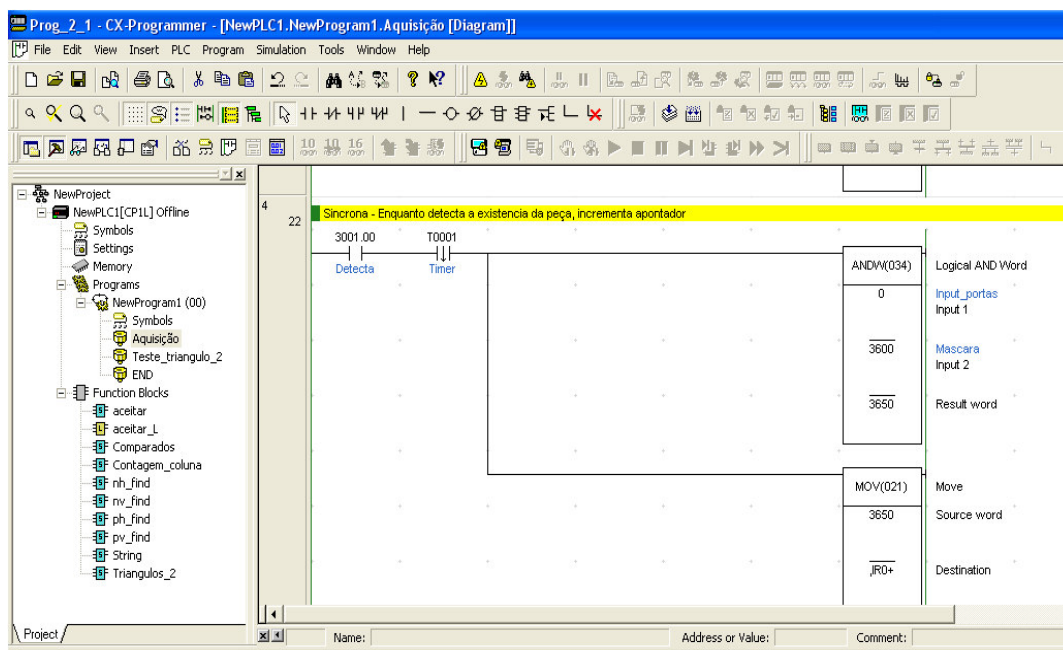


Figura 5.3. Ambiente de trabalho do programa CX-Programmer

O software de programação da HMI, o CX-Designer, também é bastante amigável – ver figura 5.4.

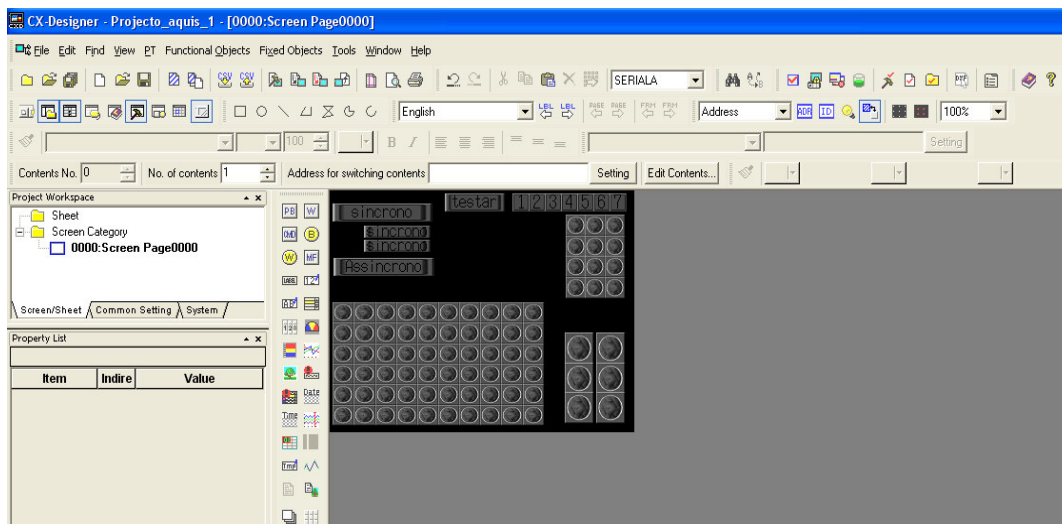


Figura 5.4. Ambiente de trabalho do programa CX-Designer

5.3. Cenários experimentados

Serão submetidos à experimentação os mesmos casos definidos para a simulação presentes na Tabela 4.1. Enumeração dos casos simulados para a identificação de formas segundo os critérios “ok” e “ko” definidos, e da Tabela 4.2. Enumeração dos casos de orientação simulados. Já os algoritmos implementados serão aqueles que no capítulo 4 se entendeu que seriam mais interessantes, nomeadamente: sobreposição, transições, string matching e quadrantes.

A aquisição de dados será efectuada em Time Driven (com a possibilidade de seleccionar duas frequências de aquisição diferentes, que seleccionadas adequadamente permitam captar o tamanho real da peça) e em Data Driven. Serão ainda testadas duas superfícies: uma de referência – superfície espelhada teoricamente perfeita, e uma segunda superfície prateada. Ambas podem ser vistas na figura 5.

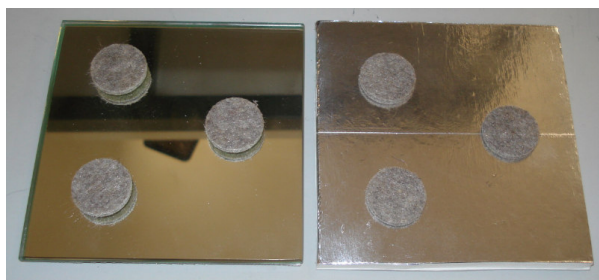


Figura 5.5. Superfícies reflectoras: a) superfície espelhada, b) superfície revestida com filme de prata

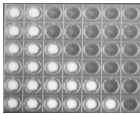
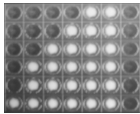
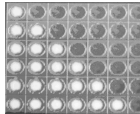
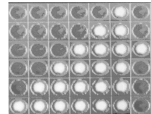
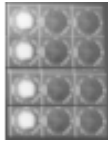
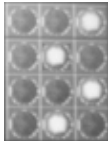
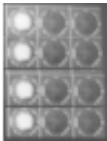
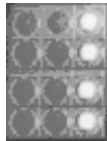
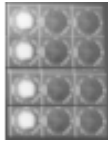
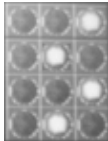
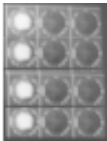
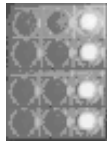
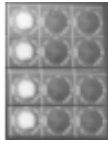
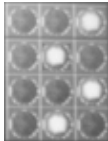
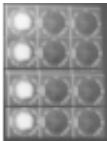
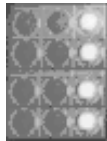
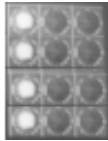
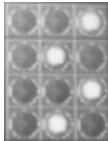
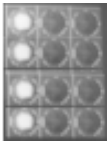
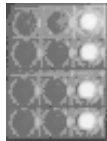
Como estrutura de suporte foram utilizados blocos de madeira pré existentes, aos quais foram acopladas as diferentes superfícies reflectoras (Figura 5.5.). Para simular os furos nas peças foram utilizados pedaços autocolantes de velcro cinzento. Este material é de fácil implementação e a sua cor não é detectada pelos sensores.

5.4. Resumo dos resultados obtidos

Nesta secção são apresentados os resultados dos ensaios realizados para os diferentes casos. Permite comparar os dados da aquisição com os resultados dos algoritmos. As duas colunas da esquerda dizem respeito a imagens obtidas por Time Driven, as duas da direita são obtidas por Data Driven. A primeira e terceira colunas dizem respeito a ensaios realizados com a superfície espelhada, as restantes.

5.4.1. Caso 1 – Identificação da correcta orientação de uma peça triangular

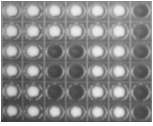
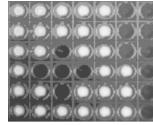
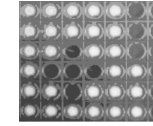
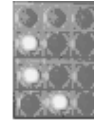
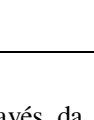
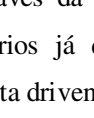
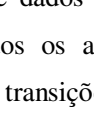
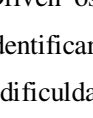
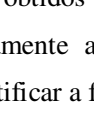
Tabela 5.1. Ensaio experimental - Caso 1 peça triangular

Ensaio				
	(70% dos casos)	(90% dos casos)	(100% dos casos)	(100% dos casos)
Quadrantes				
Sobreposição				
String Matching				
Transições				

Neste caso pode-se constatar que tanto os resultados obtidos por experimentação se aproximam dos da simulação, uma vez que também o ruído que surge na experimentação é semelhante ao modelo de ruído simulado. Apesar destes bons resultados os algoritmos que seguem a técnica quadrante e sobreposições apresentam resultados mais fiáveis principalmente na peça com a forma de rejeição.

5.4.2. Caso 2 – Identificação da correcta orientação de um orifício de uma peça quadrangular

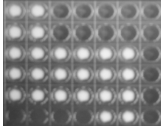
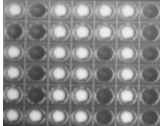
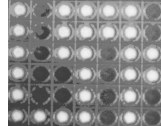
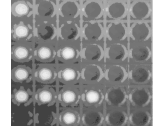
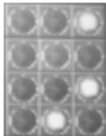
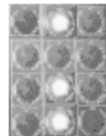
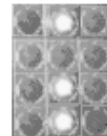
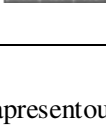
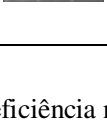
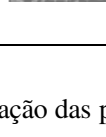
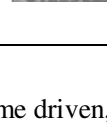
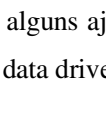
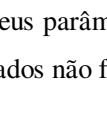
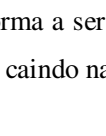
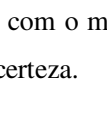
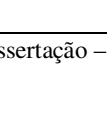
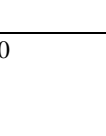
Tabela 5.2. Ensaio experimental - Caso 2 peça quadrangular com um orifício

Ensaio				
	(100% dos casos)	(70% dos casos)	(50% dos casos)	(60% dos casos)
Quadrantes				
Sobreposição				
String Matching				
Transições				

O caso 2 através da aquisição de dados por Time Driven os resultados obtidos foram bastante satisfatórios já que em todos os algoritmos identificaram positivamente a peça pretendida. Em data driven o algoritmo transições apresenta dificuldades em identificar a forma.

5.4.3. Caso 3 – Identificação da correcta orientação das reentrâncias de uma peça quadrangular

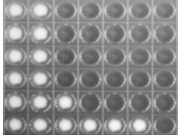
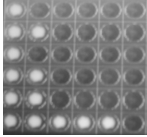
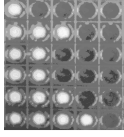
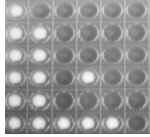
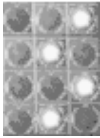
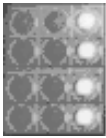
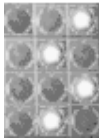
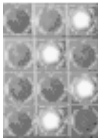
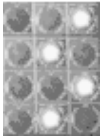
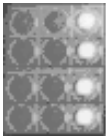
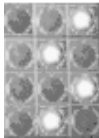
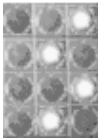
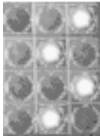
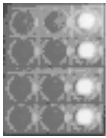
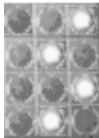
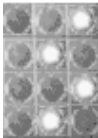
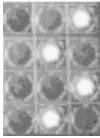
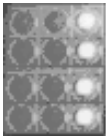
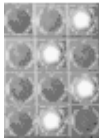
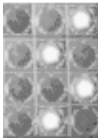
Tabela 5.3. Ensaio experimental - Caso 3 peça quadrado com reentrâncias

Ensaio				
	(100% dos casos)	(60% dos casos)	(40% dos casos)	(70% dos casos)
Quadrantes				
Sobreposição				
String Matching				
Transições				

O algoritmo apresentou uma boa eficiência na identificação das peças, em time driven, após ter sido realizado alguns ajustes nos seus parâmetros de forma a ser compatível com o modelo de ruído real. Em data driven os resultados não foram bons, caindo na zona de incerteza.

5.4.4. Caso 4 – Identificação da correcta orientação de um orifício numa peça triangular

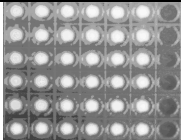
Tabela 5.4. Ensaio experimental - Caso 4 peça triangular com um orifício

Ensaio (superfície)				
	(60% dos casos)	(80% dos casos)	(100% dos casos)	(40% dos casos)
Quadrantes				
Sobreposição				
String Matching				
Transições				

O algoritmo que melhor resultados apresenta é o quadrantes. De uma forma generalista pode-se concluir que este algoritmo serve o propósito para qual foi concebido. Idealmente seria interessante ajustar os parâmetros no string matching e transições.

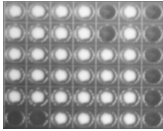
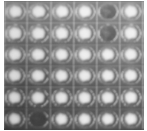
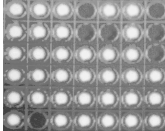
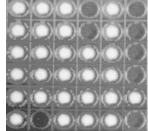
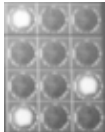
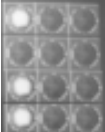
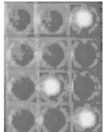
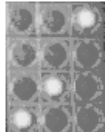
5.4.5. Caso 5 – Identificação da correcta orientação de uma peça rectangular

Tabela 5.5. Ensaio experimental - Caso 5 peça rectangular

Ensaio (superfície)	
	(100% dos casos)
Quadrantes	
Sobreposição	
String Matching	
Transições	

5.4.6. Caso 6 – Identificação da correcta orientação de dois orifícios de uma peça quadrangular

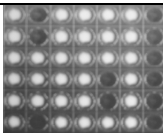
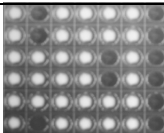
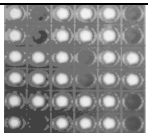
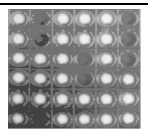
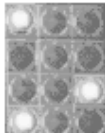
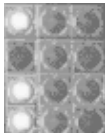
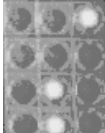
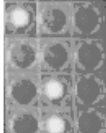
Tabela 5.6. Ensaio experimental - Caso 6 peça quadrangular com dois orifícios

Ensaio				
	(100% dos casos)	(70% dos casos)	(60% dos casos)	(60% dos casos)
Quadrantes				
Sobreposição				
String Matching				
Transições				

Neste algoritmo foi necessário proceder a uma alteração de um dos parâmetros. O facto de um dos orifícios encontrar-se na zona inferior da peça, zona sensível dado a sua relativa pequena dimensão e que adicionado e também o facto do primeiro sensor estar numa posição elevada, traduz na obtenção dum resultado diferente do esperado. Em data driven o algoritmo quadrantes funciona mal.

5.4.7. Caso 7 – Identificação da correcta orientação de três orifícios de uma peça quadrangular

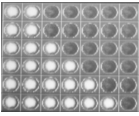
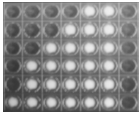
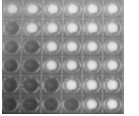
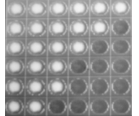
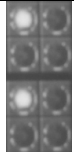
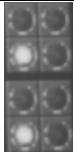
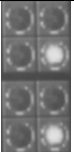
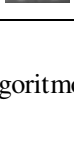
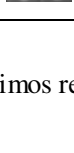
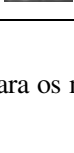
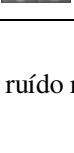
Tabela 5.7. Ensaio experimental - Caso 7 peça quadrangular com três orifícios

Ensaio				
	(100% dos casos)	(80% dos casos)	(50% dos casos)	(60% dos casos)
Quadrantes				
Sobreposição				
String Matching				
Transições				

Neste algoritmo também foi necessário proceder a uma alteração de um dos parâmetros pelos mesmos motivos apresentados para o caso 6. O algoritmo que melhor desempenho apresenta é o quadrantes. Os algoritmos transições e string matching funcionam particularmente mal no dados adquiridos por data driven.

5.4.8. Caso 8 – Orientação possível de uma marca triangular

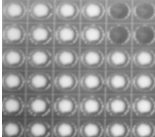
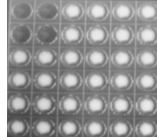
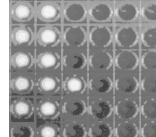
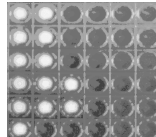
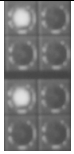
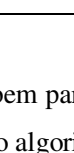
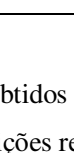
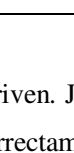
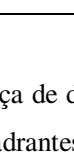
Tabela 5.8. Ensaio experimental - Caso 8 orientação de marca triangular

Ensaio				
	(70% dos casos)	(90% dos casos)	(80% dos casos)	(60% dos casos)
Quadrantes				
Transições				

Pode dizer-se que os algoritmo obtém óptimos resultados para os modelos de ruído reais obtidos.

5.4.9. Caso 9 – Orientação possível de uma marca quadrangular

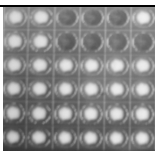
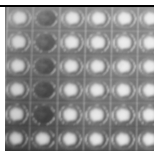
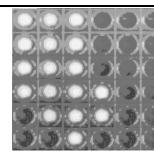
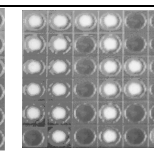
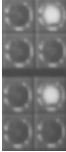
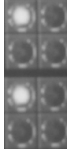
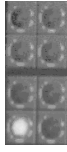
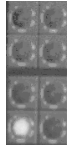
Tabela 5.9. Ensaio experimental - Caso 9 orientação de marca quadrangular

Ensaio				
	(100% dos casos)	(70% dos casos)	(60% dos casos)	(80% dos casos)
Quadrantes				
Transições				

Os algoritmos funcionam bem para dados obtidos em time driven. Já na presença de dados obtidos em data driven apenas o algoritmo transições responde correctamente. O quadrantes fica em zona de incerteza.

5.4.10. Caso 10 – Orientação possível de uma marca quadrangular

Tabela 5.10. Ensaio experimental - Caso 10 orientação de marca rectangular

Ensaio						
	(90% dos casos)	(80% dos casos)	(60% dos casos)	(70% dos casos)		
<table border="1"> <tr> <td data-bbox="310 548 483 604">Quadrantes</td> </tr> <tr> <td data-bbox="310 611 483 667">Transições</td> </tr> </table>	Quadrantes	Transições				
Quadrantes						
Transições						

Tal como no caso anterior, os algoritmos funcionam bem para dados obtidos em time driven. Já na presença de dados obtidos em data driven o algoritmo quadrantes fica em zona de incerteza e o transições responde correctamente em certos casos, mentindo nos restantes.

5.5. Conclusões

De uma forma geral pode se concluir que a parte experimental obteve bons resultados uma vez que os algoritmos foram capazes de identificar as formas pretendidas, assim como sinalizar a orientação de determinadas marcas na peça. Também se verificou que o ruído não interferiu de forma significativa nos resultados, apesar de ter obrigado a alguns ajustes e flexibilização nos parâmetros dos algoritmos. Um outro aspecto, mais estrutural, e que independente do acabamento superficial das peças ou do processo de aquisição, é o facto do primeiro sensor se encontra a uma cota elevada interferindo assim com a imagem captada.

Desta experimentação pode-se concluir-se que as superfícies utilizadas (superfície espelhada e filme de prata) não tiveram influência significativa nos dados adquiridos, pelo que poderá ser interessantes que em futuras investigações se testem outras superfícies reflectoras de “pior” qualidade.

Relativamente ao processo de aquisição de dados, pode concluir-se que o modo Time-driven foi relativamente bem conseguido. Já o módulo Data-driven carece de aperfeiçoamentos. Neste contexto será necessário também proceder-se ao estudo ainda mais aprofundado de algoritmos específicos para aquisição de dados em Data Driven.

6. Conclusões

O presente relatório teve como objectivo apresentar o estudo elaborado na dissertação - Investigação Experimental de Técnicas de Reconhecimento de Padrões em Sistemas Automáticos. Neste contexto são actualmente inúmeras as aplicações industriais que necessitam de sistemas de visão, muitas vezes integrados em sistemas de reconhecimento de padrões. Este facto deve-se à cada vez maior necessidade (competitiva) de dotarem as máquinas de comportamentos inteligentes, capazes de perceberem e agirem sobre o meio envolvente.

O sistema aqui desenvolvido teve por objectivo ser capaz de reconhecer determinadas formas simples e orientações de determinado objecto, através da aquisição/sensorização do mesmo por varrimento de um conjunto de sensores e em determinadas condições de funcionamento (requisitos de velocidade baixa e não variáveis). Os resultados obtidos são animadores e permitem afirmar que para certos casos pode evitar-se a utilização de outros meios mais sofisticados e necessariamente mais caros.

A imagem binária adquirida é armazenada em memória do PLC ficando aí disponível para ser submetida análise por intermédio de diversos algoritmos, desenvolvidos com base os métodos estruturais (aqueles que para a aplicação em concreto mostraram ser os mais adequados). Aqui a principal dificuldade prende-se com a correcta formalização dos algoritmos.

O desenvolvimento de uma plataforma de simulação em CoDeSys (SoftPLC) enquanto ferramenta para manipulação e teste dos dados, permitiu apoiar a compreensão dos diferentes padrões e estabelecer os critérios de identificação das formas. A sua semelhança com o software de programação do PLC também se mostrou muito vantajoso, pois permitiu transportar diversos programas apenas realizando pequenas alterações no código. Já a experimentação permitiu a verificação da validade dos resultados obtidos na simulação, dado que a simulação, por si só, seria insuficiente devido ao desconhecimento das condições reais de funcionamento. O ruído, proveniente das superfícies utilizadas (superfície espelhada e superfície de filme de prata) assim

como do processo de aquisição de dados, não interferiu de forma significativa nos resultados, apesar de ter obrigado a alguns ajustes e flexibilização nos parâmetros dos algoritmos.

De uma forma geral pode dizer-se que a parte experimental obteve bons resultados uma vez que os algoritmos foram capazes de identificar e sinalizar a orientação de determinadas formas. Poderá ser interessantes em futuras investigações se testarem outras superfícies reflectoras de “pior” qualidade, assim como estudar em maior pormenor a aquisição de dados em Data Driven.

Bibliografia

Aksoy, Selim (2008), *Structural and Syntactic Pattern Recognition*, Department of Computer Engineering Bilkent University

Braggins, (1996), *Machine Vision Systems* (http://homepages.inf.ed.ac.uk/rbf/CVonline/LOCAL_COPIES/ECVNET/Industrial.Vision.html)

CoDeSys (2010), Controller Development System, Consultado em Agosto de 2010, de <http://www.3s-software.com>.

Dempster, A., Laird, N., Rubin, D. (1977), *Maximum Likelihood from Incomplete Data via the E-M Algorithm*, Journal of the Royal Statistical Society, série B, 39, pp. 1-38

Duda, R.O., Hart, P.E. (1973), *Pattern Classification and Scene Analysis*, Wiley -Interscience, New York.

Dunn, Rosalie A. (2008), Celebrating 40 years of Pattern Recognition – Reflections. Editorial / Pattern Recognition 41 (2008) 2139 – 2144, Elsevier Science Inc..

Everson, R. M. e Fieldsend, J. E. (2006). Multi-class roc analysis from a multi-objective optimisation perspective. Pattern Recognition Letters, 27:918_927.

Friedman, Menahem e Kandel, Abraham (1999), *Introduction to Pattern Recognition: Statistical, Structural, Neural, and Fuzzy Logic Approaches*. World Scientific, Singapore,

Fukunaga, K. (1990), *Introduction to Statistical Pattern Recognition*, Academic Press

Fukunaga, K. (1993), *Statistical Pattern Recognition*, Handbook of Pattern Recognition & Computer Vision, World Scientific

Grivet, Marco (2002), Centro de Estudos em Telecomunicações CETUC-PUC/Rio, <http://www.lncc.br/~biologia/english/downloads/ReconhecimentoPadroes.pdf>

Haykin, S. (1999), "Neural Networks: A Comprehensive Foundation", 2nd edition, Prentice-Hall.

Howson, Colin e Urbach, Peter (1993). *Scientific Reasoning: The Bayesian Approach*. Open Court. [ISBN 9780812692341](https://www.isbn-international.org/view/title/9780812692341).

Hugh Jack, (2007), *Automating Manufacturing Systems with PLCs*, Version 5.0, May 4, - <http://claymore.engineer.gvsu.edu/~jackh/books.html>

International Electrotechnical Commission (IEC). (2007). IEC 61131 Standard, *Part 3 Textual Languages (IEC 61131-3)*.

Lipschutz, Seymour e Lipson, Marc Lars (2007), *Schaum's Outline of Discrete Mathematics, Theory and Problems of Discrete Mathematics*, third edition, McGRAW-HILL.

Lopes, Alcino e Ribeiro, Fernando, (2009), Trabalho prático de Computação Industrial: *Sistema de identificação da orientação de peças*

Lotfi A. Zadeh, (1965), Fuzzy sets, *Inf. Control* 8, 338-353

Mardia, K., Kent, J., Bibby, J. (1979), *Multivariate Analysis*, Academic Press

Marques de Sá, J. P. (2000), Reconhecimento de Padrões, <http://paginas.fe.up.pt/~jmsa/recpad/index.htm>

Marques de Sá, Joaquim Pontes (2001), *Pattern recognition : concepts, methods and applications*, Berlin, Springer, cop.

Marques, J.S., (1999), *Reconhecimento de Padrões – métodos estatísticos e neuronais*, IST Press, pp.3-15

McQueen, J. (1967), *Some methods for Classification and Analysis of Multivariate Observations*, Proceedings of 5th Berkeley Symposium on Mathematics Statistics and Probabilities, vol. I, California University Press, pp. 281-286

Nadler, Morton e Smith, Eric P.. (1993), *Pattern Recognition Engineering*. Wiley, New York,

Olszewski, Robert T. (2001), *Generalized Feature Extraction for Structural Pattern Recognition in TimeSeries Data, (Doctoral dissertation)* (CMU-CS-01-108)

Pavlidis, Theo (2003), *Pattern Recognition Letters*, 36 years on the pattern recognition front; Lecture given at ICPR'2000 in Barcelona, Spain on the occasion of receiving the K.S. Fu prize, Elsevier Science Inc..

Rojas, R. (1996), *Neural Networks: a systematic introduction*, Springer-Verlag, Berlin

Teorema de Kleene. (2010). –Na Wikipédia. Consultado em Agosto de 2010, de http://pt.wikipedia.org/wiki/Stephen_Kleene

Manuais Técnicos da OMRON - PLC:

CP1L_Datasheet (P20E-EN-01)

CP1L_Operation_Manual (W462-E1-02)

CP1L_Programming_Manual (W451-E1-03)

Manuais técnicos da OMRON - HMI

V076-E1-02+NS+Tutorial_Manual

7. Anexos

Anexo 1

Programação da Plataforma de simulação

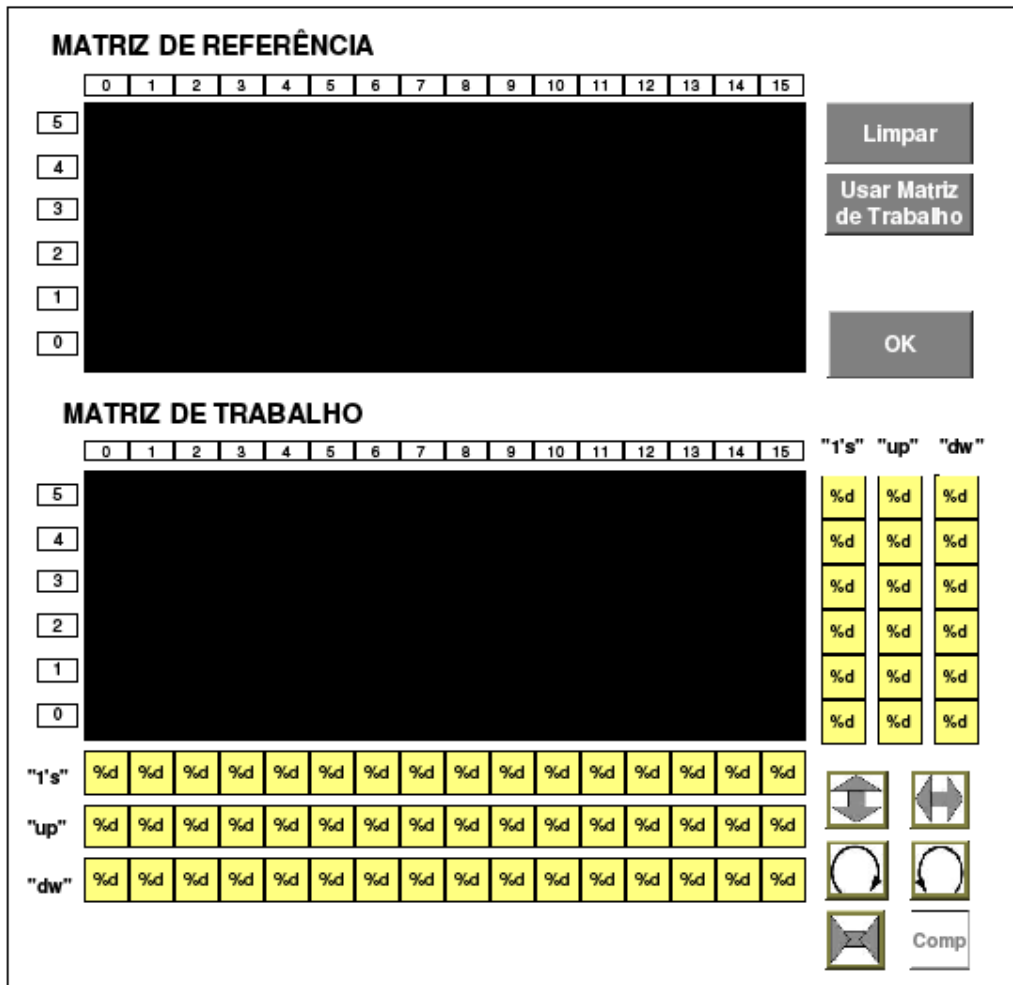


Figura A.1. HMI de simulação

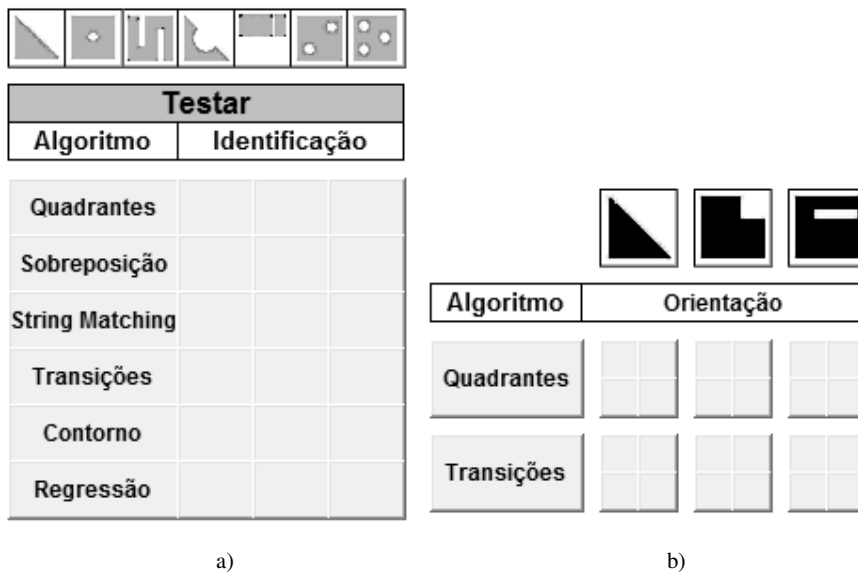


Figura A.2. a) resultados da identificação, b) resultados da orientação

0001	PROGRAM PLC_PRG
0002	
0003	VAR
0004	
0005	(* Estado dos botões na consola *)
0006	bt_limpar: BOOL; (* Estado do botão "Clear all" *)
0007	bt_ok: BOOL; (* Estado do botão "OK" *)
0008	bt_updw: BOOL; (* Estado do botão "Up down" *)
0009	bt_rglf: BOOL; (* Estado do botão "Right Left" *)
0010	bt_ck: BOOL; (* Estado do botão "CK" *)
0011	bt_ckk: BOOL; (* Estado do botão "CCK" *)
0012	bt_testar: BOOL; (* Estado do botão "Testar" *)
0013	bt_comparar: BOOL; (* Estado do botão "Comparar" *)
0014	bt_sqz: BOOL; (* Estado do botão "Squeezer" *)
0015	bt_novo: BOOL; (* Estado do botão "NOVO" *)
0016	
0017	(* Detecção da actuação dos botões da consola -> Transições "rising" ou "following"*)
0018	R_bt_limpar: R_TRIG; (* Função usada na deteção da actuação do botão "Clear all" *)
0019	R_bt_ok: R_TRIG; (* Função usada na deteção da actuação do botão "OK" *)
0020	R_bt_updw: R_TRIG; (* Função usada na deteção da actuação do botão "Up down" *)
0021	R_bt_rglf: R_TRIG; (* Função usada na deteção da actuação do botão "Right Left" *)
0022	R_bt_ck: R_TRIG; (* Função usada na deteção da actuação do botão "CK" *)
0023	R_bt_ckk: R_TRIG; (* Função usada na deteção da actuação do botão "CCK" *)
0024	R_bt_testar: R_TRIG; (* Função usada na deteção da actuação do botão "Testa" *)
0025	R_bt_comparar: R_TRIG; (* Função usada na deteção da actuação do botão "Comparar" *)
0026	R_bt_sqz: R_TRIG; (* Função usada na deteção da actuação do botão "Squeeze" *)
0027	R_bt_novo: R_TRIG; (* Função usada na deteção da actuação do botão "NOVO" *)
0028	F_bt_comparar: F_TRIG; (* Função usada na deteção da libertação do botão "Comparar" *)
0029	F_bt_sqz: F_TRIG; (* Função usada na deteção da libertação do botão "Squeeze" *)
0030	
0031	(* Detecção da actuação dos botões da consola -> Transições "rising" ou "following" - selecção do caso a testar *)
0032	R_bt_caso1: R_TRIG; R_bt_caso2: R_TRIG; R_bt_caso3: R_TRIG; R_bt_caso4: R_TRIG; R_bt_caso5: R_TRIG;
0033	R_bt_caso6: R_TRIG; R_bt_caso7: R_TRIG; R_bt_caso8: R_TRIG; R_bt_caso9: R_TRIG; R_bt_caso10: R_TRIG;
0034	esconder_menus: BOOL; (* Limitar menus disponíveis *)
0035	colunas: INT; (* Valor temporario, para salvaguarda de "amostras_coluna" em "squeeze" e "comparar" *)
0036	linhas: INT; (* Valor temporario, para salvaguarda de "amostras_linha" em "squeeze" e "comparar" *)
0037	
0038	(* coisas provisórias - problemas de orientação*)
0039	OK: BOOL;
0040	tri: BOOL;
0041	qua: BOOL;
0042	ko: BOOL;
0043	
0044	(* variáveis auxiliares - para visualização dos resultados dos algoritmos - Critérios: "OKI", "KOI" e "??" respectivamente *)
0045	alg_1: BOOL; alg_1_ok: BOOL; alg_1_ko: BOOL; alg_1_d: BOOL;
0046	alg_2: BOOL; alg_2_ok: BOOL; alg_2_ko: BOOL; alg_2_d: BOOL;
0047	alg_3: BOOL; alg_3_ok: BOOL; alg_3_ko: BOOL; alg_3_d: BOOL;
0048	alg_4: BOOL; alg_4_ok: BOOL; alg_4_ko: BOOL; alg_4_d: BOOL;
0049	alg_5: BOOL; alg_5_ok: BOOL; alg_5_ko: BOOL; alg_5_d: BOOL;
0050	alg_6: BOOL; alg_6_ok: BOOL; alg_6_ko: BOOL; alg_6_d: BOOL;
0051	
0052	END_VAR
0001	
0002	(* Detecção da actuação dos botões da consola *)
0003	R_bt_limpar (clk := bt_limpar); (* Função de deteção da actuação do botão "Clear all" *)
0004	R_bt_ok (clk := bt_ok); (* Função de deteção da actuação do botão "OK" *)
0005	R_bt_updw (clk := bt_updw); (* Função de deteção da actuação do botão "Up down" *)
0006	R_bt_rglf (clk := bt_rglf); (* Função de deteção da actuação do botão "Right Left" *)
0007	R_bt_ck (clk := bt_ck); (* Função de deteção da actuação do botão "CK" *)
0008	R_bt_ckk (clk := bt_ckk); (* Função de deteção da actuação do botão "CCK" *)
0009	R_bt_testar (clk := bt_testar); (* Função de deteção da actuação do botão "Contar «1s»" *)
0010	R_bt_comparar (clk := bt_comparar); (* Função de deteção da actuação do botão "Comparar" *)
0011	R_bt_sqz (clk := bt_sqz); (* Função de deteção da actuação do botão "Squeeze" *)
0012	R_bt_novo (clk := bt_novo); (* Função de deteção da actuação do botão "NOVO" *)

Figura A.3. Algoritmo geral do programa – parte 1

```

0013
0014 (*detecção da actuação dos botões da consola - de detecção do caso pretendido *)
0015   R_bt_caso1 (clk := bt_caso1); R_bt_caso2 (clk := bt_caso2); R_bt_caso3 (clk := bt_caso3); R_bt_caso4 (clk := bt_caso4);
0016   R_bt_caso5 (clk := bt_caso5); R_bt_caso6 (clk := bt_caso6); R_bt_caso7 (clk := bt_caso7); R_bt_caso8 (clk := bt_caso8);
0017   R_bt_caso9 (clk := bt_caso9); R_bt_caso10 (clk := bt_caso10);
0018
0019 (* Selecção exclusiva dos botões de escolha de caso da consola *)
0020   IF R_bt_caso1.Q THEN      (*actuação do botão "caso1"*)
0021     bt_caso2 := 0; bt_caso3 := 0; bt_caso4 := 0; bt_caso5 := 0; bt_caso6 := 0; bt_caso7 := 0; bt_caso8 := 0; bt_caso9 := 0; bt_caso10 := 0;
0022   END_IF
0023   IF R_bt_caso2.Q THEN      (*actuação do botão "caso2"*)
0024     bt_caso1 := 0; bt_caso3 := 0; bt_caso4 := 0; bt_caso5 := 0; bt_caso6 := 0; bt_caso7 := 0; bt_caso8 := 0; bt_caso9 := 0; bt_caso10 := 0;
0025   END_IF
0026   IF R_bt_caso3.Q THEN      (*actuação do botão "caso3"*)
0027     bt_caso1 := 0; bt_caso2 := 0; bt_caso4 := 0; bt_caso5 := 0; bt_caso6 := 0; bt_caso7 := 0; bt_caso8 := 0; bt_caso9 := 0; bt_caso10 := 0;
0028   END_IF
0029   IF R_bt_caso4.Q THEN      (*actuação do botão "caso4"*)
0030     bt_caso1 := 0; bt_caso2 := 0; bt_caso3 := 0; bt_caso5 := 0; bt_caso6 := 0; bt_caso7 := 0; bt_caso8 := 0; bt_caso9 := 0; bt_caso10 := 0;
0031   END_IF
0032   IF R_bt_caso5.Q THEN      (*actuação do botão "caso5"*)
0033     bt_caso1 := 0; bt_caso2 := 0; bt_caso3 := 0; bt_caso4 := 0; bt_caso6 := 0; bt_caso7 := 0; bt_caso8 := 0; bt_caso9 := 0; bt_caso10 := 0;
0034   END_IF
0035   IF R_bt_caso6.Q THEN      (*actuação do botão "caso6"*)
0036     bt_caso1 := 0; bt_caso2 := 0; bt_caso3 := 0; bt_caso4 := 0; bt_caso5 := 0; bt_caso7 := 0; bt_caso8 := 0; bt_caso9 := 0; bt_caso10 := 0;
0037   END_IF
0038   IF R_bt_caso7.Q THEN      (*actuação do botão "caso7"*)
0039     bt_caso1 := 0; bt_caso2 := 0; bt_caso3 := 0; bt_caso4 := 0; bt_caso5 := 0; bt_caso6 := 0; bt_caso8 := 0; bt_caso9 := 0; bt_caso10 := 0;
0040   END_IF
0041   IF R_bt_caso8.Q THEN      (*actuação do botão "caso7"*)
0042     bt_caso1 := 0; bt_caso2 := 0; bt_caso3 := 0; bt_caso4 := 0; bt_caso5 := 0; bt_caso6 := 0; bt_caso7 := 0; bt_caso9 := 0; bt_caso10 := 0;
0043   END_IF
0044   IF R_bt_caso9.Q THEN      (*actuação do botão "caso7"*)
0045     bt_caso1 := 0; bt_caso2 := 0; bt_caso3 := 0; bt_caso4 := 0; bt_caso5 := 0; bt_caso6 := 0; bt_caso7 := 0; bt_caso8 := 0; bt_caso10 := 0;
0046   END_IF
0047   IF R_bt_caso10.Q THEN     (*actuação do botão "caso7"*)
0048     bt_caso1 := 0; bt_caso2 := 0; bt_caso3 := 0; bt_caso4 := 0; bt_caso5 := 0; bt_caso6 := 0; bt_caso7 := 0; bt_caso8 := 0; bt_caso9 := 0;
0049   END_IF
0050
0051 (* Define se deve haver ou não menus escondidos na consola *)
0052   esconder_menus := bt_comparar OR bt_sqz; (* Limita menus acessíveis quando "squeeze" ou "comparar" estão activos *)
0053
0054
0055 (* Resposta à actuação de botões *)
0056
0057 IF R_bt_limpar.Q THEN      (* Botão "Limpar" foi premido *)
0058   Limpar_Ref();           (* Padrão de referência inicializado com zeros *)
0059 END_IF
0060
0061 IF R_bt_ok.Q THEN          (* Botão "OK" foi premido *)
0062   bt_sqz := FALSE;        (* Força libertação dos botões "squeeze" e "Comparar" *)
0063   bt_comparar := FALSE;
0064   alg_1_aux := FALSE; alg_2_aux := FALSE; alg_3_aux := FALSE; alg_4_aux := FALSE; alg_5_aux := FALSE; alg_6_aux := FALSE;
0065   Aceitar();              (* Padrão de trabalho inicializado com o padrão de referência *)
0066   Contagem_total();       (* Actualiza a contagem de 1's para todas as linhas e colunas do padrão de trabalho *)
0067 END_IF
0068
0069 IF R_bt_novo.Q THEN        (* Botão "Usar Matriz de Trabalho" foi premido *)
0070   Novo();                  (* O padrão de trabalho é adoptado como referência *)
0071   Contagem_total();       (* Actualiza a contagem de 1's para todas as linhas e colunas do padrão de trabalho *)
0072   bt_sqz := FALSE;        (* Força libertação dos botões "squeeze" e "Comparar" *)
0073   bt_comparar := FALSE;
0074 END_IF
0075
0076 IF R_bt_rglf.Q THEN        (* Botão "Right Left" foi premido *)

```

Figura A.4. Algoritmo geral do programa – parte 2

```

0077 alg_1_aux := FALSE; algor_2_aux := FALSE; alg_3_aux := FALSE; alg_4_aux := FALSE; alg_5_aux := FALSE; alg_6_aux := FALSE;
0078 Flip_vertical(); (* Padrão de trabalho rodado segundo o eixo vertical *)
0079 Contagem_total(); (* Actualiza a contagem de 1's para todas as linhas e colunas do padrão de trabalho *)
0080 END_IF;
0081
0082 IF R_bt_updw.Q THEN (* Botão "Up down" foi premido *)
0083 alg_1_aux := FALSE; algor_2_aux := FALSE; alg_3_aux := FALSE; alg_4_aux := FALSE; alg_5_aux := FALSE; alg_6_aux := FALSE;
0084 Flip_horizontal(); (* Padrão de trabalho rodado segundo o eixo horizontal *)
0085 Contagem_total(); (* Actualiza a contagem de 1's para todas as linhas e colunas do padrão de trabalho *)
0086 END_IF;
0087
0088 IF R_bt_ck.Q THEN (* Botão "Ck" foi premido *)
0089 alg_1_aux := FALSE; algor_2_aux := FALSE; alg_3_aux := FALSE; alg_4_aux := FALSE; alg_5_aux := FALSE; alg_6_aux := FALSE;
0090 Roda_ck(); (* Padrão de trabalho rodado 90º no sentido horário *)
0091 Contagem_total(); (* Actualiza a contagem de 1's para todas as linhas e colunas do padrão de trabalho *)
0092 END_IF;
0093
0094 IF R_bt_cck.Q THEN (* Botão "Cck" foi premido *)
0095 alg_1_aux := FALSE; algor_2_aux := FALSE; alg_3_aux := FALSE; alg_4_aux := FALSE; alg_5_aux := FALSE; alg_6_aux := FALSE;
0096 Roda_cck(); (* Padrão de trabalho rodado 90º no sentido anti-horário *)
0097 Contagem_total(); (* Actualiza a contagem de 1's para todas as linhas e colunas do padrão de trabalho *)
0098 END_IF;
0099
0100 IF R_bt_comparar.Q THEN (* Botão "Comparar" foi premido *)
0101 Comparador(); (* Matriz de trabalho mostrar diferenças entre o padrão de referência e o de trabalho *)
0102 Contagem_total(); (* Actualiza a contagem de 1's para todas as linhas e colunas do padrão de trabalho *)
0103 END_IF;
0104
0105 IF R_bt_sqz.Q THEN (* Botão "Squeeze" foi premido *)
0106 colunas := amostras_coluna; (* Guarda número de amostras em colunas, para posterior reposição *)
0107 linhas := amostras_linha; (* Guarda número de amostras em linhas, para posterior reposição *)
0108 squeeze(); (* Constroi padrão assíncrono -> padrão de trabalho fico no padrão temporário *)
0109 Contagem_total(); (* Actualiza a contagem de 1's para todas as linhas e colunas do padrão de trabalho *)
0110 END_IF;
0111
0112 (* Resposta à reposição dos botões "Comparar" e "Squeeze" *)
0113 F_bt_comparar (clk := bt_comparar); (* Função de detecção da actuação do botão "Comparar" *)
0114 F_bt_sqz (clk := bt_sqz); (* Função de detecção da actuação do botão "Squeeze" *)
0115
0116 IF F_bt_comparar.Q AND NOT R_bt_novo.Q THEN (* Botão "Comparar" volta a zero (não forçado) *)
0117 repor(); (* Padrão de trabalho é reposto *)
0118 Contagem_total();
0119 END_IF;
0120
0121 IF F_bt_sqz.Q AND NOT R_bt_novo.Q THEN (* Botão "Squeezer" volta a zero (não forçado) *)
0122 repor(); (* Padrão de trabalho é reposto *)
0123 Contagem_total(); (* Actualiza a contagem de 1's para todas as linhas e colunas do padrão de trabalho *)
0124 amostras_coluna := colunas; (* Repõe número de amostras em colunas *)
0125 amostras_linha := linhas; (* Repõe número de amostras em linhas *)
0126 END_IF;
0127
0128 (* ----- Execução do teste ----- *)
0129
0130 IF R_bt_testar.Q THEN (* Botão "Testar" foi premido *)
0131
0132 (* ----- Testar algoritmos de identificação ----- *)
0133
0134 (* Algoritmo 1 - Quadrantes *)
0135 IF bt_caso1 OR bt_caso3 OR bt_caso5 OR bt_caso6 THEN (* casos em que o algoritmo é aplicável *)
0136 alg_1 := INT_TO_BOOL (Quadrantes());
0137 END_IF;
0138 IF bt_caso4 OR bt_caso7 THEN
0139 alg_1 := INT_TO_BOOL (sextante());
0140 END_IF;

```

Figura A.5. Algoritmo geral do programa – parte 3

```

0141 IF alg_1 THEN
0142   alg_1_ok := TRUE; alg_1_ko := FALSE; alg_1_d :=FALSE;
0143 ELSE
0144   alg_1_ok := FALSE; alg_1_ko := TRUE; alg_1_d :=FALSE;
0145   IF alg_1_aux THEN
0146     alg_1_ko := FALSE; alg_1_d :=TRUE;
0147   END_IF
0148 END_IF
0149
0150 IF bt_caso2 OR bt_caso8 OR bt_caso9 OR bt_caso10 THEN           (* casos em que o algoritmo não é aplicável*)
0151   alg_1_ok := FALSE; alg_1_ko := FALSE; alg_1_d := FALSE;
0152 END_IF
0153
0154 (* Algoritmo 2 - Regiões Comparadas*)
0155 IF bt_caso1 OR bt_caso2 OR bt_caso4 OR bt_caso5 THEN           (* casos em que o algoritmo é aplicável*)
0156   alg_2 := INT_TO_BOOL (Comparados());
0157   IF alg_2 THEN
0158     alg_2_ok := TRUE; alg_2_ko := FALSE; alg_2_d :=FALSE;
0159   ELSE
0160     alg_2_ok := FALSE; alg_2_ko := TRUE; alg_2_d :=FALSE;
0161   END_IF
0162   IF alg_2_aux THEN
0163     alg_2_ok := FALSE; alg_2_ko := FALSE; alg_2_d :=TRUE;
0164   END_IF
0165 ELSE
0166   IF bt_caso3 OR bt_caso6 OR bt_caso7 OR bt_caso8 OR bt_caso9 OR bt_caso10 THEN(*casos em que o algoritmo não é aplicável*)
0167     alg_2_ok := FALSE; alg_2_ko := FALSE; alg_2_d := FALSE;
0168   END_IF
0169 END_IF
0170
0171 (* Algoritmo 3 - String Matching *)
0172 IF bt_caso1 OR bt_caso2 OR bt_caso3 OR bt_caso4 OR bt_caso6 OR bt_caso7 THEN
0173   alg_3 := INT_TO_BOOL (string_matching());
0174   IF alg_3 THEN
0175     alg_3_ok := TRUE; alg_3_ko := FALSE; alg_3_d :=FALSE;
0176   ELSE
0177     alg_3_ok := FALSE; alg_3_ko := TRUE; alg_3_d :=FALSE;
0178     IF alg_3_aux THEN
0179       alg_3_ko := FALSE; alg_3_d :=TRUE;
0180     END_IF
0181   END_IF
0182 ELSE
0183   IF bt_caso5 OR bt_caso8 OR bt_caso9 OR bt_caso10 THEN           (* casos em que o algoritmo não é aplicável*)
0184     alg_3_ok := FALSE; alg_3_ko := FALSE; alg_3_d := FALSE;
0185   END_IF
0186 END_IF
0187
0188 (* Algoritmo 4 - Transições *)
0189 IF bt_caso1 OR bt_caso2 OR bt_caso3 OR bt_caso4 OR bt_caso5 OR bt_caso6 OR bt_caso7 THEN
0190   alg_4 := INT_TO_BOOL (triangulos_2());
0191   IF alg_4 THEN
0192     alg_4_ok := TRUE; alg_4_ko := FALSE; alg_4_d :=FALSE;
0193   ELSE
0194     alg_4_ok := FALSE; alg_4_ko := TRUE; alg_4_d :=FALSE;
0195     IF alg_4_aux THEN
0196       alg_4_ko := FALSE; alg_4_d :=TRUE;
0197     END_IF
0198   END_IF
0199 ELSE
0200   IF bt_caso8 OR bt_caso9 OR bt_caso10 THEN
0201     alg_4_ok := FALSE; alg_4_ko := FALSE; alg_4_d := FALSE;
0202   END_IF
0203 END_IF
0204

```

Figura A.6. Algoritmo geral do programa – parte 4

```

0205 (* Algoritmo 5 - Contorno Integral *)
0206
0207 IF bt_caso1 THEN
0208   alg_5 := INT_TO_BOOL (triangulo_contorno());
0209   IF alg_5 THEN
0210     alg_5_ok := TRUE; alg_5_ko := FALSE; alg_5_d :=FALSE;
0211   ELSE
0212     alg_5_ok := FALSE; alg_5_ko := TRUE; alg_5_d :=FALSE;
0213     IF alg_5_aux THEN
0214       alg_5_ko := FALSE; alg_5_d :=TRUE;
0215     END_IF
0216   END_IF
0217 ELSE
0218   IF bt_caso2 OR bt_caso3 OR bt_caso4 OR bt_caso5 OR bt_caso6 OR bt_caso7 OR bt_caso8 OR bt_caso9 OR bt_caso10 THEN
0219     alg_5_ok := FALSE; alg_5_ko := FALSE; alg_5_d := FALSE;
0220   END_IF
0221 END_IF
0222
0223 (* Algoritmo 6 - Regressão *)
0224 IF bt_caso1 OR bt_caso2 THEN
0225   alg_6 := INT_TO_BOOL (Regressao());
0226   IF alg_6 THEN
0227     alg_6_ok := TRUE; alg_6_ko := FALSE; alg_6_d :=FALSE;
0228   ELSE
0229     alg_6_ok := FALSE; alg_6_ko := TRUE; alg_6_d :=FALSE;
0230     IF alg_6_aux THEN
0231       alg_6_ko := FALSE; alg_6_d :=TRUE;
0232     END_IF
0233   END_IF
0234 ELSE
0235   IF bt_caso3 OR bt_caso4 OR bt_caso5 OR bt_caso6 OR bt_caso7 OR bt_caso8 OR bt_caso9 OR bt_caso10 THEN
0236     alg_6_ok := FALSE; alg_6_ko := FALSE; alg_6_d := FALSE;
0237   END_IF
0238 END_IF
0239
0240 IF bt_caso8 OR bt_caso9 OR bt_caso10 THEN
0241   Quadrantes();
0242   triangulos_2_orientacao();
0243   alg_1_ok := FALSE; alg_1_ko := FALSE; alg_1_d := FALSE;
0244   alg_4_ok := FALSE; alg_4_ko := FALSE; alg_4_d := FALSE;
0245 END_IF
0246
0247 END_IF

```

Figura A.7 Algoritmo geral do programa – parte 5

```

0001 VAR_GLOBAL CONSTANT
0002 (* Constante: qualquer padrão tem no máximo 6 linhas (numeradas de 0 a 5) que é o numero de sensores *)
0003     maximo_linhas : INT := 5;
0004 (* Constante: qualquer padrão tem no máximo 16 colunas (numeradas de 0 a 15) *)
0005     maximo_colunas : INT := 15;
0006 END_VAR
0007
0008 VAR_GLOBAL
0009
0010 (* Matrizes para representação de padrões *)
0011 (* Cada matriz é composta por 16, numerados de 0 a 15. Cada registo denota uma coluna.
0012 As colunas estão organizadas da esquerda para direita. Cada registo contém 16 bits, numerados de 0 a 15.
0013 Cada bit represeta uma linhas. As linhas estão organizadas de baixo para cima. *)
0014
0015 (* NOTA IMPORTANTE: uma vez que só há 6 sensores, todas as linhas acima da 5 estão
0016 necessariamente a zero no padrão de referência *)
0017
0018     Matriz_a: ARRAY [0..maximo_colunas] OF WORD; (* Matriz de desenho (que serve de referência) *)
0019     Matriz_b: ARRAY [0..maximo_colunas] OF WORD; (* Matriz de trabalho *)
0020     Matriz_c: ARRAY [0..maximo_colunas] OF WORD; (* Matriz temporária para dados intemédios *)
0021
0022 (* Contadores de "1's" nas linhas e colunas da matriz de trabalho *)
0023
0024     Conta_coluna : ARRAY [0..maximo_colunas] OF INT;
0025     Conta_up_coluna : ARRAY [0..maximo_colunas] OF INT;
0026     Conta_dw_coluna : ARRAY [0..maximo_colunas] OF INT;
0027
0028     Conta_linha : ARRAY [0..maximo_linhas] OF INT;
0029     Conta_up_linha : ARRAY [0..maximo_linhas] OF INT;
0030     Conta_dw_linha : ARRAY [0..maximo_linhas] OF INT;
0031
0032     Amostras_coluna: INT; (* Inidica por quantas colunas é composto o padrão de referência *)
0033     Amostras_linha : INT; (* Inidica por quantas linhas é composto o padrão de referência *)
0034     Horizontal : BOOL; (* Flag que indica se a peça esta a ser representada na horizontal ou vertical na matriz de tabalho *)
0035
0036 (* Outras *)
0037
0038 (* Orientação - quadrantes do caso dos triagulos*)
0039     sd_tri: BOOL; se_tri: BOOL; id_tri: BOOL; ie_tri: BOOL;
0040 (* Orientação - quadrantes do caso dos quadrados*)
0041     sd_quad: BOOL; se_quad: BOOL; id_quad: BOOL; ie_quad: BOOL;
0042 (* Orientação - quadrantes do caso dos triagulos_2*)
0043     sd_tri_2: BOOL; ie_tri_2: BOOL; se_tri_2: BOOL; id_tri_2: BOOL;
0044
0045 (*variável auxiliar - para permitir identificar zona de incerteza *)
0046     alg_1_aux: BOOL; algor_2_aux: BOOL; alg_3_aux: BOOL; alg_4_aux: BOOL; alg_5_aux: BOOL; alg_6_aux: BOOL;
0047
0048 END_VAR
0049
0050
0051

```

Figura A.8. Declaração das variáveis globais do programa

0001	FUNCTION Novo : BOOL
0002	
0003	(* Padrão de trabalho é adoptado como referência *)
0004	
0005	VAR
0006	mascara: WORD; (* Registo temporário *)
0007	i: INT; (* Contador interno *)
0008	END_VAR
0001	
0002	(* Copiar para a Matriz de Referência (Matriz_a) a Matriz de Trabalho (Matriz_b) *)
0003	Matriz_a:= Matriz_b;
0004	
0005	(* mascara tem 1s nas primeiras 6 linhas e zeros nas restantes - mascara corresponde a 63D = 111111B *)
0006	mascara := SHL(WORD#1,maximo_linhas +1)-1;
0007	FOR i :-0 TO maximo_colunas DO (* Garante que todas as linhas acima da 5 estão em zero *)
0008	Matriz_a[i] := Matriz_a[i] AND mascara;
0009	END_FOR
0010	
0011	(* Copia Matriz Referência para Matriz de Trabalho e refaz cálculos necessários *)
0012	Aceitar();

Figura A.9. Função “novo”

0001	FUNCTION Aceitar : BOOL
0002	
0003	(* Copia a Matriz de Referência para a Matriz de Trabalho *)
0004	(* Calcula o número de colunas e linhas usadas pelo padrão *)
0005	(* Não tem parâmetros de entrada *)
0006	
0007	VAR
0008	i: INT; (* Contador interno *)
0009	temp: WORD; (* Registo temporário *)
0010	END_VAR
0001	
0002	
0003	Matriz_b := Matriz_a; (* Obtém Matriz de Trabalho a partir da Matriz de Referência *)
0004	Horizontal := TRUE; (* Define que a imagem está na horizontal *)
0005	
0006	(* Calcula as colunas ocupadas pelo padrão, procura, da direita para a esquerda, uma coluna com conteúdo *)
0007	(* No fim do FOR, "amostras_coluna" contém o número da última coluna usada pelo padrão (0 a 15) *)
0008	FOR amostras_coluna :- maximo_colunas TO 0 BY -1 DO
0009	IF Matriz_a[amostras_coluna] <> 0 OR amostras_coluna = 0 THEN
0010	EXIT;
0011	END_IF
0012	END_FOR
0013	
0014	(* Calcula as linhas ocupadas pelo padrão *)
0015	(* Faz o "OR" de todas as colunas usadas e põe resultado no registo "temp" *)
0016	temp := 0;
0017	FOR i :- 0 TO amostras_coluna DO
0018	temp := temp OR Matriz_a[i];
0019	END_FOR
0020	
0021	(* Percorre o registo "temp" de cima para baixo, procurando uma linha com conteúdo e quando encontra, pára*)
0022	(* No fim do FOR, "amostras_linha" contém o número de linhas usadas pelo padrão *)
0023	FOR amostras_linha :- maximo_linhas TO 0 BY -1 DO
0024	IF (temp AND SHL (WORD#1,amostras_linha)) <> 0 OR amostras_linha = 0 THEN
0025	EXIT;
0026	END_IF
0027	END_FOR
0028	
0029	(* Notar que é atribuída uma dimensão (0,0) a um "padrão vazio"
0030	a fim de evitar eventuais erros em caso de manipulação do mesmo *)

Figura A.10. Função “Aceitar”

```

0001 FUNCTION Contagem_total : BOOL
0002
0003 (* Contagem de *1's* e de transições "Up" e "Down" para todas as linhas e colunas da matriz de trabalho *)
0004 (* Não tem parâmetros de entrada *)
0005
0006 VAR
0007   i, j : INT;           (* Contadores internos *)
0008   temp, mascara, old, new : WORD;  (* Registos temporarios *)
0009 END_VAR
0001
0002
0003 (* Contagem dos *1's* ao longo de todas as colunas - incluindo as não ocupadas *)
0004
0005 FOR j:= 0 TO maximo_colunas DO           (* Analisa as colunas da esquerda para a direita *)
0006   Conta_coluna [j] := 0;                 (* Totalizador da coluna j a zero *)
0007   FOR i:=0 TO maximo_linhas DO           (* Para todas as linhas dessa coluna, de baixo para cima *)
0008     mascara := SHL(WORD#1,i);           (* Define mascara em função da linha *)
0009     temp := Matriz_b[j] AND mascara;    (* Isola o bit da linha i, coluna j *)
0010     IF temp <> 0 THEN
0011       Conta_coluna [j] := Conta_coluna[j] + 1;
0012     END_IF;
0013   END_FOR
0014 END_FOR
0015
0016
0017 (* Contagem dos *1's* ao longo de todas as linhas - incluindo as não ocupadas *)
0018
0019 FOR j:= 0 TO maximo_linhas DO           (* Analisa as linhas de baixo para cima *)
0020   Conta_linha [j] := 0;                 (* Totalizador da linha j a zero *)
0021   mascara := SHL(WORD#1,j);           (* Define mascara em conformidade com a linha *)
0022   FOR i:=0 TO maximo_colunas DO         (* Percorre as colunas da linha, da esquerda para a direita *)
0023     temp := Matriz_b[i] AND mascara;
0024     IF temp <> 0 THEN
0025       Conta_linha [j] := Conta_linha[j] + 1;
0026     END_IF;
0027   END_FOR
0028 END_FOR
0029
0030
0031 (* Contagem de transições ascendentes e descendentes ao longo de todas as colunas - incluindo as não ocupadas *)
0032
0033 FOR i:= 0 TO maximo_colunas DO           (* Analisa as colunas da esquerda para a direita *)
0034   conta_up_coluna[i] := 0;              (* Respective totalizadores a zero *)
0035   conta_dw_coluna[i] := 0;
0036   old := 0;
0037   FOR j:= 0 TO maximo_linhas DO           (* Analisa as linhas de baixo para cima *)
0038     new := SHR((Matriz_b[i] AND SHL(WORD#1,j)), j);
0039     IF new > old THEN                    (* Houve transição de 0 para 1 *)
0040       conta_up_coluna[i] := conta_up_coluna[i] + 1;
0041     END_IF
0042     IF new < old THEN                    (* Houve transição de 1 para 0 *)
0043       conta_dw_coluna[i] := conta_dw_coluna[i] + 1;
0044     END_IF
0045     old := new;
0046   END_FOR
0047   IF old <> 0 THEN                        (* Verifica se haveria outra transição de 1 para 0 *)
0048     conta_dw_coluna[i] := conta_dw_coluna[i] + 1;
0049   END_IF
0050 END_FOR
0051
0052

```

Figura A.11. Função "Contagem_total"

0001	FUNCTION Flip_horizontal : BOOL	
0002		
0003	(* Reflete a Matriz de Trabalho segundo o eixo horizontal - i.e., vira-a de "cabeça para baixo". *)	
0004	(* Não tem parâmetros de entrada *)	
0005		
0006	VAR	
0007	linhas: INT;	(* Número de linhas a considerar *)
0008	colunas: INT;	(* Número de colunas a considerar *)
0009	i, j: INT;	(* Contadores Internos *)
0010	temp, mascara: WORD;	(* Registos temporários *)
0011	END_VAR	
0001		
0002	Matriz_c := Matriz_b;	(* Guarda Matriz de Trabalho na Matriz C *)
0003		
0004	IF horizontal THEN	(* Se a peça está na horizontal *)
0005	linhas := amostras_linha;	
0006	colunas := amostras_coluna;	
0007	ELSE	(* Se a peça está na vertical *)
0008	linhas := amostras_coluna;	
0009	colunas := amostras_linha;	
0010	END_IF	
0011		
0012	FOR j := 0 TO colunas DO	(* Começa pela coluna da esquerda *)
0013	Matriz_b[j] := 0;	
0014	mascara := 1;	(* e pela linha de baixo *)
0015	FOR i:= 0 TO linhas DO	
0016	temp:= Matriz_c[i] AND mascara;	(* isola o bit da linha inferior e... *)
0017	Matriz_b[j]:= SHL(Matriz_b[j],1);	
0018	Matriz_b[j]:= Matriz_b[j] OR temp;	(* ... cola-o na Matriz_B *)
0019	Matriz_c[j] := SHR (Matriz_c[j], 1);	(* Desloca as linhas uma posição para baixo *)
0020	END_FOR	
0021	END_FOR	
0022		
0023		
0024		

Figura A.12 Função “Flip_horizontal”

0001	FUNCTION Flip_vertical : BOOL	
0002		
0003	(* Reflete a Matriz de Trabalho segundo o eixo vertical - i.e., vira-a da "esquerda para a direita"...*)	
0004	(* Não tem parâmetros de entrada *)	
0005		
0006	VAR	
0007	colunas: INT;	(* Número de colunas a considerar *)
0008	i: INT;	(* Contador interno *)
0009	END_VAR	
0001		
0002		
0003	(* Variáveis usadas como no "flip horizontal" *)	
0004		
0005	Matriz_c := Matriz_b;	(* Guarda Matriz de Trabalho na Matriz Auxiliar C *)
0006		
0007	IF horizontal THEN	
0008	colunas := amostras_coluna;	(* Se a peça está na horizontal *)
0009	ELSE	
0010	colunas := amostras_linha;	(* Se a peça está na vertical *)
0011	END_IF	
0012		
0013	(* Troca esquerda com direita *)	
0014		
0015	FOR i := 0 TO colunas DO	
0016	Matriz_b[i] := Matriz_c[colunas-i];	
0017	END_FOR	
0018		

Figura A.13. Função “Flip_vertical”

```

0001 FUNCTION Limpar_Ref : BOOL
0002
0003 (* Apaga a matriz de referência *)
0004 (* Não tem parâmetros de entrada *)
0005
0006 VAR
0007   j: INT;          (* Contador interno *)
0008 END_VAR
0001
0002
0003 (* Matriz de Referência posta a zero, coluna a coluna *)
0004
0005 FOR j:=0 TO maximo_colunas DO
0006   Matriz_a[j] := 0;
0007 END_FOR

```

Figura A.14. Função “Limpar_Ref”

```

0001 FUNCTION Roda_ck : BOOL
0002
0003 (* Padrão de trabalho é rodado 90º no sentido horário.*)
0004 (* Não tem parâmetros de entrada *)
0005
0006 VAR
0007   linhas: INT;      (* Número de linhas a considerar *)
0008   colunas: INT;    (* Número de colunas a considerar *)
0009   i, j: INT;       (* Contadores Internos *)
0010   temp, mascara: WORD; (* Registos temporários *)
0011 END_VAR
0001
0002 (* Rotação do padrão de trabalho no sentido horário *)
0003
0004 Matriz_c := Matriz_b;
0005
0006 IF horizontal THEN
0007   linhas := amostras_linha;
0008   colunas := amostras_coluna;
0009 ELSE
0010   linhas := amostras_coluna;
0011   colunas := amostras_linha;
0012 END_IF
0013
0014 FOR i:= 0 TO linhas DO
0015   mascara := SHL(WORD#1, i);
0016   Matriz_b[i] := 0;
0017   FOR j := 0 TO colunas DO
0018     temp := Matriz_c[j] AND mascara;
0019     IF temp <> 0 THEN
0020       Matriz_b[i]:=Matriz_b[i] OR SHL(WORD#1,colunas-j);
0021     END_IF
0022   END_FOR
0023 END_FOR
0024
0025 IF colunas > linhas THEN
0026   FOR i := colunas TO linhas+1 BY -1 DO
0027     Matriz_b[i] := 0;
0028   END_FOR
0029 END_IF
0030
0031 horizontal:= NOT horizontal;
0032

```

Figura A.15. Função “Roda_ck”

0001	FUNCTION Roda_cck : BOOL
0002	
0003	(* Padrão de trabalho é rodado 90º no sentido anti-horário *)
0004	(* Não tem parâmetros de entrada *)
0005	
0006	VAR
0007	linhas: INT; (* Número de linhas a considerar *)
0008	colunas: INT; (* Número de colunas a considerar *)
0009	i, j: INT; (* Contadores Internos *)
0010	temp, mascara: WORD; (* Registos temporários *)
0011	END_VAR
0001	
0002	(* Rotação do padrão de trabalho no sentido anti-horário *)
0003	(* Guarda Matriz de Trabalho na Matriz C *)
0004	Matriz_c := Matriz_b;
0005	
0006	IF horizontal THEN (* Se a peça está na horizontal *)
0007	linhas := amostras_linha;
0008	colunas := amostras_coluna;
0009	ELSE (* Se a peça está na vertical *)
0010	linhas := amostras_coluna;
0011	colunas := amostras_linha;
0012	END_IF
0013	
0014	FOR i := linhas TO 0 BY -1 DO
0015	mascara := SHL(WORD#1, i);
0016	Matriz_b[linhas-i] := 0;
0017	FOR j := colunas TO 0 BY -1 DO
0018	temp := Matriz_c[j] AND mascara;
0019	IF temp <> 0 THEN
0020	Matriz_b[linhas-i] := Matriz_b[linhas-i] OR SHL(WORD#1, j);
0021	END_IF
0022	END_FOR
0023	END_FOR
0024	
0025	IF colunas > linhas THEN
0026	FOR i := colunas TO linhas+1 BY -1 DO
0027	Matriz_b[i] := 0;
0028	END_FOR
0029	END_IF
0030	
0031	
0032	horizontal := NOT horizontal;
0033	

Figura A.16. Função “Roda_cck”

0001	FUNCTION repor : BOOL
0002	
0003	(* Reposição da Matriz de Trabalho, B, a partir da Matriz Temporária, C. *)
0004	(* Não tem parâmetros de entrada *)
0005	
0001	
0002	(* Reposição da matriz de trabalho *)
0003	
0004	Matriz_b := Matriz_c;
0005	
0006	

Figura A.17. Função “repor”

```

0001 FUNCTION Comparador : BOOL
0002
0003 (* Assinala diferenças entre as Matrizes de Referência e de Trabalho.*)
0004 (* Não tem parâmetros de entrada *)
0005
0006 VAR
0007     i: INT;          (* Contador Interno *)
0008 END_VAR
0009
0001
0002 (* A Matriz Auxiliar (Matriz_c) guarda temporariamente os valores da Matriz de Trabalho (Matriz_b) *)
0003 (* A Matriz_b pode ser depois reposta quando chamada a função: "repor" *)
0004 Matriz_c := Matriz_b;
0005
0006 (* As diferenças correspondem ao "Ou exclusivo" das duas matrizes, realizado bit a bit *)
0007 FOR i:=0 TO amostras_coluna DO
0008     Matriz_b[i] := Matriz_b[i] XOR Matriz_a[i];
0009 END_FOR
0010
0011
0012
0013

```

Figura A.18. Função “Comparador”

```

0001 FUNCTION squeeze : BOOL
0002
0003 (* No padrão de trabalho, retira colunas adjacentes com os mesmos valores - simula leituras "data driven". *)
0004 (* Não tem parâmetros de entrada *)
0005
0006 VAR
0007     colunas: INT;    (* Colunas a considerar *)
0008     i, j: INT;      (* Contadores internos *)
0009 END_VAR
0010
0001
0002 (* Guarda padrão de trabalho na matriz auxiliar temporária para futura reposição através da função: "repor" *)
0003 Matriz_c := Matriz_b;
0004
0005 IF horizontal THEN          (* Se a peça está na horizontal *)
0006     colunas := amostras_coluna;
0007 ELSE                          (* Se a peça está na vertical *)
0008     colunas := amostras_linha;
0009     FOR i:= 0 TO colunas DO
0010         Matriz_b[i] := Matriz_b[i] AND 2#111111;    (* Rejeita eventuais bits não visíveis *)
0011     END_FOR
0012 END_IF
0013
0014 FOR i := 0 TO colunas-1 DO          (* Verifica, coluna a coluna, se uma coluna é igual a seguinte *)
0015     WHILE Matriz_b[i] = Matriz_b [i+1] AND colunas > i DO
0016         retira (n:=i+1);          (* Se for retira e faz nova verificação *)
0017         colunas := colunas -1;    (* Desconta a coluna retirada *)
0018     END_WHILE;
0019 END_FOR
0020
0021
0022
0023
0024
0025

```

Figura A.19. Função “Squeeze”

Anexo 2

Algoritmos

7.1.1. Caso 3 – Identificação da correcta orientação das reentrâncias de uma peça quadrangular

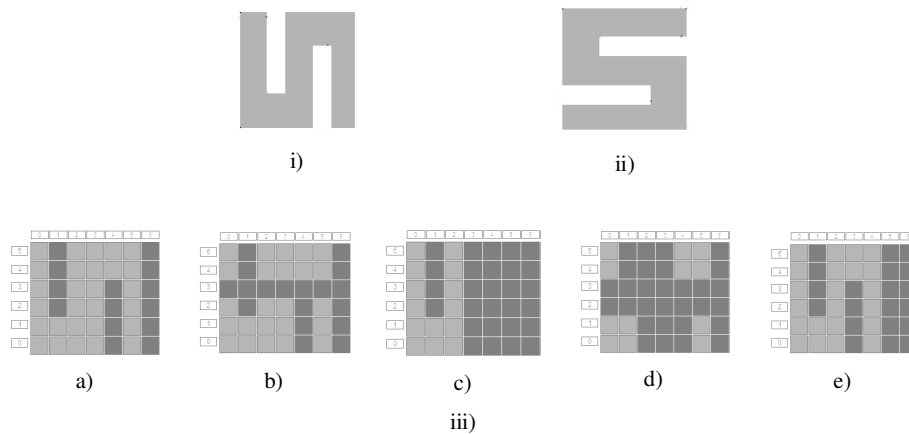


Figura A.20. Peça quadrangular com reentrâncias: i) forma pretendida, ii) forma de rejeição, iii) modelos de ruído testados.

Na figura 7.20. podem observar-se as formas pretendida e de rejeição em i) e ii) respectivamente e os modelos de ruído, considerados para o desenvolvimento e teste dos algoritmos em iii). Estes começam por representar a imagem ideal da forma pretendida no caso a), mas considerando o caso de uma avaria permanente de um dos sensores podemos ter algo semelhante ao caso exposto em b), por outro lado, no caso c) procura-se simular a falha temporária e de curta duração do conjunto de todos os sensores. Já no caso d) procura-se testar a sensibilidade e robustez dos algoritmos sinalizando as zonas mais sensíveis da peça. Por último procura-se reproduzir, no caso e), a resposta esperada da aquisição em *event driven*.

Método 1: Análise por regiões quadrantes

Este Algoritmo pretende analisar a imagem binária a partir da partição ortogonal em quatro regiões iguais, que designaremos de quadrantes. As regiões comparadas são:

- O quadrante inferior esquerdo com o quadrante superior direito, subtraindo o somatório de “1s” do primeiro (*ie*) aos do segundo (*sd*).
- O quadrante inferior direito com o quadrante superior esquerdo, subtraindo o somatório de “1s” do primeiro (*id*) aos do segundo (*se*).

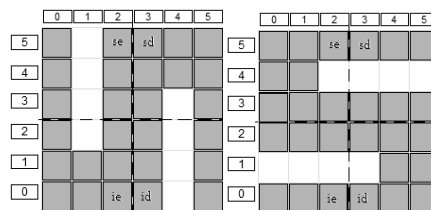


Figura A.21. Identificação por regiões (quadrantes)

Os critérios considerados na análise do algoritmo são:

- Critério “OK!” - é a forma pretendido se existir um número consideravelmente maior de “1s” nos quadrantes *ie* e *sd* que nos quadrantes *se* e *id*. Ao mesmo tempo o número de “1s” nos quadrantes *se* e *id* bem como nos quadrantes *sd* e *ie* deverá ser aproximadamente igual, tal que:

$$sd > id \wedge ie > se \wedge \frac{se}{id+1} \leq 1,5 \wedge \frac{ie}{sd+1} \leq 1,5 \quad (13)$$

- Critério “KO!” – é a forma de rejeição se existir um número consideravelmente maior de “1s” nos quadrantes *se* e *id* que nos quadrantes *sd* e *ie*. Ao mesmo tempo o número de “1s” nos quadrantes *se* e *id* bem como nos quadrantes *sd* e *ie* deverá ser aproximadamente igual, tal que:

$$se > sd \wedge id > ie \wedge \frac{id}{se+1} \leq 1,5 \wedge \frac{se}{id+1} \leq 1,5 \quad (14)$$

- Critério “?” – quando não é possível assegurar qual a forma em presença. O valor de ruído admitido é superado, o que coloca a peça numa zona de incerteza.

Tipo de aquisição de dados aplicável: Time driven - aplicável com velocidade de tapete constante e frequência de amostragem para a representação da peça dentro do espaço de amostragem. Data driven – aplicável se o número de amostragens da peça for positivo.

Os principais pontos fortes deste algoritmo são: ter um critério de dupla verificação e por outro lado ser pouco extenso (rápido). Já o seu ponto fraco é poder ser muito prejudicado se ocorrer uma “descentragem” da peça;

Método 2: Análise por sequência de transições

De uma forma geral este algoritmo identifica a forma da peça pela presença e sequência de um conjunto de transições esperadas em determinada zona da peça. As zonas determinantes são mais facilmente visualizadas se se recorrer à função comparar, desta forma pode dizer-se que integramos os algoritmos transições com o sobreposição.

Este algoritmo verifica o momento em que se dão as transições positivas na linha 1 e coluna 4, assim como as transições negativas na linha 4 e coluna 2.

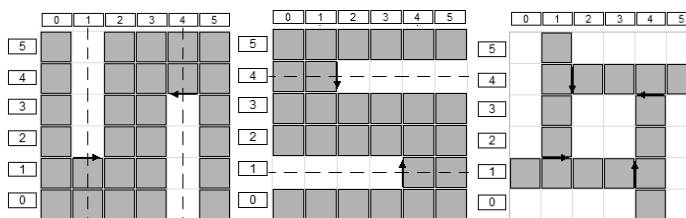


Figura A.22. Identificação por sequência de transições

Os critérios tomados em conta são os seguintes:

- Critério “OK!” – detectadas transições positivas nas posições 5 e 4 na linha 1 e coluna 4 respectivamente, assim como são detectadas transições negativas nas posições 6 e 2 na linha 4 e coluna 1 respectivamente.
- Critério “KO!” – detectadas transições positivas nas posições 4 e 5 na linha 1 e coluna 4 respectivamente, assim como são detectadas transições negativas nas posições 2 e 5 na linha 4 e coluna 1 respectivamente.
- Critério “?” – detecta mais ou menos transições que as estabelecidas nos critérios anteriores e por ordens diferentes.

Apenas é passível de ser aplicado em Time driven uma vez que a peça é previamente “desenha” em memória, admitindo a sua imagem real. Tem por pontos forte ser um programa insensível ao ruído fora destas duas linhas e duas colunas, e com ponto fraco a sua sensibilidade ao ruído nas linhas e colunas analisadas

Método 3: Análise por String Matching

De uma forma geral este algoritmo identifica a forma da peça por comparação da sequência de leituras adquiridas pelo varrimento de sensores (colocada na matriz/espaco de amostragem), com a imagem binária pretendida e previamente armazenada em memória. Começa por procurar a palavra inicial t_0 no instante $t = t_0$, e sempre que tal acontece, verifica se a sequência pretendida é conseguida. Se sim, então a forma foi identificada, se não repete o processo para $t = t+1$.

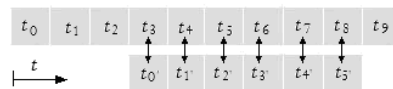


Figura A.23. Identificação por string matching

Os critérios tomados em conta são os seguintes:

- Critério “OK!” – a sequência de palavras que descreve a forma desejada é encontrada dentro da tolerância definida (uma letra diferente por palavra).
Matriz_d[63, 3, 63, 63, 48, 63] ou [111111.000011.111111.111111.110000.111111]
- Critério “KO!” - sequência da forma de rejeição é encontrada dentro da tolerância definida (ruído equivalente a uma letra diferente por palavra).
Matriz_e[61, 61, 45, 45, 47, 47] ou [111101.111101.101101.101101.101111.101111]
- Critério “?” - Sequencia encontrada com tolerância de duas ou mais letras por palavra.

Apenas é passível de ser aplicado em Time driven uma vez que a peça é previamente “desenha” em memória, admitindo a sua imagem real (será possível em data driven se a imagem introduzida para comparação, for introduzida já com esse fim em vista e tenha por isso, a forma esperada para uma aquisição data driven da peça).

Tem por pontos forte ser um programa pequeno (por isso rápido) e como pontos fracos a possível ocorrência de erros na introdução dos dados iniciais e a sua sensibilidade a zonas de ruído concentrado.

7.1.2. Caso 5 – Identificação da correcta orientação de uma peça rectangular

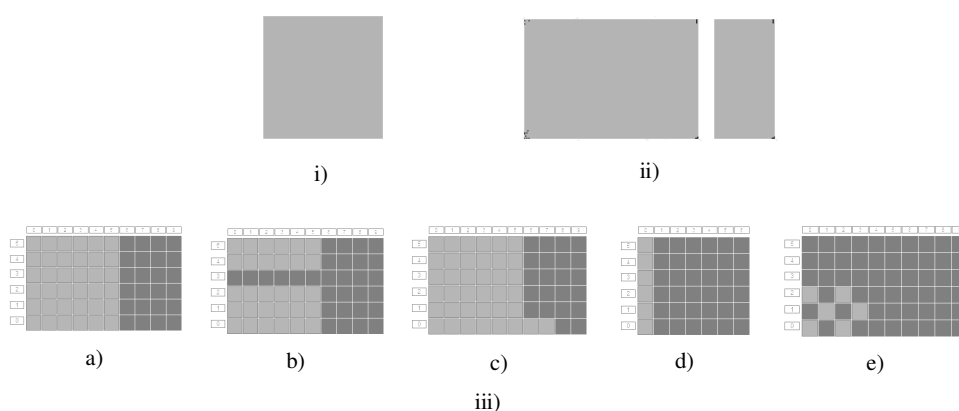


Figura A.24. Peça rectangular: i) forma pretendida, ii) forma de rejeição iii) modelos de ruído testados.

Na figura 7.24. podem observar-se as formas pretendida e de rejeição em i) e ii) respectivamente e os modelos de ruído, considerados para o desenvolvimento e teste dos algoritmos em iii). Estes começam por representar a imagem ideal da forma pretendida no caso a), mas considerando o caso de uma avaria permanente de um dos sensores podemos ter algo semelhante ao caso exposto em b), por outro lado, no caso c) procura-se simular a falha temporária e de curta duração do conjunto de quase todos os sensores. Já no caso e) procura-se testar a sensibilidade e robustez dos diversos algoritmos. Por último procura-se reproduzir, no caso d), a resposta esperada da aquisição em *event driven*.

Método 1: Quadrantes (variação de tamanho)

O algoritmo analisa a imagem binária a partir da qual extrai o número de amostragens recolhidas, depois identifica e compara o número de linhas e colunas ocupados, elemento inicial na definição dos quadrantes, de onde se podem calcular as áreas e o conseqüente número de “1s” teoricamente aí existentes.

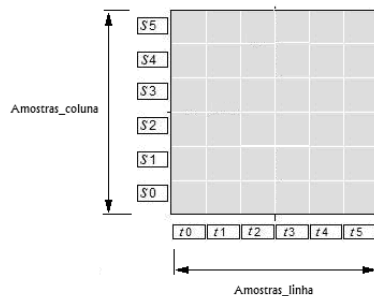


Figura A.25. Peça rectangular - dimensões

Os critérios considerados na análise do algoritmo são:

- Critério “OK!” – se o número de linhas e colunas existentes for igual.
- Critério “KO!” – se o número de linhas e colunas existentes for diferente em mais que uma unidade.
- Critério “?” – se o número de linhas e colunas existentes for diferente em apenas uma unidade.

Apenas aplicável em: Time driven - aplicável com velocidade de tapete constante e frequência de amostragem para a representação da peça dentro do espaço de amostragem. Em data driven, e na ausência de ruído, como a secção da peça não apresenta variação de forma, não seria possível identificar a dimensão comprimento.

Este algoritmo tem com pontos forte o facto de ser um programa bastante curto. O seu ponto fraco é como apenas analisa a dimensão total da região, perdendo por isso a sensibilidade ao ruído existente.

Método 2: Análise por regiões comparadas

O algoritmo analisa a imagem binária a partir da sobreposição dos dois objectos que se pretendem identificar e, utilizando um OU Exclusivo, extrai a região que nessa comparação os mais discriminam (zona específica e exclusiva de cada objecto), criando um “espaço de características”: a forma que se pertence identificar é uma forma regular de lados todos iguais, como tal foi definida uma medida de referência dessa dimensão coincidente com a altura da peça (numero de linha utilizadas). Tendo por base esse valor é criada a região de referência, a qual é comparada com a forma adquirida.

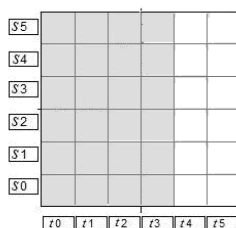


Figura A.26. Peça rectangular – áreas sobrepostas

Os critérios considerados na análise do algoritmo são:

- Critério “OK!” – O número de “1s” nas regiões de comparação é igual a zero.
- Critério “KO!” – O número de uns nas regiões comparadas não ultrapassam metade do número de “1s” de uma coluna.
- Critério “?” – quando o número de “1s” das regiões de comparação é superior a metade de uma coluna de dimensão de referência.

Aplicável em: Time driven - aplicável com velocidade de tapete constante e frequência de amostragem para a representação da peça dentro do espaço de amostragem, E em Data driven – aplicável dada a forma variável da peça que em conjunto com o movimento de passagem da peça perante os sensores de varrimento, provoca a detecção da variação e conseqüente aquisição para o espaço de amostragem.

Este algoritmo tem com pontos forte o facto de ser um programa curto (e por essa razão mais rápido) O seu ponto fraco é como apenas faz a análise na região considerada, não consegue garantir que efectivamente o corpo envolvente seja um triângulo (o que se poderia conseguir combinando um algoritmo de contorno).

Método 3: Análise por sequência de transições

Este algoritmo determina o valor médio em que se dão as transições negativas nas duas dimensões da forma. Se a média das transições das linhas acontecem primeiro que a das colunas então é um rectângulo vertical. Se as transições das colunas acontecerem primeiro então é um rectângulo horizontal. Se acontecerem mais ou menos ao mesmo tempo, então é considerado um quadrado.

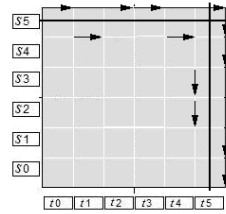


Figura A.27. Peça rectangular – média das transições

Os critérios considerados na análise do algoritmo são:

- Critério “OK!” – é a forma pretendida se a média das transições negativas nas linhas for igual à média das transições negativas nas colunas.

$$med_nv = med_nh \quad (21)$$

- Critério “KO!” - é a forma de rejeição se a média das transições negativas nas linhas for menor ou maior que uma unidade que a das transições negativas nas colunas

$$med_nv > med_nh + 1 \quad \vee \quad med_nh > med_nv + 1 \quad (22)$$

- Critério “?” – quando o valor de ruído admitido é superado, o que coloca a peça numa zona de incerteza.

Apenas em Time Driven – os critérios acima referidos só se aplicam para dimensões reais. Os principais pontos fortes deste algoritmo são: alguma tolerância ao ruído por ter por base a média de transições. Já o seu ponto fraco é não poder garantir a forma de quadrado.

7.1.3. Caso 6 – Identificação da correcta orientação de dois orifícios numa peça quadrangular

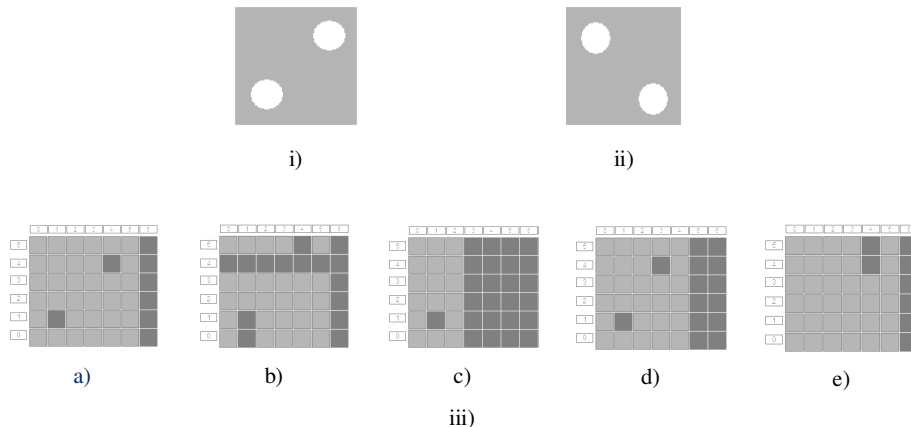


Figura A.28. Peça quadrangular com dois orifícios: i) forma pretendida, ii) forma de rejeição, iii) modelos de ruído testados.

Na figura 7.28. podem observar-se as formas pretendida e de rejeição em i) e ii) respectivamente e os modelos de ruído, considerados para o desenvolvimento e teste dos algoritmos em iii). Estes começam por representar a imagem ideal da forma pretendida, mas considerando o caso de uma avaria permanente de um dos sensores podemos ter algo semelhante ao caso exposto em b), por outro lado, no caso c) procura-se simular a falha temporária e de curta duração do conjunto de todos os sensores. Já no caso e) procura-se testar a sensibilidade e robustez dos algoritmos para o aparecimento de ruído na zona mais sensíveis da peça, mais concretamente na região de contorno do orifício da peça. Por último procura-se reproduzir, no caso d), a resposta esperada da aquisição em *event driven*.

Método 1: Análise por regiões quadrantes

Este Algoritmo pretende analisar a imagem binária a partir da partição ortogonal em quatro regiões iguais, que designaremos de quadrantes. As regiões comparadas são:

- O quadrante inferior esquerdo com o quadrante superior direito, somando o numero de uns do primeiro (*ie*) aos do segundo (*sd*).
- O quadrante inferior direito com o quadrante superior esquerdo, somando o numero de uns do primeiro (*id*) aos do segundo (*se*).

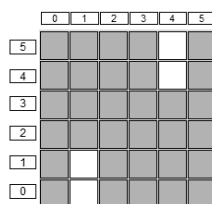


Figura A.29. Identificação por regiões (quadrantes)

Os critérios considerados na análise do algoritmo são:

- Critério “OK!” - é o Quadrado pretendido se existir um número consideravelmente maior de “1s” no quadrante *se* e *id* que nos restantes e ao mesmo tempo o número de “1s” nos quadrantes *sd* e *ie* estiver compreendido em determinado intervalo de valores, tal que:

$$sd < se \wedge ie < id \wedge id > 7 \wedge se > 7 \quad (23)$$

- Critério “KO!” – é o Quadrado de rejeição se existir um número consideravelmente maior de “1s” no quadrante *ie* e *sd* que nos restantes e ao mesmo tempo o somatório de “1s” desses quadrantes estiver compreendido em determinado intervalo de valores, tal que:

$$(sd \leq se \wedge sd \leq 8) \vee (ie \leq id \wedge ie \leq 8) \vee (se \leq sd \wedge id \leq ie) \quad (24)$$

- Critério “?” – quando o valor de ruído admitido é superado coloca a peça numa zona de incerteza.

Apenas em Time Driven – os critérios acima referidos só se aplicam para dimensões reais

Método 2: Análise da ordem das transições

De uma forma geral este algoritmo identifica a forma da peça pela ordem pela qual se dá a sequência de transições esperadas em determinadas zonas da peça. Verificar se ocorre a detecção do furo inferior esquerdo primeiro que o furo superior direito e se ocorrem ambos.

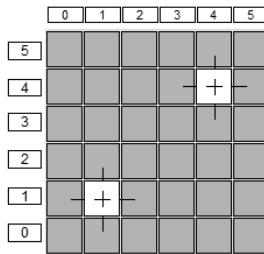


Figura A.30. Identificação por sequência de transições

Os critérios considerados na análise do algoritmo são:

- Critério “OK!” – a transição negativa a linha 1 ocorre primeiro que a da linha 4 e a transição positiva da linha 1 ocorre antes da coluna 2 e a transição positiva da linha 4 ocorre depois da coluna 4.
- Critério “KO!” – quando a ordem é invertida ou apenas detecta uma das transições.
- Critério “?” – quando os critérios anteriores não são preenchidos.

Apenas é passível de ser aplicado em Time driven e data driven. Tem por pontos forte ser um programa insensível ao ruído fora destas duas linhas e duas colunas, e como pontos fracos o facto de se a zona de furo estiver descentrada o algoritmo terá um mau desempenho e a sua sensibilidade ao ruído nas linhas e colunas analisadas.

Método 3: Análise por String Matching

De uma forma geral este algoritmo identifica a forma da peça por comparação da sequência de leituras adquiridas pelo varrimento de sensores (colocada na matriz/espaco de amostragem), com a imagem binária pretendida e previamente armazenada em memória. Começa por procurar

a palavra inicial t_0' no instante $t = t_0$, e sempre que tal acontece, verifica se a sequência pretendida é conseguida. Se sim, então a forma foi identificada, se não repete o processo para $t = t+1$.

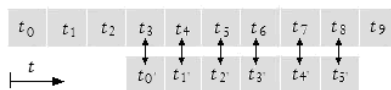


Figura A.31. String matching

Os critérios considerados na análise do algoritmo são:

- Critério “OK!” – a sequência do quadrado desejado encontrada dentro da tolerância definida (ruído equivalente a uma letra diferente por palavra).
Matriz_d[63, 60, 63, 63, 15, 63] ou [111111.111100.111111.111111.001111.111111]
- Critério “KO!” - sequência de palavras que descrevem o quadrado de rejeição encontrada dentro da tolerância definida (uma letra diferente por palavra).
Matriz_e[63, 47, 63, 63, 61, 63] ou [111111.001111111111.111111.111100.111111]
- Critério “?” - Sequencia encontrada com tolerância de duas ou mais letras por palavra

Apenas é passível de ser aplicado em Time driven uma vez que a peça é previamente “desenha” em memória, admitindo a sua imagem real. Tem por pontos forte ser um programa pequeno (por isso rápido) e como pontos fracos a possível ocorrência de erros na introdução dos dados iniciais e a sua sensibilidade a zonas de ruído concentrado.

7.1.4. Caso 7 – Identificação da correcta orientação de três orifícios numa peça quadrangular

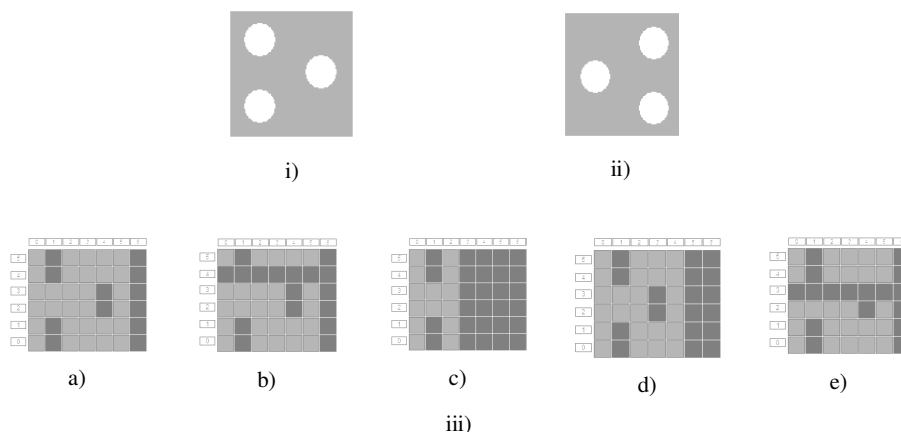


Figura A.32. Peça quadrangular com três orifícios: i) forma pretendida, ii) forma de rejeição, iii) modelos de ruído testados.

Na figura 7.32. podem observar-se as formas pretendida e de rejeição em i) e ii) respectivamente e os modelos de ruído, considerados para o desenvolvimento e teste dos algoritmos em iii). Estes começam por representar a imagem ideal da forma pretendida no caso a), mas considerando o caso de uma avaria permanente de um dos sensores podemos ter algo semelhante ao caso exposto em b), por outro lado, no caso c) procura-se simular a falha temporária e de curta duração do conjunto de todos os sensores. Já no caso e) procura-se testar a sensibilidade e robustez dos algoritmos para o aparecimento de ruído pela falha de um outro sensor, que tem implicações diferentes do anterior. Por último procura-se reproduzir, no caso e), a resposta esperada da aquisição em *event driven*.

Método 1: Análise por regiões sextantes

Este algoritmo pretende analisar a imagem binária a partir da partição ortogonal em nove regiões iguais, que designaremos de sextantes e do número de “1s” e “0s” neles contidos.

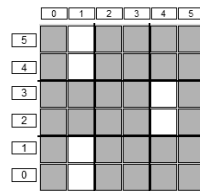


Figura A.33. Identificação por regiões (sextantes)

Os critérios considerados na análise do algoritmo são:

- Critério “OK!” - é a forma pretendido se existir um número de “1s” nos sextantes se , ie e md tal que:

$$(se \wedge ie \wedge md) \geq 1 \quad \wedge \quad (se \wedge ie \wedge md) \leq 3 \quad (25)$$

- Critério “KO!” - é a forma pretendido se existir um número de “1s” nos sextantes sd , id e me tal que:

$$(sd \wedge id \wedge me) \geq 1 \quad \wedge \quad (sd \wedge id \wedge me) \leq 3 \quad (26)$$

- Critério “?” – quando não é possível assegurar o valor de ruído admitido e definidos nos critérios “OK!” e “KO!”, colocando a peça numa zona de incerteza.

Tipo de aquisição de dados apenas aplicável em Time driven - com velocidade de tapete constante e frequência de amostragem para a representação da peça dentro do espaço de amostragem.

O principal ponto forte deste algoritmo é o facto de este ser insensível fora das regiões visadas. Já o seu ponto fraco é poder ser muito prejudicado se ocorrer uma “descentragem” da peça e não puder ser aplicado em data driven.

Método 2: Análise da ordem das transições

De uma forma geral este algoritmo identifica a forma da peça pela ordem pela qual se dá a sequência de transições esperadas em determinada zona da peça. Verificar se ocorre a detecção dos furos inferior e superior esquerdo simultaneamente e primeiro que o furo direito e se todos ocorrem.

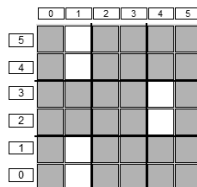


Figura A.34. Identificação por sequência de transições

Os critérios considerados na análise do algoritmo são:

- Critério “OK!” – transições ascendentes nas linhas 1 e 4 ocorrem ao mesmo tempo e primeiro que as das linhas 2 e 3.
- Critério “KO!” – transições ascendentes nas linhas 1 e 4 ocorrem ao mesmo tempo e depois que as das linhas 2 e 3.
- Critério “?” – quando o ruído interfere e nenhuma das condições anteriores se verificar.

É passível de ser aplicado tanto em Time driven como em data driven visto ser a sequência que está a ser testada e não valores absolutos relativos a uma imagem “real” da peça. Tem por pontos forte poder ser aplicado em data driven, e como ponto fracos o facto ser sensível ao ruído nas linhas analisadas (todas).

Método 3: Análise por String Matching

De uma forma geral este algoritmo identifica a forma da peça por comparação da sequência de leituras adquiridas pelo varrimento de sensores (colocada na matriz/espaco de amostragem), com a imagem binária pretendida e previamente armazenada em memória. Começa por procurar a palavra inicial t_0 no instante $t = t_0$, e sempre que tal acontece, verifica se a sequência

pretendida é conseguida. Se sim, então a forma foi identificada, se não repete o processo para $t = t+1$.

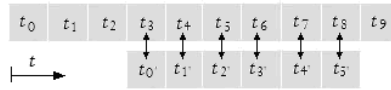


Figura A.35. Identificação por String matching

Os critérios considerados na análise do algoritmo são:

- Critério “OK!” – a sequência do quadrado desejado encontrada dentro da tolerância definida (ruído equivalente a uma letra diferente por palavra).
Matriz_d[631263635163] ou [111111.101101.111111.111111.110011.111111]
- Critério “KO!” - sequência de palavras que descrevem o quadrado de rejeição encontrada dentro da tolerância definida (uma letra diferente por palavra).
Matriz_e[63, 51, 63, 63, 12, 63] ou [111111.110011.111111.111111.101101.111111]
- Critério “?” - Sequência encontrada com tolerância de duas ou mais letras por palavra.

Apenas é passível de ser aplicado em Time driven uma vez que a peça é previamente “desenha” em memória, admitindo a sua imagem real.

Tem por pontos forte ser um programa pequeno (por isso rápido) e como pontos fracos a possível ocorrência de erros na introdução dos dados iniciais e a sua sensibilidade a zonas de ruído concentrado, cujo tamanho e posicionamento dos furos relativamente aos sensores, poderá favorecer.

7.1.5. Caso 8 – Identificação da correcta orientação de uma marca triangular

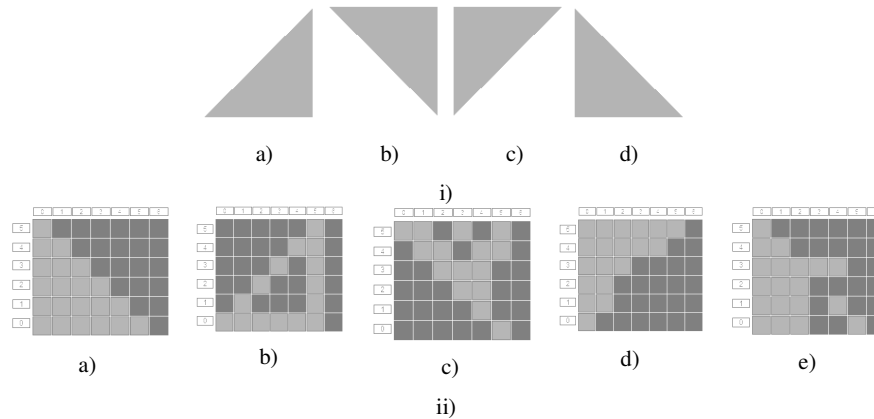


Figura A.36. i) Orientações de marca triangular, ii) modelos de ruído testados

Método 1: Análise por regiões quadrantes

Este algoritmo pretende analisar a imagem binária a partir da partição ortogonal em quatro regiões iguais, que designaremos de quadrantes e do número de “1s” e “0s” neles contidos. Os critérios de definição da orientação são respectivamente:

$$a) \quad se < (sd \wedge ie \wedge id) \quad (27)$$

$$b) \quad ie < (se \wedge sd \wedge id) \quad (28)$$

$$c) \quad id < (se \wedge ie \wedge sd) \quad (29)$$

$$d) \quad sd < (se \wedge ie \wedge id) \quad (30)$$

Método 2: Análise da ordem das transições

De uma forma geral este algoritmo identifica a forma da peça pela ordem pela qual se dá a sequência de transições esperadas

7.1.6. Caso 9 – Identificação da correcta orientação de uma marca quadrangular

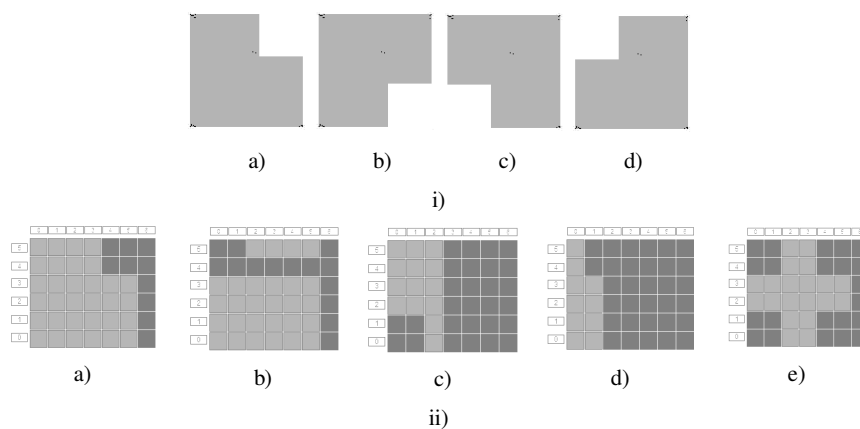


Figura A.37. i) Orientações de uma marca quadrangular ii) modelos de ruído testados

Método 1: Análise por regiões quadrantes

Este algoritmo pretende analisar a imagem binária a partir da partição ortogonal em quatro regiões iguais, que designaremos de quadrantes e do número de “1s” e “0s” neles contidos. Os critérios de definição da orientação são respectivamente:

$$a) \quad se < (sd \wedge ie \wedge id) \quad (27)$$

$$b) ie < (se \wedge sd \wedge id) \quad (28)$$

$$c) id < (se \wedge ie \wedge sd) \quad (29)$$

$$d) sd < (se \wedge ie \wedge id) \quad (30)$$

Método 2: Análise da ordem das transições

De uma forma geral este algoritmo identifica a forma da peça pela ordem pela qual se dá a sequência de transições esperadas em determinada zona da peça.

7.1.7. Caso 10 – Identificação da correcta orientação da reentrância de uma marca quadrangular

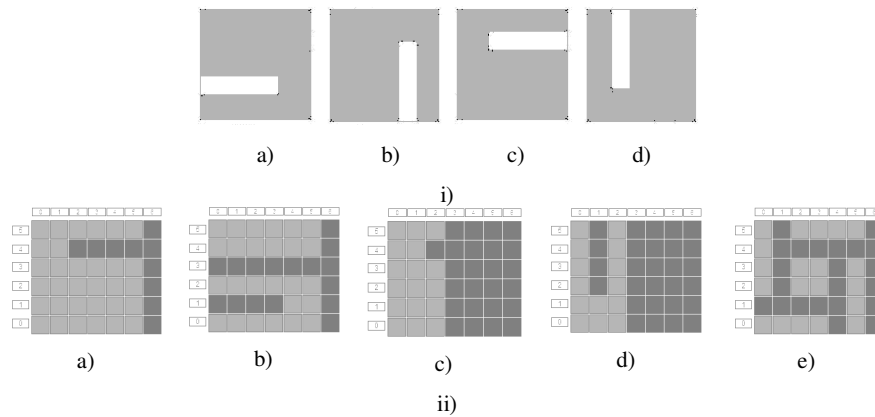


Figura A.38. i) Orientações da marca quadrangular com reentrâncias, ii) modelos de ruído testados

Método 1: Análise por regiões quadrantes

Este algoritmo pretende analisar a imagem binária a partir da partição ortogonal em quatro regiões iguais, que designaremos de quadrantes e do número de “1s” e “0s” neles contidos. Os critérios de definição da orientação são respectivamente:

$$a) se < (sd \wedge ie \wedge id) \quad (27)$$

$$b) ie < (se \wedge sd \wedge id) \quad (28)$$

$$c) id < (se \wedge ie \wedge sd) \quad (29)$$

$$d) sd < (se \wedge ie \wedge id) \quad (30)$$

Método 2: Análise da ordem das transições

De uma forma geral este algoritmo identifica a forma da peça pela posição em que se dá determinada transição e pela ordem por que se dão as transições. Verifica as transições ascendentes (ph) na linha 1, as transições descendentes (nh) na linha 4, as positivas horizontais (pv) na coluna 4 e as negativas horizontais (nv) na coluna 1.

	0	1	2	3	4	5
5						
4	-		-	-		-
3						
2						
1	-		-	-		-
0						

Figura A.39. Orientação de peça quadrangular com reentrância

- a) se $nh = 2$ e $pv = 5$
- b) se $nh = 1$ e $nv = 2$
- c) se $ph = 4$ e $nv = 1$
- d) se $ph = 5$ e $pv = 4$

Anexo 3

Programação de Algoritmos

0001	FUNCTION Comparados : INT
0002	VAR_INPUT
0003	END_VAR
0004	VAR
0005	K1, K2, K3, K4, K5:INT;
0006	a: INT;
0007	b: INT;
0008	END_VAR
0001	
0002	(* _____ Algoritmo 2 - Regiões Comparadas _____ *)
0003	
0004	
0005	(* ----- Caso 1 - Triângulo ----- *)
0006	
0007	IF bt_caso1 THEN (* Botão "Caso 1" foi premido *)
0008	
0009	k1 := Contagem_coluna (coluna := 0, in_1:=1, in_2:=5) + Contagem_coluna (coluna := 1, in_1:=2, in_2:=4) +
0010	Contagem_coluna (coluna := 2, in_1:=3, in_2:=3);
0011	k2 := Contagem_coluna (coluna := 5, in_1:=1, in_2:=5) + Contagem_coluna (coluna := 4, in_1:=2, in_2:=4) +
0012	Contagem_coluna (coluna := 3, in_1:=3, in_2:=3);
0013	
0014	K1:= k1+1;
0015	K2:= K2 +1;
0016	
0017	IF k1/k2 > 2.5 THEN
0018	Comparados := 1;
0019	ELSE
0020	IF K2/K1 > 2.5 THEN
0021	Comparados := 0;
0022	ELSE
0023	IF (K1/K2 <= 2.5) AND (K2/K1 <= 2.5) THEN
0024	algor_2_aux := 1;
0025	END_IF
0026	END_IF
0027	END_IF
0028	
0029	END_IF
0030	
0031	(* ----- Caso 2 - Quadrado Furado ----- *)
0032	
0033	IF bt_caso2 THEN (* Botão "Caso 2" foi premido *)
0034	
0035	k1 := Contagem_coluna (coluna := 2, in_1:=2, in_2:=3) + Contagem_coluna (coluna := 3, in_1:=2, in_2:=3);
0036	
0037	IF k1 <=2 THEN
0038	Comparados := 1;
0039	ELSE
0040	IF k1 > 3 THEN
0041	Comparados := 0;
0042	ELSE
0043	IF k1 = 3 THEN
0044	algor_2_aux := 1;
0045	END_IF
0046	END_IF
0047	END_IF
0048	
0049	END_IF
0050	
0051	(* ----- Caso 3 - Quadrado com reentrância ----- *)
0052	(* não aplicável *)
0053	
0054	
0055	(* ----- Caso 4 - Triângulo furado ----- *)
0056	

Figura A.40. Algoritmo Sobreposição – parte 1

```

0057 IF bt_caso4 THEN          (* Botão *Caso 4* foi premido *)
0058
0059 K3 := Contagem_coluna (coluna := 1, in_1:=2, in_2:=3) + Contagem_coluna (coluna := 2, in_1:=1, in_2:=3) +
0060 Contagem_coluna (coluna := 3, in_1:=1, in_2:=2);
0061
0062 IF k3 >=5 THEN
0063     Comparados := 1;
0064 ELSE
0065     IF k3 <=2 THEN
0066         Comparados := 0;
0067     ELSE
0068         IF k3 = 3 OR k3 = 4 THEN
0069             algor_2_aux := 1;
0070         END_IF
0071     END_IF
0072 END_IF
0073
0074 END_IF
0075
0076 (* ----- Caso 5 - Rectângulos ----- *)
0077
0078 IF bt_caso5 THEN          (* Botão *Caso 5* foi premido *)
0079
0080 (* o número de linhas é o valor de referências - compara peças com comprimentos diferentes mas com "alturas" iguais *)
0081     k1 := 0;
0082     IF amostras_coluna > amostras_linha THEN
0083         FOR a := amostras_linha TO amostras_coluna DO
0084             k1 := k1 + Contagem_coluna (coluna := a, in_1:=0, in_2:=amostras_linha);
0085         END_FOR
0086     END_IF
0087
0088     k2 := 0;
0089     IF amostras_coluna < amostras_linha THEN
0090         FOR b := amostras_coluna TO amostras_linha DO
0091             k2 := k2 + Contagem_coluna (coluna := b, in_1:=0, in_2:=amostras_linha);
0092         END_FOR
0093     END_IF
0094
0095     IF k1 = 0 AND k2 = 0 THEN
0096         Comparados := 1;
0097     ELSE
0098         IF k2 > amostras_linha/2 OR k1 > amostras_linha/2 THEN
0099             Comparados := 0;
0100         ELSE
0101             algor_2_aux := 1;
0102         END_IF
0103     END_IF
0104
0105 END_IF
0106
0107 (* ----- Caso 6 - Quadrado de dois furos ----- *)
0108
0109 (* não aplicável - equivalente (com maior ou menos precisão) ao algoritmo do quadrante já implementado *)
0110
0111
0112 (* ----- Caso 7 - Quadrado de três furos ----- *)
0113
0114 (* não aplicável - equivalente (com maior ou menor precisão) ao algoritmo do sextante já implementado *)
0115

```

Figura A.41. Algoritmo Sobreposição – parte 2

0001	FUNCTION Contagem_coluna : INT
0002	
0003	(* Retorna o número de "1's" existentes na: .. *)
0004	
0005	VAR_INPUT
0006	coluna : INT; (* ...coluna "coluna" entre os valores "in_1" e "in_2", inclusive *)
0007	in_1: INT;
0008	in_2 : INT;
0009	END_VAR
0010	
0011	VAR
0012	maximo, minimo : INT; (* valores mínimos e máximos da busca *)
0013	mascara : WORD; (* Registo temporário *)
0014	i: INT; (* Contador Interno *)
0015	END_VAR
0001	
0002	
0003	minimo := MIN (in_1, in_2); (* Define valor mais baixo *)
0004	maximo := MAX (in_1, in_2); (* Define valor mais alto *)
0005	
0006	IF coluna > 15 OR coluna < 0 OR minimo <0 OR Maximo > 5 THEN
0007	Contagem_coluna := -1; (* se parâmetros de entrada são inválidos *)
0008	RETURN;
0009	END_IF
0010	
0011	Contagem_coluna := 0; (* Totalizador a zero *)
0012	FOR i := Minimo TO Maximo DO
0013	Mascara := SHL(WORD#1,i); (* Percorre linhas de baixo para cima *)
0014	IF (Matriz_b[coluna] AND mascara) > 0 THEN
0015	Contagem_coluna:= Contagem_coluna +1;
0016	END_IF
0017	END_FOR
0018	
0019	
0020	
0021	
0022	

Figura A.42. Função Contagem_coluna

```

0001 FUNCTION Quadrantes : INT
0002 VAR_INPUT
0003 END_VAR
0004 VAR
0005     k2: INT; k1: INT;
0006     i: INT; j: INT;
0007     Contagem_zona_ie: INT; Contagem_zona_id: INT; Contagem_zona_se: INT; Contagem_zona_sd: INT;
0008     coluna_mid: INT; linha_mid: INT;
0009     Mascara: WORD;
0010
0011     Contagem: BOOL;
0012     minimo: INT;
0013     alg_1_ok: BOOL;
0014     alg_1_ko: BOOL;
0015     alg_1_d: BOOL;
0016 END_VAR
0001
0002 (* _____ Algoritmo 1 - Quadrantes _____ *)
0003
0004 (*----- Corpo geral do algoritmo -----*)
0005
0006 (* Calculo prévio de alguns valores necessários. Número de "1s" em cada um dos Quadrantes *)
0007
0008 coluna_mid := amostras_coluna/2; (* determinação da coluna intermédia da forma *)
0009 linha_mid := amostras_linha/2; (* determinação da linha intermédia da forma *)
0010
0011 Contagem_zona_ie := 0; (* Inicia o contador associado à região a zero *)
0012 FOR i := 0 TO coluna_mid DO (* percorre as colunas desde a zero até à coluna do meio *)
0013     FOR j := 0 TO linha_mid DO (* Percorre linhas de baixo para cima até à linha do meio *)
0014         Mascara := SHL(WORD#1,j);
0015         IF (Matriz_b[i] AND mascara) > 0 THEN (* sempre que detecta algum "1" à medida que percorre a região definida *)
0016             Contagem_zona_ie := Contagem_zona_ie + 1; (* incrementa o contador *)
0017         END_IF
0018     END_FOR
0019 END_FOR
0020
0021 Contagem_zona_id := 0; (* Totalizador a zero *)
0022 FOR i := coluna_mid + 1 TO amostras_coluna DO
0023     FOR j := 0 TO linha_mid DO
0024         Mascara := SHL(WORD#1,j); (* Percorre linhas de baixo para cima *)
0025         IF (Matriz_b[i] AND mascara) > 0 THEN
0026             Contagem_zona_id := Contagem_zona_id + 1;
0027         END_IF
0028     END_FOR
0029 END_FOR
0030
0031 Contagem_zona_se := 0; (* Totalizador a zero *)
0032 FOR i := 0 TO coluna_mid DO
0033     FOR j := linha_mid + 1 TO amostras_linha DO
0034         Mascara := SHL(WORD#1,j); (* Percorre linhas de baixo para cima *)
0035         IF (Matriz_b[i] AND mascara) > 0 THEN
0036             Contagem_zona_se := Contagem_zona_se + 1;
0037         END_IF
0038     END_FOR
0039 END_FOR
0040
0041 Contagem_zona_sd := 0; (* Totalizador a zero *)
0042 FOR i := coluna_mid + 1 TO amostras_coluna DO
0043     FOR j := linha_mid + 1 TO amostras_linha DO
0044         Mascara := SHL(WORD#1,j); (* Percorre linhas de baixo para cima *)
0045         IF (Matriz_b[i] AND mascara) > 0 THEN
0046             Contagem_zona_sd := Contagem_zona_sd + 1;
0047         END_IF
0048     END_FOR

```

Figura A.43. Algoritmo Quadrantes – parte 1

```

0049 END_FOR
0050
0051 (* ____ Problemas de Identificação ____ *)
0052
0053 (* ----- Caso 1 - Triângulo ----- *)
0054
0055 IF bt_caso1 THEN          (* Botão "Caso 1" foi premido *)
0056
0057 (* Critério "OKI" - se existir um número consideravelmente maior de "1s" no quadrante ie que no sd*)
0058 (* e ao mesmo tempo o numero de "1s" nos quadrantes se e id for aproximadamente igual*)
0059 IF ((Contagem_zona_ie + 1)/(Contagem_zona_sd + 1)) >= 3 AND ((Contagem_zona_id + 1)/(Contagem_zona_se + 1)) >= 0.75
0060 AND ((Contagem_zona_id + 1)/(Contagem_zona_se + 1)) <= 1.5 THEN
0061   Quadrantes := 1;
0062 ELSE
0063   (* Critério "KOI" - se existir um número consideravelmente maior de uns no quadrante id que no se *)
0064   (* e ao mesmo tempo o numero de uns nos quadrantes sd e ie for aproximadamente igual*)
0065   IF ((Contagem_zona_id + 1)/(Contagem_zona_se + 1)) >= 3 AND ((Contagem_zona_ie + 1)/(Contagem_zona_sd + 1)) >= 0.75
0066   AND ((Contagem_zona_ie + 1)/(Contagem_zona_sd + 1)) <= 1.5 THEN
0067     Quadrantes := 0;
0068   ELSE
0069     (* Critério "?" - quando não é possível assegurar qual o triângulo em presença. *)
0070     (*O valor de ruído admitido é superado, o que coloca a peça numa zona de incerteza*)
0071     IF ((Contagem_zona_ie + 1)/(Contagem_zona_sd + 1)) < 3 AND ((Contagem_zona_id + 1)/(Contagem_zona_se + 1)) < 3 THEN
0072       alg_1_aux := 1;
0073     END_IF
0074   END_IF
0075 END_IF
0076
0077 END_IF
0078
0079 (* ----- Caso 2 - Quadrado furado ----- não aplicável ----- *)
0080
0081 (* não é aplicadol o sextante - por ser coincidir com a zona analisada pelo algoritmo das regiões comparadas *)
0082
0083
0084 (* ----- Caso 3 - Quadrante com Reentrancias ----- *)
0085
0086 IF bt_caso3 THEN          (* Botão "Caso 3" foi premido *)
0087
0088 (* Critério "OKI" - se existir um número consideravelmente maior de "1s" nos quadrantes ie e sd *)
0089 (* e ao mesmo tempo o numero de uns nos quadrantes sd e ie for aproximadamente igual*)
0090 IF Contagem_zona_ie > (Contagem_zona_se) AND (Contagem_zona_id) < Contagem_zona_sd AND
0091 ((Contagem_zona_id)/(Contagem_zona_se + 1)) <= 1.5 AND ((Contagem_zona_se)/(Contagem_zona_id + 1)) <= 1.5 THEN
0092   Quadrantes := 1;
0093 ELSE
0094   (* Critério "KOI" - se existir um número consideravelmente maior de uns no quadrante id que no se *)
0095   (* e ao mesmo tempo o numero de uns nos quadrantes sd e ie for aproximadamente igual*)
0096   IF Contagem_zona_se > (Contagem_zona_sd) AND Contagem_zona_id > (Contagem_zona_ie) AND
0097 ((Contagem_zona_id)/(Contagem_zona_se + 1)) <= 1.5 AND ((Contagem_zona_se)/(Contagem_zona_id + 1)) <= 1.5 THEN
0098     Quadrantes := 0;
0099   ELSE
0100     (* Critério "?" - quando não é possível assegurar qual o triângulo em presença. *)
0101     (*O valor de ruído admitido é superado, o que coloca a peça numa zona de incerteza*)
0102     alg_1_aux := 1;
0103   END_IF
0104 END_IF
0105
0106 END_IF
0107
0108 (* ----- Caso 4 - Triângulo Furado ----- *)
0109 (* não aplicável - aplicável o algoritmo dos sextantes *)
0110
0111 (* ----- Caso 5 - Rectangulos ----- *)
0112

```

Figura A.44. Algoritmo Quadrantes – parte 2

```

0113 IF bt_caso5 THEN          (* Botão "Caso 5" foi premido *)
0114
0115 (*considerando uma altura constante - poderia-se cicular recorrendo ao numero de "1s" dentro da área *)
0116 IF amostras_coluna = amostras_linha THEN
0117     Quadrantes := 1;
0118 ELSE
0119     IF amostras_coluna > (amostras_linha +1) OR amostras_linha > (amostras_coluna +1) THEN
0120         Quadrantes := 0;
0121     ELSE
0122         alg_1_aux := 1;
0123     END_IF
0124 END_IF
0125
0126 END_IF
0127
0128 (*----- Caso 6 - Quadrado de dois Furos -----*)
0129
0130 IF bt_caso6 THEN          (* Botão "Caso 6" foi premido *)
0131
0132 (* Critério "OKI" - se existir um número consideravelmente maior de "1s" no quadrante ie que no sd *)
0133 (*e ao mesmo tempo o numero de "1s" nos quadrantes se e id for aproximadamente igual*)
0134 IF Contagem_zona_sd < Contagem_zona_se AND Contagem_zona_ie < Contagem_zona_id AND
0135 Contagem_zona_id > 7 AND Contagem_zona_se > 7 THEN
0136     Quadrantes := 1;
0137 ELSE
0138     (* Critério "KOI" - se existir um número consideravelmente maior de uns no quadrante id que no se *)
0139     (*e ao mesmo tempo o numero de uns nos quadrantes sd e ie for aproximadamente igual*)
0140     IF (Contagem_zona_sd <= Contagem_zona_se AND Contagem_zona_sd <= 8) OR
0141 (Contagem_zona_ie <= Contagem_zona_id AND Contagem_zona_ie <= 8) OR (Contagem_zona_se <= Contagem_zona_sd
0142 AND Contagem_zona_id <= Contagem_zona_ie) THEN
0143         Quadrantes := 0;
0144     ELSE
0145         (* Critério "?" - quando não é possível assegurar qual o triângulo em presença. *)
0146         (* O valor de ruído admitido é superado, o que coloca a peça numa zona de incerteza*)
0147         alg_1_aux := 1;
0148     END_IF
0149 END_IF
0150
0151 END_IF
0152
0153 (*----- Caso 7 - Quadrado de três Furos -----*)
0154 (* não aplicável - preferível o algoritmo do sextantes *)
0155
0156
0157 (*----- Problemas de Orientação -----*)
0158
0159
0160 (*----- Caso 8 - Orientação de triangulos -----*)
0161
0162 IF bt_caso8 THEN          (* Botão "Caso 8" foi premido *)
0163
0164 IF Contagem_zona_sd < Contagem_zona_se AND Contagem_zona_sd < Contagem_zona_ie AND
0165 Contagem_zona_sd < Contagem_zona_id THEN
0166     sd_tri := TRUE;
0167 ELSE
0168     sd_tri := FALSE;
0169 END_IF
0170
0171 IF Contagem_zona_se < Contagem_zona_sd AND Contagem_zona_se < Contagem_zona_ie AND
0172 Contagem_zona_se < Contagem_zona_id THEN
0173     se_tri := TRUE;
0174 ELSE
0175     se_tri := FALSE;
0176 END_IF

```

Figura A.45. Algoritmo Quadrantes – parte 3

```

0177
0178 IF Contagem_zona_id < Contagem_zona_se AND Contagem_zona_id < Contagem_zona_ie AND
0179 Contagem_zona_id < Contagem_zona_sd THEN
0180     id_tri := TRUE;
0181 ELSE
0182     id_tri := FALSE;
0183 END_IF
0184
0185 IF Contagem_zona_ie < Contagem_zona_se AND Contagem_zona_ie < Contagem_zona_sd AND
0186 Contagem_zona_ie < Contagem_zona_id THEN
0187     ie_tri := TRUE;
0188 ELSE
0189     ie_tri := FALSE;
0190 END_IF
0191 ELSE
0192     ie_tri := FALSE; id_tri := FALSE; se_tri := FALSE; sd_tri := FALSE;
0193 END_IF
0194
0195
0196 (* ----- Caso 8 - Caso de orientação dos Quadrados sem cantos ----- *)
0197
0198 IF bt_caso9 THEN          (* Botão "Caso 9" foi premido *)
0199     alg_1_ok := FALSE; alg_1_ko := FALSE; alg_1_d := FALSE;
0200     IF Contagem_zona_sd < Contagem_zona_se AND Contagem_zona_sd < Contagem_zona_ie AND
0201     Contagem_zona_sd < Contagem_zona_id THEN
0202         sd_quad := TRUE;
0203     ELSE
0204         sd_quad := FALSE;
0205     END_IF
0206
0207     IF Contagem_zona_se < Contagem_zona_sd AND Contagem_zona_se < Contagem_zona_ie AND
0208     Contagem_zona_se < Contagem_zona_id THEN
0209         se_quad := TRUE;
0210     ELSE
0211         se_quad := FALSE;
0212     END_IF
0213
0214     IF Contagem_zona_id < Contagem_zona_se AND Contagem_zona_id < Contagem_zona_ie AND
0215     Contagem_zona_id < Contagem_zona_sd THEN
0216         id_quad := TRUE;
0217     ELSE
0218         id_quad := FALSE;
0219     END_IF
0220
0221     IF Contagem_zona_ie < Contagem_zona_se AND Contagem_zona_ie < Contagem_zona_sd AND
0222     Contagem_zona_ie < Contagem_zona_id THEN
0223         ie_quad := TRUE;
0224     ELSE
0225         ie_quad := FALSE;
0226     END_IF
0227 ELSE
0228     ie_quad := FALSE; id_quad := FALSE; se_quad := FALSE; sd_quad := FALSE;
0229 END_IF
0230
0231
0232 (* ----- Caso 8 - Caso de orientação dos Quadrados com reentrâncias ----- *)
0233
0234 IF bt_caso10 THEN        (* Botão "Caso 10" foi premido *)
0235
0236     IF Contagem_zona_sd < Contagem_zona_se AND Contagem_zona_sd < Contagem_zona_ie AND
0237     Contagem_zona_sd < Contagem_zona_id THEN
0238         sd_reent := TRUE;
0239     ELSE
0240         sd_reent := FALSE;

```

Figura A.46. Algoritmo Quadrantes – parte 4

```
0241 END_IF
0242
0243 IF Contagem_zona_se < Contagem_zona_sd AND Contagem_zona_se < Contagem_zona_ie AND
0244 Contagem_zona_se < Contagem_zona_id THEN
0245     se_reent := TRUE;
0246 ELSE
0247     se_reent := FALSE;
0248 END_IF
0249
0250 IF Contagem_zona_id < Contagem_zona_se AND Contagem_zona_id < Contagem_zona_ie AND
0251 Contagem_zona_id < Contagem_zona_sd THEN
0252     id_reent := TRUE;
0253 ELSE
0254     id_reent := FALSE;
0255 END_IF
0256
0257 IF Contagem_zona_ie < Contagem_zona_se AND Contagem_zona_ie < Contagem_zona_sd AND
0258 Contagem_zona_ie < Contagem_zona_id THEN
0259     ie_reent := TRUE;
0260 ELSE
0261     ie_reent := FALSE;
0262 END_IF
0263 ELSE
0264     ie_reent := FALSE; id_reent := FALSE; se_reent := FALSE; sd_reent := FALSE;
0265 END_IF
```

Figura A.47. Algoritmo Quadrantes – parte 5

0001	FUNCTION sextante : INT
0002	VAR_INPUT
0003	END_VAR
0004	VAR
0005	mascara : WORD;
0006	i : INT;
0007	j : INT;
0008	
0009	Contagem_zona_ie : INT; Contagem_zona_im : INT; Contagem_zona_id : INT;
0010	Contagem_zona_se : INT; Contagem_zona_sm : INT; Contagem_zona_sd : INT;
0011	Contagem_zona_me : INT; Contagem_zona_mm : INT; Contagem_zona_md : INT;
0012	
0013	END_VAR
0001	(* _____ Algoritmo 7 - Sextantes _____ *)
0002	
0003	(*----- Corpo geral do algoritmo -----*)
0004	
0005	
0006	(* Calculo prévio de alguns valores necessários. Número de "1's" em cada um dos Quadrantes *)
0007	
0008	(* Primeiro caso: contagem de 1's *)
0009	
0010	Contagem_zona_ie := 0; (* Totalizador a zero *)
0011	FOR i := 0 TO 1 DO
0012	FOR j := 0 TO 1 DO
0013	mascara := SHL(WORD#1,j); (* Percorre linhas de baixo para cima *)
0014	IF (Matriz_b[i] AND mascara) > 0 THEN
0015	Contagem_zona_ie = Contagem_zona_ie + 1;
0016	END_IF
0017	END_FOR
0018	END_FOR
0019	
0020	Contagem_zona_im := 0; (* Totalizador a zero *)
0021	FOR i := 2 TO 3 DO
0022	FOR j := 0 TO 1 DO
0023	mascara := SHL(WORD#1,j); (* Percorre linhas de baixo para cima *)
0024	IF (Matriz_b[i] AND mascara) > 0 THEN
0025	Contagem_zona_im := Contagem_zona_im + 1;
0026	END_IF
0027	END_FOR
0028	END_FOR
0029	
0030	Contagem_zona_id := 0; (* Totalizador a zero *)
0031	FOR i := 4 TO 5 DO
0032	FOR j := 0 TO 1 DO
0033	mascara := SHL(WORD#1,j); (* Percorre linhas de baixo para cima *)
0034	IF (Matriz_b[i] AND mascara) > 0 THEN
0035	Contagem_zona_id := Contagem_zona_id + 1;
0036	END_IF
0037	END_FOR
0038	END_FOR
0039	
0040	Contagem_zona_se := 0; (* Totalizador a zero *)
0041	FOR i := 0 TO 1 DO
0042	FOR j := 4 TO 5 DO
0043	mascara := SHL(WORD#1,j); (* Percorre linhas de baixo para cima *)
0044	IF (Matriz_b[i] AND mascara) > 0 THEN
0045	Contagem_zona_se := Contagem_zona_se + 1;
0046	END_IF
0047	END_FOR
0048	END_FOR
0049	
0050	Contagem_zona_sm := 0; (* Totalizador a zero *)
0051	FOR i := 2 TO 3 DO

Figura A.48. Algoritmo Sextantes – parte 1

```

0052 FOR j := 4 TO 5 DO
0053     mascara := SHL(WORD#1,j);          (* Percorre linhas de baixo para cima *)
0054     IF (Matriz_b[i] AND mascara) > 0 THEN
0055         Contagem_zona_sm := Contagem_zona_sm + 1;
0056     END_IF
0057 END_FOR
0058 END_FOR
0059
0060 Contagem_zona_sd := 0;                  (* Totalizador a zero *)
0061 FOR i := 4 TO 5 DO
0062     FOR j := 4 TO 5 DO
0063         mascara := SHL(WORD#1,j);      (* Percorre linhas de baixo para cima *)
0064         IF (Matriz_b[i] AND mascara) > 0 THEN
0065             Contagem_zona_sd := Contagem_zona_sd + 1;
0066         END_IF
0067     END_FOR
0068 END_FOR
0069
0070 Contagem_zona_me := 0;                  (* Totalizador a zero *)
0071 FOR i := 0 TO 1 DO
0072     FOR j := 2 TO 3 DO
0073         mascara := SHL(WORD#1,j);      (* Percorre linhas de baixo para cima *)
0074         IF (Matriz_b[i] AND mascara) > 0 THEN
0075             Contagem_zona_me := Contagem_zona_me + 1;
0076         END_IF
0077     END_FOR
0078 END_FOR
0079
0080 Contagem_zona_mm := 0;                  (* Totalizador a zero *)
0081 FOR i := 2 TO 3 DO
0082     FOR j := 2 TO 3 DO
0083         mascara := SHL(WORD#1,j);      (* Percorre linhas de baixo para cima *)
0084         IF (Matriz_b[i] AND mascara) > 0 THEN
0085             Contagem_zona_mm := Contagem_zona_mm + 1;
0086         END_IF
0087     END_FOR
0088 END_FOR
0089
0090 Contagem_zona_md := 0;                  (* Totalizador a zero *)
0091 FOR i := 4 TO 5 DO
0092     FOR j := 2 TO 3 DO
0093         mascara := SHL(WORD#1,j);      (* Percorre linhas de baixo para cima *)
0094         IF (Matriz_b[i] AND mascara) > 0 THEN
0095             Contagem_zona_md := Contagem_zona_md + 1;
0096         END_IF
0097     END_FOR
0098 END_FOR
0099
0100 (*-----Caso 1 - triangulo -----*)
0101 (* não apicado por ser semelhante ao dos quadrantes*)
0102
0103 (*-----Caso 2 - quadrado com furo no meio -----*)
0104 (*não aplicado por a zona coincidir com a do algoritmo de regiões comparadas *)
0105
0106 (*-----Caso 3 - Quadrado com reentrâncias -----*)
0107 (* não apicado por ser semelhante ao dos quadrantes*)
0108
0109 (*-----Caso 4 - triangulo com furo no meio -----*)
0110
0111 IF bt_caso4 THEN          (* Botão "Caso 4" foi premido *)
0112
0113     IF Contagem_zona_mm > 2 THEN      (*nas zonas sd e ie só admite um ou nenhum "1" activado*)
0114         sextante := 1;
0115     ELSE

```

Figura A.49. Algoritmo Sextantes – parte 2

```

0116 IF Contagem_zona_mm <= 1 THEN
0117     sextante := 0;
0118     END_IF
0119 END_IF
0120
0121 END_IF
0122
0123 (*-----Caso 5 - Rectangulo -----*)
0124 (* não aplicável *)
0125
0126 (*-----Caso 6 - quadrado dois furos ----- *)
0127 (* não aplicável por ser semelhante ao dos quadrantes*)
0128
0129 (*-----Caso 7 - quadrado com três furos -----*)
0130
0131 IF bt_caso7 THEN      (* Botão "Caso 7" foi premido *)
0132     IF Contagem_zona_se >= 1 AND Contagem_zona_ie >= 1 AND Contagem_zona_md >= 1 AND Contagem_zona_se <= 3
0133     AND Contagem_zona_ie <= 3 AND Contagem_zona_md <= 3 THEN      (*nas zonas sd e ie só admite um ou nenhum "1" activado*)
0134         sextante := 1;
0135     ELSE
0136         IF Contagem_zona_sd >= 1 AND Contagem_zona_id >= 1 AND Contagem_zona_me >= 1 AND Contagem_zona_me >= 1
0137         AND Contagem_zona_sd <= 3 AND Contagem_zona_id <= 3 AND Contagem_zona_me <= 3 THEN
0138             sextante := 0;
0139         END_IF
0140     END_IF
0141 END_IF
0142

```

Figura A.50. Algoritmo Sextantes – parte 3

```

0001 FUNCTION string_matching : INT
0002 VAR_INPUT
0003 END_VAR
0004 VAR
0005   Matriz_d: ARRAY [0..maximo_colunas] OF WORD; (* Matriz memória de "tabela de valores" da forma do triangulo desejado*)
0006   Matriz_e: ARRAY [0..maximo_colunas] OF WORD; (* Matriz memória com valores correspondentes à forma de rejeição*)
0007
0008   i: INT; t: INT; k: INT; d: INT; c: INT;
0009   E: BOOL; F: BOOL;
0010   contg_coluna: INT;
0011   Verifica_ok: BOOL;
0012   Verifica_ko: BOOL;
0013   mascara: WORD;
0014   Palavra_ok: WORD;
0015   Palavra_ko: WORD;
0016
0017   contg_coluna_ok: INT;
0018   contg_coluna_ko: INT;
0019   g: INT;
0020 END_VAR
0001 (* _____ Algoritmo 3 - String Matching _____ *)
0002
0003 (* _____ Caso 1 - Triângulo _____ *)
0004
0005
0006 IF bt_caso1 THEN      (* Botão "Caso 1" foi premido *)
0007
0008   (* sequência de palavras que descrevem a forma desejada*)
0009   Matriz_d[0] := 63; Matriz_d[1] := 31; Matriz_d[2] := 15; Matriz_d[3] := 7; Matriz_d[4] := 3; Matriz_d[5] := 1;
0010   (* a sua concatenção dá: 111111.011111.001111.000111.000011.000001 *)
0011
0012   (* sequência de palavras que descrevem forma de rejeição *)
0013   Matriz_e[0] := 1; Matriz_e[1] := 3; Matriz_e[2] := 7; Matriz_e[3] := 15; Matriz_e[4] := 31; Matriz_e[5] := 63;
0014   (* a sua concatenção dá: 000001.000011.000111.001111.011111.111111 *)
0015
0016 END_IF
0017
0018 (* _____ Caso 2 - Quadrado furado _____ *)
0019
0020 IF bt_caso2 THEN      (* Botão "Caso 2" foi premido *)
0021
0022   (* sequência de palavras que descrevem a forma desejada*)
0023   Matriz_d[0] := 63; Matriz_d[1] := 63; Matriz_d[2] := 51; Matriz_d[3] := 51; Matriz_d[4] := 63; Matriz_d[5] := 63;
0024   (* a sua concatenção dá: 111111.111111.110011.110011.111111.111111 *)
0025
0026   (* sequência de palavras que descrevem forma de rejeição *)
0027   Matriz_e[0] := 63; Matriz_e[1] := 63; Matriz_e[2] := 63; Matriz_e[3] := 63; Matriz_e[4] := 63; Matriz_e[5] := 63;
0028   (* a sua concatenção dá: 111111.111111.111111.111111.111111.111111 *)
0029
0030 END_IF
0031
0032 (* _____ Caso 3 - Quadrado com reentrâncias _____ *)
0033
0034 IF bt_caso3 THEN      (* Botão "Caso 3" foi premido *)
0035
0036   (* sequência de palavras que descrevem a forma desejada*)
0037   Matriz_d[0] := 63; Matriz_d[1] := 3; Matriz_d[2] := 63; Matriz_d[3] := 63; Matriz_d[4] := 48; Matriz_d[5] := 63;
0038   (* a sua concatenção dá: 111111.000011.111111.111111.110000.111111 *)
0039
0040   (* sequência de palavras que descrevem forma de rejeição *)
0041   Matriz_e[0] := 61; Matriz_e[1] := 61; Matriz_e[2] := 45; Matriz_e[3] := 45; Matriz_e[4] := 47; Matriz_e[5] := 47;
0042   (* a sua concatenção dá: 111101.111101.101101.101101.101111.101111 *)
0043
0044 END_IF

```

Figura A.51. Algoritmo String Matching – parte 1

```

0045
0046 (* ----- Caso 4 - Triângulo furado ----- *)
0047
0048 IF bt_caso4 THEN      (* Botão "Caso 4" foi premido *)
0049
0050   (* sequência de palavras que descrevem a forma desejada *)
0051   Matriz_d[0] := 63; Matriz_d[1] := 31; Matriz_d[2] := 15; Matriz_d[3] := 7; Matriz_d[4] := 3; Matriz_d[5] := 1;
0052   (* a sua concatenação dá: 111111.011111.001111.000111.000011.000001 *)
0053
0054   (* sequência de palavras que descrevem forma de rejeição *)
0055   Matriz_e[0] := 63; Matriz_e[1] := 19; Matriz_e[2] := 1; Matriz_e[3] := 1; Matriz_e[4] := 3; Matriz_e[5] := 1;
0056   (* a sua concatenação dá: 111111.010001.000001.000001.000011.000001 *)
0057
0058 END_IF
0059
0060 (* ----- Caso 5 - Retângulo ----- *)
0061 (* não aplicável *)
0062
0063
0064 (* ----- Caso 6 - Quadrado com dois furos ----- *)
0065
0066 IF bt_caso6 THEN      (* Botão "Caso 6" foi premido *)
0067
0068   (* sequência de palavras que descrevem a forma desejada *)
0069   Matriz_d[0] := 63; Matriz_d[1] := 60; Matriz_d[2] := 63; Matriz_d[3] := 63; Matriz_d[4] := 15; Matriz_d[5] := 63;
0070   (* a sua concatenação dá: 111111.111100.111111.111111.001111.111111 *)
0071
0072   (* sequência de palavras que descrevem forma de rejeição *)
0073   Matriz_e[0] := 63; Matriz_e[1] := 47; Matriz_e[2] := 63; Matriz_e[3] := 63; Matriz_e[4] := 61; Matriz_e[5] := 63;
0074   (* a sua concatenação dá: 111111.001111.111111.111111.111100.111111 *)
0075
0076 END_IF
0077
0078 (* ----- Caso 7 - Quadrado com três furos ----- *)
0079
0080 IF bt_caso7 THEN      (* Botão "Caso 7" foi premido *)
0081
0082   (* sequência de palavras que descrevem a forma desejada *)
0083   Matriz_d[0] := 63; Matriz_d[1] := 12; Matriz_d[2] := 63; Matriz_d[3] := 63; Matriz_d[4] := 51; Matriz_d[5] := 63;
0084   (* a sua concatenação dá: 111111.101101.111111.111111.110011.111111 *)
0085
0086   (* sequência de palavras que descrevem forma de rejeição *)
0087   Matriz_e[0] := 63; Matriz_e[1] := 51; Matriz_e[2] := 63; Matriz_e[3] := 63; Matriz_e[4] := 12; Matriz_e[5] := 63;
0088   (* a sua concatenação dá: 111111.110011.111111.111111.101101.111111 *)
0089
0090 END_IF
0091
0092 (* ----- Corpo geral do algoritmo ----- *)
0093
0094 i := 0;                (* o i é o índice das colunas *)
0095 E := FALSE;
0096 Verifica_ok := FALSE;
0097 Verifica_ko := FALSE;
0098 WHILE i < 15 AND E = FALSE DO (*enquanto nos encontrarmos dentro do espaço de amostragem o ciclo é executado *)
0099   IF Matriz_b[i] = Matriz_d[0] THEN (* se a palavra i for igual à 1ª procurada então inicia a confirmação da sequência *)
0100     Verifica_ok := TRUE;
0101   END_IF
0102   IF Matriz_b[i] = Matriz_e[0] THEN (* se a palavra i for igual à 1ª procurada então inicia a confirmação da sequência *)
0103     Verifica_ko := TRUE;
0104   END_IF
0105   d := i; (*incrementa valor da posição no espaço de características para determinação da sequência*)
0106   c := 0; (* incrementa valor da sequência que está a ser verificada*)
0107   g := i;
0108   t := 0;

```

Figura A.52. Algoritmo String Matching – parte 2

0109	
0110	WHILE Verifica_ok AND c <- 5 DO (* vai verificar se a sequência da forma pretendida se verifica *)
0111	contg_coluna_ok := 0;
0112	Palavra_ok := Matriz_b[d] XOR Matriz_d[c];
0113	FOR k := 0 TO 5 DO
0114	mascara := SHL(WORD#1,k); (* Percorre linhas de baixo para cima *)
0115	IF (Palavra_ok AND mascara) > 0 THEN
0116	Contg_coluna_ok := Contg_coluna_ok + 1;
0117	END_IF
0118	END_FOR
0119	IF Contg_coluna_ok <- 1 THEN (* permite apenas um erro (símbolo diferente) por palavra*)
0120	Verifica_ok := TRUE;
0121	ELSE
0122	Verifica_ok := FALSE;
0123	END_IF
0124	d := d + 1;
0125	c := c + 1;
0126	END_WHILE
0127	c := c - 1; (* posição atingida correctamente na sequência desejada*)
0128	d := d - 1; (* posição atingida na no espaço de características*)
0129	IF c = 5 THEN
0130	E := TRUE;
0131	EXIT;
0132	END_IF
0133	
0134	WHILE Verifica_ko AND t <- 5 DO (* vai verificar se a sequencia da forma de rejeição se verifica *)
0135	contg_coluna_ko := 0;
0136	Palavra_ko := Matriz_b[g] XOR Matriz_e[t];
0137	FOR k := 0 TO 5 DO
0138	mascara := SHL(WORD#1,k); (* Percorre linhas de baixo para cima *)
0139	IF (Palavra_ko AND mascara) > 0 THEN
0140	Contg_coluna_ko := Contg_coluna_ko + 1;
0141	END_IF
0142	END_FOR
0143	IF Contg_coluna_ko <- 1 THEN
0144	Verifica_ko := TRUE;
0145	ELSE
0146	Verifica_ko := FALSE;
0147	END_IF
0148	g := g + 1;
0149	t := t + 1;
0150	END_WHILE
0151	t := t - 1;
0152	IF t = 5 THEN
0153	F := TRUE;
0154	EXIT;
0155	END_IF
0156	
0157	i := i + 1; (*incrementa o i e volta a procurar encontrar a palavra desejada*)
0158	END_WHILE
0159	
0160	IF E = TRUE THEN
0161	string_matching := 1;
0162	ELSE
0163	IF F = TRUE THEN
0164	string_matching := 0;
0165	ELSE
0166	alg_3_aux := TRUE;
0167	END_IF
0168	END_IF
0169	

Figura A.53. Algoritmo String Matching – parte 3

0001	FUNCTION nh_find : INT
0002	VAR_INPUT
0003	linha : INT;
0004	inicio : INT;
0005	END_VAR
0006	VAR
0007	
0008	mascara : WORD;
0009	old, new: WORD; (* Registos temporários *)
0010	i: INT;
0011	maximo: INT;
0012	
0013	
0014	END_VAR
0001	
0002	(* Transições Descendentes *)
0003	(* transição negativa (de 1 para 0) quando se procura numa linha horizontal de esquerda para a direita*)
0004	
0005	(* definida uma linha - o algoritmo vai de coluna em coluna à procura de uma transição descendente *)
0006	(* reporta o valor i da coluna em que é detectada a última transição *)
0007	
0008	IF horizontal THEN
0009	maximo := amostras_coluna;
0010	ELSE
0011	maximo := maximo_linhas;
0012	END_IF
0013	
0014	mascara := SHL (WORD#1, linha);
0015	
0016	IF inicio = 0 THEN
0017	old := 0;
0018	ELSE
0019	old := Matriz_b[inicio-1] AND mascara; (* palavra "old" na posição/coluna anterior *)
0020	END_IF
0021	
0022	
0023	FOR i:= inicio TO maximo DO
0024	new := Matriz_b[i] AND mascara; (* palavra "new" na posição/coluna actual *)
0025	IF new < old THEN (* detecta uma transição descendente *)
0026	EXIT;
0027	ELSE
0028	old := new;
0029	END_IF
0030	END_FOR
0031	
0032	IF i > maximo THEN
0033	IF old > 0 THEN
0034	nh_find := i;
0035	ELSE
0036	nh_find := -1;
0037	END_IF
0038	ELSE
0039	nh_find:= i;
0040	END_IF
0041	

Figura A.54. Função nh_find

```

0001 FUNCTION nv_find : INT
0002 VAR_INPUT
0003     coluna : INT;
0004     inicio : INT;
0005 END_VAR
0006
0007 VAR
0008     mascara : WORD;
0009     old, new : WORD;
0010     i : INT;
0011 END_VAR
0012
0013 (* Transições Horizontal Negativa *)
0014 (* transição negativa (de 1 para 0) quando se procura numa coluna vertical de baixo para cima*)
0015
0016 (* definida uma coluna - o algoritmo vai de linha em linha à procura de uma transição negativa *)
0017 (* reporta o valor i da linha em que é detectada a última transição*)
0018
0019 IF inicio = 0 THEN
0020     old := 0;
0021 ELSE
0022     old := Matriz_b[coluna] AND SHL(WORD#1, inicio-1);
0023 END_IF
0024
0025 FOR i := inicio TO 5 DO
0026     new := SHR((Matriz_b[coluna] AND SHL(WORD#1,i)), i);
0027     IF new < old THEN
0028         EXIT;
0029     END_IF
0030     old := new;
0031 END_FOR
0032
0033 IF i=6 THEN
0034     IF old <> 0 THEN
0035         nv_find := i;
0036     ELSE
0037         nv_find := -1;
0038     END_IF
0039 ELSE
0040     nv_find := i;
0041 END_IF

```

Figura A.55. Função nv_find

0001	FUNCTION ph_find : INT
0002	VAR_INPUT
0003	linha : INT; (* adquire o valor do i - que vai variar de 5 até 0 - percorre as linha no sento decrescente *)
0004	inicio : INT; (* adquire o valor do k - e salte de valor em valor obtido nesta mesma função (ph_find final) *)
0005	(* coluna de inicio de novo ciclo*)
0006	END_VAR
0007	
0008	
0009	VAR
0010	
0011	mascara : WORD;
0012	old, new : WORD;
0013	i : INT;
0014	maximo : INT;
0015	
0016	END_VAR
0001	
0002	(* Transições Ascendentes *)
0003	(* transição positiva (de 0 para 1) quando se procura numa linha horizontal de esquerda para a direita*)
0004	
0005	(* definida uma linha - o algoritmo vai de coluna em coluna à procura de uma transição ascendente *)
0006	(* reporta o valor i da coluna em que é detectada a última transição*)
0007	
0008	IF horizontal THEN
0009	maximo := amostras_coluna;
0010	ELSE
0011	maximo := maximo_linhas;
0012	END_IF
0013	
0014	mascara := SHL (WORD#1, linha);
0015	
0016	IF inicio = 0 THEN
0017	old := 0;
0018	ELSE
0019	old := Matriz_b[inicio-1] AND mascara; (* palavra correspondente à coluna anterior àquela que se pretende testar *)
0020	END_IF
0021	
0022	
0023	FOR i:= inicio TO maximo DO (* da coluna inicial no sentido crescente, no máximo atinge o valor máximo *)
0024	new := Matriz_b[i] AND mascara;
0025	IF new > old THEN (* se detectar uma transição ascendente *)
0026	EXIT;
0027	ELSE
0028	old := new;
0029	END_IF
0030	END_FOR
0031	
0032	IF i > maximo THEN
0033	ph_find := -1; (*se não encontrar nenhuma new > old*)
0034	ELSE
0035	ph_find:= i; (*se encontrar reporta valor *)
0036	END_IF
0037	
0038	
0039	
0040	
0041	

Figura A.56. Função ph_find

```

0001 FUNCTION pv_find : INT
0002 VAR_INPUT
0003     coluna : INT;
0004     inicio : INT;
0005 END_VAR
0006 VAR
0007     mascara : WORD;
0008     old, new : WORD;
0009     i: INT;
0010 END_VAR
0001
0002 (* Transições Horizontal Positiva *)
0003 (* transição positiva (de 0 para 1) quando se procura numa coluna vertical de baixo para cima*)
0004
0005 (* definida uma coluna - o algoritmo vai de linha em linha à procura de uma transição positiva *)
0006 (* reporta o valor i da linha em que é detectada a última transição*)
0007
0008 IF inicio = 0 THEN
0009     old := 0;
0010 ELSE
0011     old := Matriz_b[coluna] AND SHL(WORD#1, inicio-1);
0012 END_IF
0013
0014
0015
0016 FOR i := inicio TO 5 DO
0017     new := SHR((Matriz_b[coluna] AND SHL(WORD#1,i)), i);
0018     IF new > old THEN
0019         EXIT;
0020     END_IF
0021     old := new;
0022 END_FOR
0023
0024
0025 IF i=6 THEN
0026     pv_find := -1;
0027 ELSE
0028     pv_find := i;
0029 END_IF

```

Figura A.57. Função pv_find

0001	FUNCTION triangulo_contorno : INT
0002	VAR_INPUT
0003	
0004	END_VAR
0005	
0006	VAR
0007	i: INT; j: INT; k: INT;
0008	
0009	(* Estados do sistema *)
0010	A: BOOL; B: BOOL; C: BOOL; D: BOOL; E: BOOL;
0011	G: BOOL; U: BOOL; V: BOOL; F: BOOL; H: BOOL;
0012	
0013	(* adquire valores das primitivas - chamando as subrotinas correspondentes *)
0014	retorna_pv: INT; retorna_ph: INT; retorna_nv: INT; retorna_nh: INT;
0015	
0016	(*Variáveis auxiliares *)
0017	l: INT; t: INT; m: INT; w: INT;
0018	n: INT; p: INT; q: INT; r: INT; x: INT; y: INT;
0019	
0020	END_VAR
0001	(* Algoritmo - contorno integral - detecta o contorno exacto do triangulo pretendido *)
0002	
0003	IF bt_caso1 THEN (* Botão "Caso 1" foi premido *)
0004	
0005	(* Ciclo que detecta o contorno vertical inicial *)
0006	i := 0;
0007	j := 0;
0008	retorna_pv := primitiva_pv(i,j); (* subrotina om valor da primitiva - transição ascendente (positiva/vertical) *)
0009	IF retorna_pv = 1 THEN
0010	i := i+1;
0011	k := 1;
0012	A := TRUE; (* estado A activado *)
0013	WHILE A = TRUE DO
0014	retorna_pv := primitiva_pv(i,j);
0015	IF retorna_pv = 1 THEN
0016	i := i+1;
0017	k := k+1; (* k - contador das transições ascendentes *)
0018	ELSE
0019	A := FALSE; (* se não houver transição ascendente significa que se saiu desse estado *)
0020	i := i-1;
0021	END_IF
0022	END_WHILE
0023	END_IF
0024	
0025	
0026	IF A = FALSE THEN
0027	t := 0; (* t - contador das transições descendentes *)
0028	retorna_ph := primitiva_ph(i,j);
0029	IF retorna_ph = 1 THEN (* se ocorrer transição horizontal positiva passa para o estado B *)
0030	l := 0; (* l - contador das transições horizontais positivas *)
0031	B := TRUE;
0032	C := FALSE;
0033	WHILE B = TRUE OR C = TRUE DO
0034	WHILE B = TRUE DO
0035	retorna_ph := primitiva_ph(i,j);
0036	IF retorna_ph = 1 THEN
0037	j := j+1;
0038	l := l+1;
0039	ELSE
0040	j := j-1;
0041	B := FALSE;
0042	retorna_nv := primitiva_nv(i,j);
0043	IF retorna_nv = 1 THEN
0044	C:=TRUE;

Figura A.58. Algoritmo Contorno – parte 1

```

0045     END_IF
0046     END_IF
0047     END_WHILE
0048     WHILE C = TRUE DO
0049         retorna_nv := primitiva_nv(i,j);
0050         IF retorna_nv = 1 THEN
0051             i := i-1;
0052             t := t+1;
0053         ELSE
0054             i := i+1;
0055             C := FALSE;
0056             retorna_ph := primitiva_ph(i,j);
0057             IF retorna_ph = 1 THEN
0058                 B:=TRUE;
0059             END_IF
0060             retorna_nh:=primitiva_nh(i,j);
0061             IF retorna_nh=1 AND i=0 THEN
0062                 B:=FALSE;
0063             END_IF
0064         END_IF
0065     END_WHILE
0066     i:=i-1;
0067     j:=j+1;
0068     END_WHILE
0069     END_IF
0070 END_IF
0071
0072 i:=i+1;
0073 j:=j-1;
0074 IF (B=FALSE) AND (C=FALSE) THEN
0075     IF t = k THEN
0076         retorna_nh := primitiva_nh(i,j);
0077         IF retorna_nh = 1 THEN
0078             rr := 1;
0079             D := TRUE;
0080             WHILE D = TRUE AND j>0 DO
0081                 retorna_nh := primitiva_nh(i,j);
0082                 IF retorna_nh = 1 THEN
0083                     j := j-1;
0084                     rr :=rr+1;
0085                 END_IF
0086                 IF j=0 THEN
0087                     D:=FALSE;
0088                 END_IF
0089             END_WHILE
0090         END_IF
0091     END_IF
0092 END_IF
0093
0094 IF D=FALSE THEN
0095     retorna_pv := primitiva_pv(i,j);
0096     IF retorna_pv = 1 AND k=t AND rr=i THEN
0097         E := TRUE;
0098     ELSE
0099         E := FALSE;
0100     END_IF
0101 END_IF
0102
0103 (* Identificação da forma de rejeição *)
0104
0105 x := 0;
0106 y := 0;
0107 m := 0;
0108 p := 0;

```

(* se houve o mesmo numero de transições ascendentes como descendentes *)

(* m - contador das transições ascendentes*)

(* p - contador das transições horizontais positivas*)

Figura A.59. Algoritmo Contorno – parte 2

```

0109 retorna_pv := primitiva_pv(x,y);
0110 IF retorna_pv = 1 THEN
0111   x := x+1;
0112   m := m+1;
0113   G := TRUE;           (* se detectar transição ascendente passa para o estado G *)
0114   H := FALSE;
0115   WHILE G = TRUE OR H = TRUE DO
0116     WHILE G = TRUE DO
0117       retorna_pv := primitiva_pv(x,y);
0118       IF retorna_pv = 1 THEN
0119         x := x+1;
0120         m := m+1;
0121       ELSE
0122         x := x-1;
0123         G := FALSE;
0124         retorna_ph := primitiva_ph(x,y);
0125         IF retorna_ph = 1 THEN
0126           H:=TRUE;
0127         END_IF
0128       END_IF
0129     END_WHILE
0130     WHILE H = TRUE DO
0131       retorna_ph := primitiva_ph(x,y);
0132       IF retorna_ph = 1 THEN
0133         y := y+1;
0134         p := p+1;
0135       ELSE
0136         y := y-1;
0137         H := FALSE;
0138         retorna_pv := primitiva_pv(x,y);
0139         IF retorna_pv = 1 THEN
0140           G:=TRUE;
0141         END_IF
0142         retorna_nv:=primitiva_nv(x,y);
0143         IF retorna_nv=1 AND x=5 THEN
0144           G:=FALSE;
0145         END_IF
0146       END_IF
0147     END_WHILE
0148     y:=y+1;
0149     x:=x+1;
0150   END_WHILE
0151 END_IF
0152
0153 (* Ciclo que detecta o contorno vertical inicial *)
0154 x:=x-1;
0155 y:=y-1;
0156 n:= 0;
0157 IF (G=FALSE) AND (H=FALSE) THEN
0158 retorna_nv := primitiva_nv(x,y);           (* subrotina om valor da primitiva - transição ascendente (positiva/vertical) *)
0159 IF retorna_nv = 1 THEN
0160   x := x-1;
0161   n := n+1;
0162   F := TRUE;           (* estado A activado *)
0163   WHILE F = TRUE DO
0164     retorna_nv := primitiva_nv(x,y);
0165     IF retorna_nv = 1 THEN
0166       x := x-1;
0167       n := n+1;           (* k - contador das transições ascendentes*)
0168     ELSE
0169       F := FALSE;           (* se não houver transição ascendente significa que se saiu desse estado *)
0170     END_IF
0171   END_WHILE
0172 END_IF

```

Figura A.60. Algoritmo Contorno – parte 3

```

0173 END_IF
0174
0175 x:= x+1;
0176 IF F=FALSE THEN
0177     IF n = m THEN                                     (* se houve o mesmo numero de transições ascendentes como descendentes *)
0178         retorna_nh := primitiva_nh(x,y);
0179         IF retorna_nh = 1 THEN
0180             q := 1;
0181             U := TRUE;
0182             WHILE U = TRUE AND y>0 DO
0183                 retorna_nh := primitiva_nh(x,y);
0184                 IF retorna_nh = 1 THEN
0185                     y := y-1;
0186                     q :=q+1;
0187                 END_IF
0188                 IF y=0 THEN
0189                     U:=FALSE;
0190                 END_IF
0191             END_WHILE
0192         END_IF
0193     END_IF
0194 END_IF
0195
0196 IF U=FALSE THEN
0197     retorna_pv := primitiva_pv(x,y);
0198     IF retorna_pv = 1 AND n=m AND p=q THEN
0199         V := TRUE;
0200     ELSE
0201         V := FALSE;
0202     END_IF
0203 END_IF
0204
0205 IF E THEN
0206     triangulo_contorno := 1;
0207 ELSE
0208     IF V THEN
0209         triangulo_contorno := 0;
0210     ELSE
0211         alg_5_aux := TRUE;
0212     END_IF
0213 END_IF
0214
0215 END_IF

```

Figura A.61. Algoritmo Contorno – parte 4

```

0001 FUNCTION triangulos_2 : INT
0002 VAR_INPUT
0003 END_VAR
0004 VAR
0005   i: INT; K: INT; P: INT; t: INT; j: INT; v: INT; u: INT; x: INT; y: INT;
0006   OK: BOOL; KO: BOOL; OK_2: BOOL; KO_2: BOOL;
0007   new: WORD; mascara: WORD; old: WORD; mascara_old: WORD; mascara_new: WORD;
0008
0009   retorna_nv_vector: ARRAY [0..15] OF INT; retorna_nh_vector: ARRAY [0..15] OF INT;
0010   retorna_ok: INT; retorna_ko: INT;
0011   retorna_nh: INT; retorna_ph: INT; retorna_nv: INT; retorna_pv: INT;
0012   retorna_nh_s: INT; retorna_nh_l: INT; retorna_ph_l: INT; retorna_ph_s: INT; retorna_ph_m: INT;
0013
0014   conta_trans_ph: INT; conta_trans_nh: INT; conta_trans_pv: INT; conta_trans_nv: INT;
0015   conta_trans_nh_l: INT; conta_trans_nh_s: INT; conta_trans_ph_l: INT; conta_trans_ph_s: INT; conta_trans_ph_m: INT;
0016 END_VAR
0001
0002 (* _____ Algoritmo 4 - Sequência de transições (Caso 1) _____ *)
0003
0004 (*----- Corpo geral do algoritmo -----*)
0005
0006 (*----- Caso 1 - Identificaçã do Triângulo -----*)
0007
0008 IF bt_caso1 THEN          (* Botão "Caso 1" foi premido *)
0009
0010   K := 0;
0011   KO := FALSE;
0012   FOR i := 0 TO 5 DO
0013     retorna_ko:= ph_find (i,k);      (*diz se na linha i e apartir da coluna k detecta alguma transição positiva *)
0014     IF retorna_ko = -1 THEN
0015       KO := FALSE;
0016       (*RETURN; *)
0017       EXIT;
0018     ELSE
0019       K:= retorna_ko+1;      (*avança na linha - e avança uma coluna relativamente à da ultima transição detectada *)
0020       KO := TRUE;
0021     END_IF
0022   END_FOR
0023
0024   P := 0;
0025   OK := FALSE;
0026   FOR t := 5 TO 0 BY -1 DO
0027     retorna_ok:= nh_find (t,P);      (*diz se na linha t e apartir da coluna P detecta alguma transição negativa *)
0028     IF retorna_ok = -1 THEN
0029       OK := FALSE;
0030       (*RETURN; *)
0031       EXIT;
0032     ELSE
0033       P:= retorna_ok+1;      (* "avançar" na linha - avança uma coluna relativamente à da ultima transição detectada *)
0034       OK := TRUE;
0035     END_IF
0036   END_FOR
0037
0038 END_IF
0039 (*----- caso 2 - identificaçã de quadrado furado -----*)
0040
0041 IF bt_caso2 THEN          (* Botão "Caso 2" foi premido *)
0042
0043   conta_trans_ph := 0;
0044   conta_trans_nh := 0;
0045   FOR x := 2 TO 3 DO          (* x- coluna ; y- linha *)
0046     FOR y := 1 TO 4 DO
0047       retorna_nh:= primitiva_nh(y,x);      (*diz se na linha y e na coluna x detecta alguma transição horizontal negativa *)
0048       IF retorna_nh = -1 THEN

```

Figura A.62. Algoritmo Transições – parte 1

```

0049     conta_trans_nh := conta_trans_nh + 1;
0050     END_IF
0051     retorna_ph := primitiva_ph(y,x);      (*diz se na linha y e na coluna x detecta alguma transição horizontal negativa *)
0052     IF retorna_ph = 1 THEN
0053         conta_trans_ph := conta_trans_ph + 1;
0054     END_IF
0055     END_FOR
0056 END_FOR
0057
0058 conta_trans_pv := 0;
0059 conta_trans_nv := 0;
0060 FOR v := 2 TO 3 DO                          (* u- coluna ; v - linha *)
0061     FOR u := 1 TO 4 DO
0062         retorna_nv := primitiva_nv(v,u);    (*diz se na linha y e na coluna x detecta alguma transição horizontal negativa *)
0063         IF retorna_nv = 1 THEN
0064             conta_trans_nv := conta_trans_nv + 1;
0065         END_IF
0066         retorna_pv := primitiva_pv(v,u);    (*diz se na linha y e na coluna x detecta alguma transição horizontal negativa *)
0067         IF retorna_pv = 1 THEN
0068             conta_trans_pv := conta_trans_pv + 1;
0069         END_IF
0070     END_FOR
0071 END_FOR
0072
0073 IF (conta_trans_pv + conta_trans_ph) >= 4 AND (conta_trans_nv + conta_trans_nh) >= 4 THEN
0074     OK := TRUE;
0075     KO := FALSE;
0076 END_IF
0077 IF (conta_trans_pv + conta_trans_ph) <= 2 AND (conta_trans_nv + conta_trans_nh) <= 2 THEN
0078     OK := FALSE;
0079     KO := TRUE;
0080 END_IF
0081
0082
0083 (*
0084     conta_trans_pv := 0;
0085     conta_trans_nv := 0;
0086     FOR x := 1 TO 4 DO                          (* x- coluna ; y - linha *)
0087         FOR y := 2 TO 3 DO
0088             mascara := SHL (WORD#1, y);
0089             old := Matriz_b[x] AND mascara;
0090             new := Matriz_b[x+1] AND mascara;
0091
0092             IF old > new THEN
0093                 conta_trans_nv := conta_trans_nv + 1;
0094             END_IF
0095             IF old < new THEN
0096                 conta_trans_pv := conta_trans_pv + 1;
0097             END_IF
0098         END_FOR
0099     END_FOR
0100
0101     IF conta_trans_pv >= 2 THEN
0102         OK_2 := TRUE;
0103         KO_2 := FALSE;
0104     END_IF
0105     IF conta_trans_pv < 1 THEN
0106         OK_2 := FALSE;
0107         KO_2 := TRUE;
0108     END_IF
0109 *)
0110 END_IF
0111
0112 (*----- caso 3 - identificação de quadrado reentrâncias -----*)

```

Figura A.63. Algoritmo Transições – parte 2

```

0113
0114 IF bt_caso3 THEN          (* Botão "Caso 3" foi premido *)
0115
0116   conta_trans_pv := 0;
0117   conta_trans_nv := 0;
0118   FOR y := 0 TO 5 DO
0119       retorna_nv := nv_find(1,y);      (* x- coluna ; y - linha *)
0120       IF retorna_nv = -1 THEN
0121           alg_4_aux := TRUE;
0122       ELSE
0123           conta_trans_nv := retorna_nv;
0124       END_IF
0125       retorna_pv := pv_find(4,y);      (* procura na coluna 4 a posição da transição horizontal negativa *)
0126       IF retorna_pv = -1 THEN
0127           alg_4_aux := TRUE;
0128       ELSE
0129           conta_trans_pv := retorna_pv;
0130       END_IF
0131   END_FOR
0132
0133   conta_trans_ph := 0;
0134   conta_trans_nh := 0;
0135   FOR x := 0 TO 5 DO
0136       retorna_ph := ph_find(1,x);      (* procura na linha 1 a posição da transição ascendente *)
0137       IF retorna_ph = -1 THEN
0138           alg_4_aux := TRUE;
0139       ELSE
0140           conta_trans_ph := retorna_ph;
0141       END_IF
0142       retorna_nh := nh_find(4,x);      (* procura na linha 4 a posição da transição descendente *)
0143       IF retorna_nh = -1 THEN
0144           alg_4_aux := TRUE;
0145       ELSE
0146           conta_trans_nh := retorna_nh;
0147       END_IF
0148   END_FOR
0149
0150 (* valores encontrado dizem respeito às últimas transições daquele tipo, encontradas no padrão *)
0151
0152   IF conta_trans_pv = 4 AND conta_trans_ph = 5 AND conta_trans_nv = 2 AND conta_trans_nh = 6 THEN
0153       OK := TRUE;
0154       KO := FALSE;
0155       alg_4_aux := FALSE;
0156   END_IF
0157   IF conta_trans_pv = 5 AND conta_trans_ph = 4 AND conta_trans_nv = 5 AND conta_trans_nh = 2 THEN
0158       OK := FALSE;
0159       KO := TRUE;
0160       alg_4_aux := FALSE;
0161   END_IF
0162
0163 END_IF
0164
0165 (*----- caso 4 - identificaçã de Triângulo furado -----*)
0166
0167 IF bt_caso4 THEN          (* Botão "Caso 4" foi premido *)
0168
0169   conta_trans_nv := 0;
0170   FOR y := 0 TO 5 DO
0171       retorna_nv := nv_find(3,y);      (* procura na coluna 1 a posição da transição horizontal positiva *)
0172       IF retorna_nv = -1 THEN
0173           alg_4_aux := TRUE;
0174       ELSE
0175           conta_trans_nv := retorna_nv;
0176       END_IF

```

Figura A.64. Algoritmo Transições – parte 3

```

0177 END_FOR
0178
0179 conta_trans_nh := 0;
0180 FOR x := 0 TO 5 DO (* x- coluna ; y- linha *)
0181     retorna_nh := nh_find(3,x); (* procura na linha 4 a posição da transição descendente *)
0182     IF retorna_nh = -1 THEN
0183         alg_4_aux := TRUE;
0184     ELSE
0185         conta_trans_nh := retorna_nh;
0186     END_IF
0187 END_FOR
0188
0189 (* valores encontrado dizem respeito às últimas transições daquele tipo, encontradas no padrão *)
0190 IF conta_trans_nv = 3 AND conta_trans_nh = 3 THEN
0191     OK := TRUE;
0192     KO := FALSE;
0193     alg_4_aux := FALSE;
0194 END_IF
0195 IF conta_trans_nv = 1 AND conta_trans_nh = 1 THEN
0196     OK := FALSE;
0197     KO := TRUE;
0198     alg_4_aux := FALSE;
0199 END_IF
0200
0201 END_IF
0202
0203 (*----- caso 5 - Rectângulo -----*)
0204
0205 IF bt_caso5 THEN (* Botão "Caso 5" foi premido *)
0206
0207     FOR x := 0 TO amostras_coluna DO
0208         FOR y := 0 TO amostras_linha + 1 DO (* x- coluna ; y- linha *)
0209             retorna_nv_vector[x] := nv_find(x,y); (* procura na coluna 1 a posição da transição horizontal positiva *)
0210             IF retorna_nv_vector[x] = -1 THEN
0211                 alg_4_aux := TRUE;
0212             END_IF
0213         END_FOR
0214     END_FOR
0215     conta_trans_nv := 0;
0216     med_nv := 0;
0217     FOR x := 0 TO amostras_coluna DO
0218         conta_trans_nv := conta_trans_nv + retorna_nv_vector[x];
0219     END_FOR
0220     med_nv := conta_trans_nv / (amostras_coluna + 1);
0221
0222     FOR y := 0 TO amostras_linha DO
0223         FOR x := 0 TO amostras_coluna DO (* x- coluna ; y- linha *)
0224             retorna_nh_vector[y] := nh_find(y,x); (* procura na linha 4 a posição da transição descendente *)
0225             IF retorna_nh_vector[y] = -1 THEN
0226                 alg_4_aux := TRUE;
0227             END_IF
0228         END_FOR
0229     END_FOR
0230     conta_trans_nh := 0;
0231     med_nh := 0;
0232     FOR y := 0 TO amostras_linha DO
0233         conta_trans_nh := conta_trans_nh + retorna_nh_vector[y];
0234     END_FOR
0235     med_nh := conta_trans_nh / (amostras_linha + 1);
0236
0237 (* valores encontrado dizem respeito às últimas transições daquele tipo, encontradas no padrão *)
0238 IF med_nv = med_nh THEN
0239     OK := TRUE;
0240     KO := FALSE;

```

Figura A.65. Algoritmo Transições – parte 4

```

0241 alg_4_aux := FALSE;
0242 ELSE
0243 IF med_nv > (med_nh +1) OR med_nh > (med_nv +1) THEN (*retângulos vertical e horizontal respectivamente*)
0244   OK := FALSE;
0245   KO := TRUE;
0246   alg_4_aux := FALSE;
0247 ELSE
0248   alg_4_aux := TRUE;
0249   KO := FALSE;
0250   OK := FALSE;
0251 END_IF
0252 END_IF
0253
0254 END_IF
0255
0256 (*----- caso 6 - Quadrado com dois furos -----*)
0257
0258 IF bt_caso6 THEN      (* Botão "Caso 6" foi premido *)
0259
0260   conta_trans_ph_i := 0;
0261   conta_trans_ph_s := 0;
0262   FOR x :- 0 TO 5 DO      (* x- coluna ; y- linha *)
0263     retorna_ph_i := ph_find(1,x);      (* procura na linha 1 a posição da transição ascendente *)
0264     IF retorna_ph_i = -1 THEN
0265       alg_4_aux := TRUE;
0266     ELSE
0267       conta_trans_ph_i := retorna_ph_i;
0268     END_IF
0269     retorna_ph_s := ph_find(4,x);      (* procura na linha 4 a posição da transição descendente *)
0270     IF retorna_ph_s = -1 THEN
0271       alg_4_aux := TRUE;
0272     ELSE
0273       conta_trans_ph_s := retorna_ph_s;
0274     END_IF
0275   END_FOR
0276
0277 (* valores encontrado dizem respeito às ultimas transições daquele tipo, encontradas no padrão *)
0278
0279   IF conta_trans_ph_i <= 2 AND conta_trans_ph_s >= 4 THEN
0280     OK := TRUE;
0281     KO := FALSE;
0282     alg_4_aux := FALSE;
0283   END_IF
0284   IF (conta_trans_ph_i >= 4 AND conta_trans_ph_s <= 2) XOR conta_trans_ph_i = 2 XOR conta_trans_ph_s = 5 OR
0285   (conta_trans_ph_s <= 1 AND conta_trans_ph_i <= 1) THEN
0286     OK := FALSE;
0287     KO := TRUE;
0288     alg_4_aux := FALSE;
0289   END_IF
0290
0291 END_IF
0292
0293 (*----- caso 7 - Quadrado com três furos -----*)
0294
0295 IF bt_caso7 THEN      (* Botão "Caso 7" foi premido *)
0296
0297   conta_trans_ph_i := 0;
0298   conta_trans_ph_s := 0;
0299   conta_trans_ph_m := 0;
0300   (* função ( linha , coluna ) *)
0301
0302   FOR x :- 0 TO 2 DO
0303     retorna_ph_i := ph_find(1,x);      (* procura na linha 1 a posição da transição ascendente *)
0304     IF retorna_ph_i = -1 THEN

```

Figura A.66. Algoritmo Transições – parte 5

```

0305     alg_4_aux := TRUE;
0306 ELSE
0307     conta_trans_ph_i := retorna_ph_i;
0308 END_IF
0309
0310 retorna_ph_s := ph_find(4,x);      (* procura na linha 4 a posição da transição descendente *)
0311 IF retorna_ph_s = -1 THEN
0312     alg_4_aux := TRUE;
0313 ELSE
0314     conta_trans_ph_s := retorna_ph_s;
0315 END_IF
0316 END_FOR
0317
0318 FOR x := 0 TO 5 DO
0319     retorna_ph_m := ph_find(3,x);  (* procura na linha 4 a posição da transição descendente *)
0320     IF retorna_ph_m = -1 THEN
0321         alg_4_aux := TRUE;
0322     ELSE
0323         conta_trans_ph_m := retorna_ph_m;
0324     END_IF
0325 END_FOR
0326 (* valores encontrado dizem respeito às últimas transições daquele tipo, encontradas no padrão *)
0327
0328 IF conta_trans_ph_i = conta_trans_ph_s AND conta_trans_ph_i < conta_trans_ph_m THEN
0329     OK := TRUE;
0330     KO := FALSE;
0331     alg_4_aux := FALSE;
0332 END_IF
0333 IF conta_trans_ph_i = conta_trans_ph_s AND conta_trans_ph_i > conta_trans_ph_m THEN
0334     OK := FALSE;
0335     KO := TRUE;
0336     alg_4_aux := FALSE;
0337 END_IF
0338
0339 END_IF
0340 (*-----*)
0341
0342 IF OK OR OK_2 THEN
0343     triangulos_2 := 1;
0344 ELSE
0345     IF KO OR KO_2 THEN
0346         triangulos_2 := 0;
0347     ELSE
0348         alg_4_aux := TRUE;
0349     END_IF
0350 END_IF

```

Figura A.67. Algoritmo Transições – parte 6

```

0001 FUNCTION triangulos_2_orientacao : INT
0002 VAR_INPUT
0003 END_VAR
0004 VAR
0005     K: INT; P: INT;
0006     l: INT; t: INT;
0007     x: INT; y: INT;
0008
0009     retorna_se: INT; retorna_id: INT; retorna_sd: INT; retorna_ie: INT;
0010     retorna_ph: INT; retorna_nh: INT; retorna_nv: INT; retorna_pv: INT;
0011     conta_trans_ph: INT; conta_trans_ph_s: INT; conta_trans_nh: INT; conta_trans_nh_s: INT;
0012     conta_trans_nv: INT; conta_trans_pv: INT;
0013
0014 END_VAR
0001
0002 (* ----- Caso 8 - Caso de orientação dos Triângulos ----- *)
0003
0004 IF bt_caso8 THEN          (* Botão "Caso 8" foi premido *)
0005
0006     K := 0;
0007     se_tri_2 := FALSE;
0008     FOR i := 5 TO 0 BY -1 DO
0009         retorna_se := ph_find (l,k);
0010         IF retorna_se = -1 THEN
0011             se_tri_2 := TRUE;
0012         ELSE
0013             K := retorna_se;
0014         END_IF
0015     END_FOR
0016
0017     K := 0;
0018     id_tri_2 := FALSE;
0019     FOR i := 5 TO 0 BY -1 DO
0020         retorna_id := nh_find (l,k);
0021         IF retorna_id = -1 THEN
0022             id_tri_2 := TRUE;
0023         ELSE
0024             K := retorna_id;
0025         END_IF
0026     END_FOR
0027
0028     P := 0;
0029     sd_tri_2 := FALSE;
0030     FOR t := 0 TO 5 DO
0031         retorna_sd := nv_find (t,P);
0032         IF retorna_sd = -1 THEN
0033             sd_tri_2 := TRUE;
0034         ELSE
0035             P := retorna_sd;
0036         END_IF
0037     END_FOR
0038
0039     P := 0;
0040     ie_tri_2 := FALSE;
0041     FOR t := 0 TO 5 DO
0042         retorna_ie := pv_find (t,P);
0043         IF retorna_ie = -1 THEN
0044             ie_tri_2 := TRUE;
0045         ELSE
0046             P := retorna_ie;
0047         END_IF
0048     END_FOR
0049
0050 ELSE

```

Figura A.68. Algoritmo Orientação_triangulos – parte 1

```

0051  ie_tri_2 := FALSE; id_tri_2 := FALSE; se_tri_2 := FALSE; sd_tri_2 := FALSE;
0052  END_IF
0053
0054  (* ----- Caso 9 - Caso de orientação dos Quadrados sem esquina ----- *)
0055
0056  (* verificar quando ocorrem as transições ascendentes e descendentes nas linhas 0 e 5 *)
0057
0058  IF bt_caso9 THEN          (* Botão "Caso 9" foi premido *)
0059
0060      conta_trans_ph := 0;
0061      conta_trans_nh := 0;
0062      conta_trans_ph_s := 0;
0063      conta_trans_nh_s := 0;
0064
0065      FOR x := 0 TO 5 DO          (* x- coluna ; y- linha *)
0066          retorna_nh := nh_find(4,x);      (* procura na linha 4 a posição da transição descendente *)
0067          IF retorna_nh = -1 THEN
0068              EXIT;
0069          ELSE
0070              conta_trans_nh_s := retorna_nh;
0071          END_IF
0072      END_FOR
0073
0074      FOR x := 0 TO 5 DO          (* x- coluna ; y- linha *)
0075          retorna_nh := nh_find(1,x);      (* procura na linha 1 a posição da transição descendente *)
0076          IF retorna_nh = -1 THEN
0077              EXIT;
0078          ELSE
0079              conta_trans_nh := retorna_nh;
0080          END_IF
0081      END_FOR
0082
0083      FOR x := 0 TO 5 DO          (* x- coluna ; y- linha *)
0084          retorna_ph := ph_find(4,x);      (* procura na linha 4 a posição da transição ascendente *)
0085          IF retorna_ph = -1 THEN
0086              EXIT;
0087          ELSE
0088              conta_trans_ph_s := retorna_ph;
0089          END_IF
0090      END_FOR
0091
0092
0093      FOR x := 0 TO 5 DO          (* x- coluna ; y- linha *)
0094          retorna_ph := ph_find(1,x);      (* procura na linha 1 a posição da transição ascendente *)
0095          IF retorna_ph = -1 THEN
0096              EXIT;
0097          ELSE
0098              conta_trans_ph := retorna_ph;
0099          END_IF
0100      END_FOR
0101
0102  (* valores encontrado dizem respeito às últimas transições daquele tipo, encontradas no padrão *)
0103  IF conta_trans_ph_s <= (conta_trans_ph -1) THEN
0104      ie_quad_2 := TRUE; se_quad_2 := FALSE; sd_quad_2 := FALSE; id_quad_2 := FALSE;
0105  END_IF
0106  IF conta_trans_ph <= (conta_trans_ph_s -1) THEN
0107      se_quad_2 := TRUE; ie_quad_2 := FALSE; sd_quad_2 := FALSE; id_quad_2 := FALSE;
0108  END_IF
0109  IF conta_trans_nh_s <= (conta_trans_nh -1) THEN
0110      sd_quad_2 := TRUE; ie_quad_2 := FALSE; se_quad_2 := FALSE; id_quad_2 := FALSE;
0111  END_IF
0112  IF conta_trans_nh <= (conta_trans_nh_s -1) THEN
0113      id_quad_2 := TRUE; ie_quad_2 := FALSE; se_quad_2 := FALSE; sd_quad_2 := FALSE;
0114  END_IF

```

Figura A.69. Algoritmo Orientação_triangulos – parte 2

```

0115
0116 ELSE
0117   ie_quad_2 := FALSE; id_quad_2 := FALSE; se_quad_2 := FALSE; sd_quad_2 := FALSE;
0118 END_IF
0119
0120
0121 (* ----- Caso 10 - Caso de orientação dos Quadrados com reentrâncias ----- *)
0122
0123 IF bt_caso10 THEN      (* Botão "Caso 10" foi premido *)
0124
0125   conta_trans_pv := 0;
0126   conta_trans_nv := 0;
0127   FOR y := 0 TO 5 DO      (* x- coluna ; y - linha *)
0128     retorna_nv := nv_find(1,y);  (* procura na coluna 1 a posição da transição horizontal positiva *)
0129     IF retorna_nv = -1 THEN
0130       EXIT;
0131     ELSE
0132       conta_trans_nv := retorna_nv;
0133     END_IF
0134     retorna_pv := pv_find(4,y);  (* procura na coluna 4 a posição da transição horizontal negativa *)
0135     IF retorna_pv = -1 THEN
0136       EXIT;
0137     ELSE
0138       conta_trans_pv := retorna_pv;
0139     END_IF
0140   END_FOR
0141
0142   conta_trans_ph := 0;
0143   conta_trans_nh := 0;
0144   FOR x := 0 TO 5 DO      (* x- coluna ; y - linha *)
0145     retorna_ph := ph_find(1,x);  (* procura na linha 1 a posição da transição ascendente *)
0146     IF retorna_ph = -1 THEN
0147       EXIT;
0148     ELSE
0149       conta_trans_ph := retorna_ph;
0150     END_IF
0151     retorna_nh := nh_find(4,x);  (* procura na linha 4 a posição da transição descendente *)
0152     IF retorna_nh = -1 THEN
0153       EXIT;
0154     ELSE
0155       conta_trans_nh := retorna_nh;
0156     END_IF
0157   END_FOR
0158
0159 (* valores encontrado dizem respeito às últimas transições daquele tipo, encontradas no padrão *)
0160 IF conta_trans_pv = 4 AND conta_trans_ph = 5 THEN
0161   ie_reent_2 := FALSE; se_reent_2 := FALSE; sd_reent_2 := FALSE; id_reent_2 := TRUE;
0162 END_IF
0163 IF conta_trans_nv = 2 AND conta_trans_nh = 1 THEN
0164   ie_reent_2 := FALSE; se_reent_2 := TRUE; sd_reent_2 := FALSE; id_reent_2 := FALSE;
0165 END_IF
0166 IF conta_trans_ph = 4 AND conta_trans_nv = 1 THEN
0167   ie_reent_2 := TRUE; se_reent_2 := FALSE; sd_reent_2 := FALSE; id_reent_2 := FALSE;
0168 END_IF
0169 IF conta_trans_nh = 2 AND conta_trans_pv = 5 THEN
0170   ie_reent_2 := FALSE; se_reent_2 := FALSE; sd_reent_2 := TRUE; id_reent_2 := FALSE;
0171 END_IF
0172
0173 ELSE
0174   ie_reent_2 := FALSE; id_reent_2 := FALSE; se_reent_2 := FALSE; sd_reent_2 := FALSE;
0175 END_IF

```

Figura A.70. Algoritmo Orientação_triângulos – parte 3

```

0001 FUNCTION Regressao : INT
0002 VAR_INPUT
0003 END_VAR
0004 VAR
0005 i: INT;
0006 med_x: LREAL;      (* med_x - faz a média de uns existentes por coluna*)
0007 soma_colunas: INT;
0008 soma_linhas: INT;
0009 med_y: LREAL;      (* med_y - faz a média de uns existentes por coluna*)
0010 sxx: LREAL;
0011 sxy: LREAL;
0012 declive: LREAL;
0013 END_VAR
0001 (* _____ Algoritmo 6 - Regressão _____ *)
0003 (* _____ Corpo geral do algoritmo _____ *)
0005 (* Calculo prévio de alguns valores necessários. Nota: y - conta_coluna; x - conta_linha *)
0006 soma_colunas := 0;
0007 FOR i := 0 TO amostras_coluna DO
0008     soma_colunas := soma_colunas + conta_coluna[i];      (* vai à posição i da variável global, vector de inteiros, *)
0009                                                         (* "conta_coluna" e faz o somatório dos valores do vector*)
0010 END_FOR
0011 med_y := soma_colunas/(amostras_coluna+1);      (* med_y - faz a média de uns existentes por coluna*)
0013 soma_linhas := 0;
0014 FOR i := 0 TO amostras_linha DO
0015     soma_linhas := soma_linhas + conta_linha[i];      (* vai à posição i da variável global, vector de inteiros, *)
0016                                                         (* "conta_linha" e faz o somatório dos valores do vector*)
0017 END_FOR
0018 med_x := soma_linhas/(amostras_linha+1);      (* med_x - faz a média de uns existentes por coluna*)
0020 sxx := 0;
0021 FOR i := 0 TO amostras_linha DO
0022     sxx := sxx + (conta_linha[i] - med_x)*(conta_linha[i] - med_x);
0023 END_FOR
0024 sxy := 0;
0025 FOR i := 0 TO amostras_coluna DO
0026     sxy := sxy + (conta_linha[i] - med_x)*(conta_coluna[i]-med_y);
0027 END_FOR
0028 declive := sxx/sxy;
0031 (* _____ Fim da parte geral do programa _____ *)
0033 (* _____ caso 1 - identificaçã de triangulo _____ *)
0036 IF bt_caso1 THEN      (* Botão "Caso 1" foi premido *)
0038     IF declive >= 0.75 AND declive <= 1.5 THEN
0039         Regressao := 1;
0040     ELSE
0041         IF declive >= -1.5 AND declive <= -0.75 THEN
0042             Regressao := 0;
0043         ELSE
0044             IF declive > -0.75 AND declive < 0.75 THEN
0045                 alg_6_aux := TRUE;
0046             END_IF
0047         END_IF
0048     END_IF
0049 END_IF
0050 END_IF
0051

```

Figura A.71. Algoritmo Regressão – parte 1

```
0052
0053 (*----- caso 2 - identificaçã de quadrado furado -----*)
0054
0055 (*O declive será sempre zero mas a existencia do furo fará a linha de tendencia baixar*)
0056
0057 IF bt_caso2 THEN      (* Botão "Caso 2" foi premido *)
0058
0059     IF med_y <= 5 AND med_y >= 4 THEN
0060         Regressao := 1;
0061     ELSE
0062         IF med_y <= 6 AND med_y > 5.5 THEN
0063             Regressao := 0;
0064         ELSE
0065             IF med_y <= 5.5 AND med_y > 5 OR med_y < 4 THEN
0066                 alg_6_aux := TRUE;
0067             END_IF
0068         END_IF
0069     END_IF
0070
0071 END_IF
0072
0073
0074 (* caso 3 - não aplicavel *)
0075 (* caso 4 - não aplicável *)
0076 (* caso 5 - não aplicável *)
0077 (* caso 6 - não aplicável *)
0078 (* caso 7 - não aplicável *)
```

Figura A.72. Algoritmo Regressão – parte 2

Anexo 4

Programação PLC

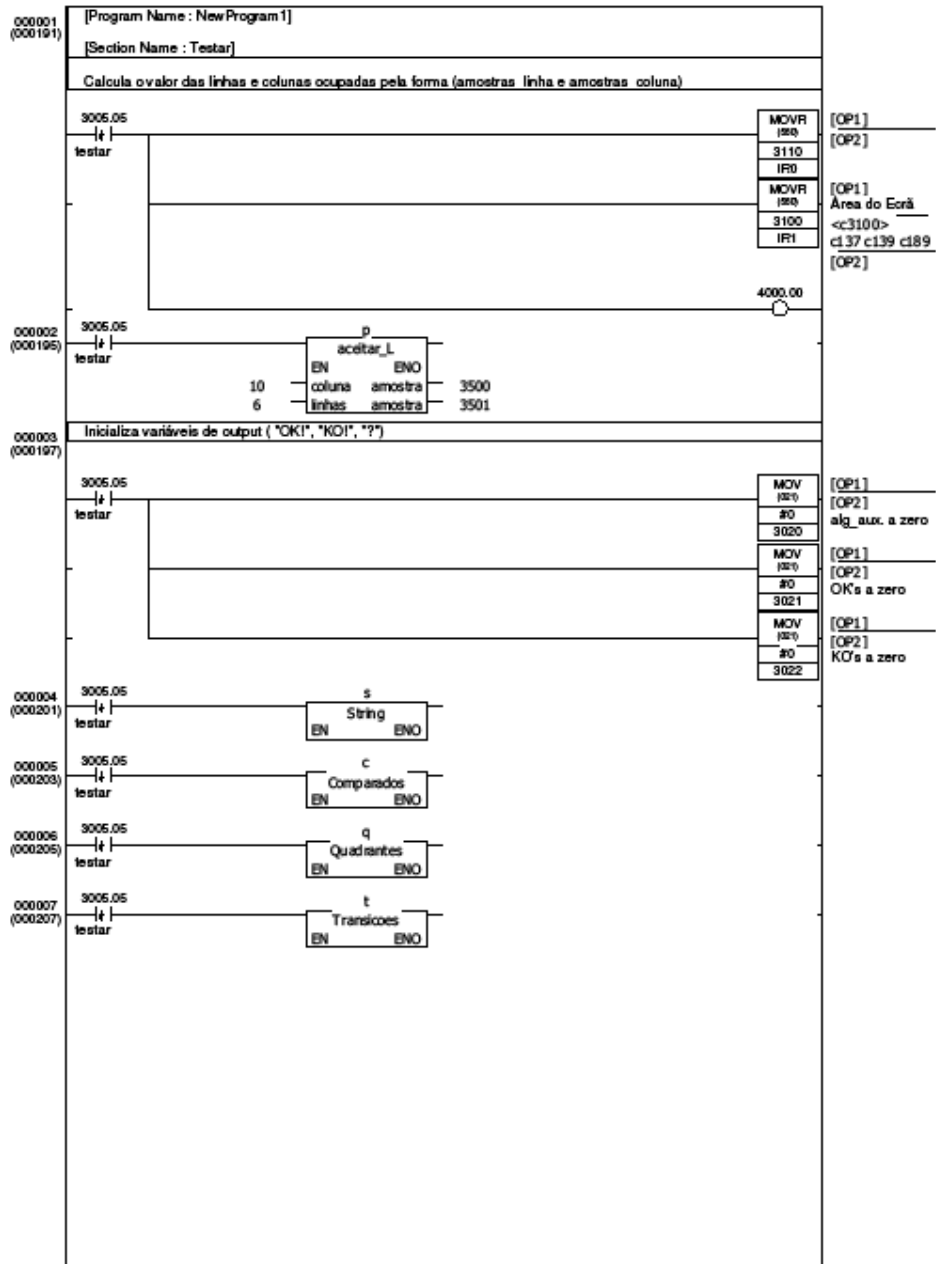


Figura A.73. Função “Testar” (Ladder)

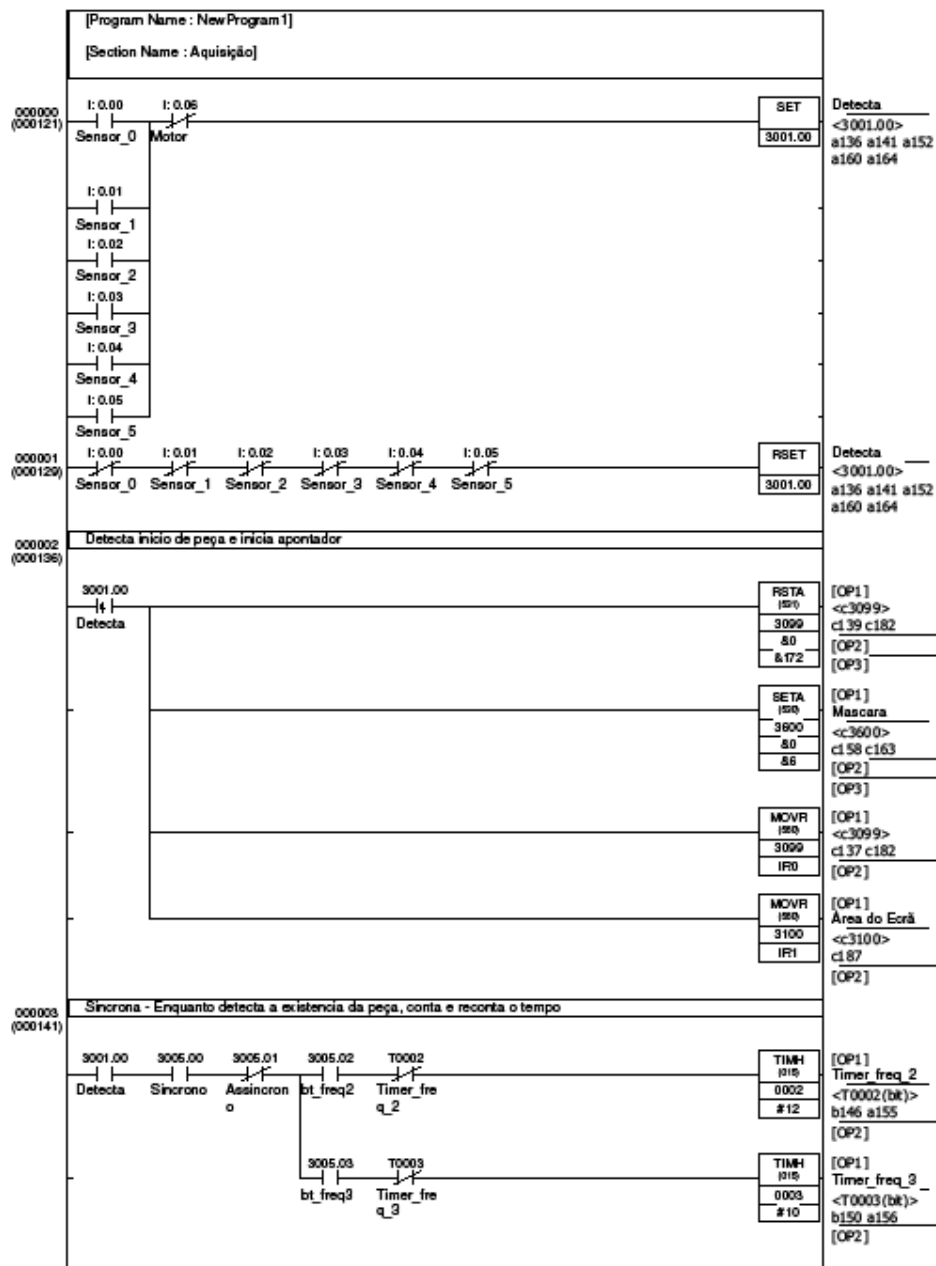


Figura A.74. Aquisição de dados síncrona e assíncrona – parte 1

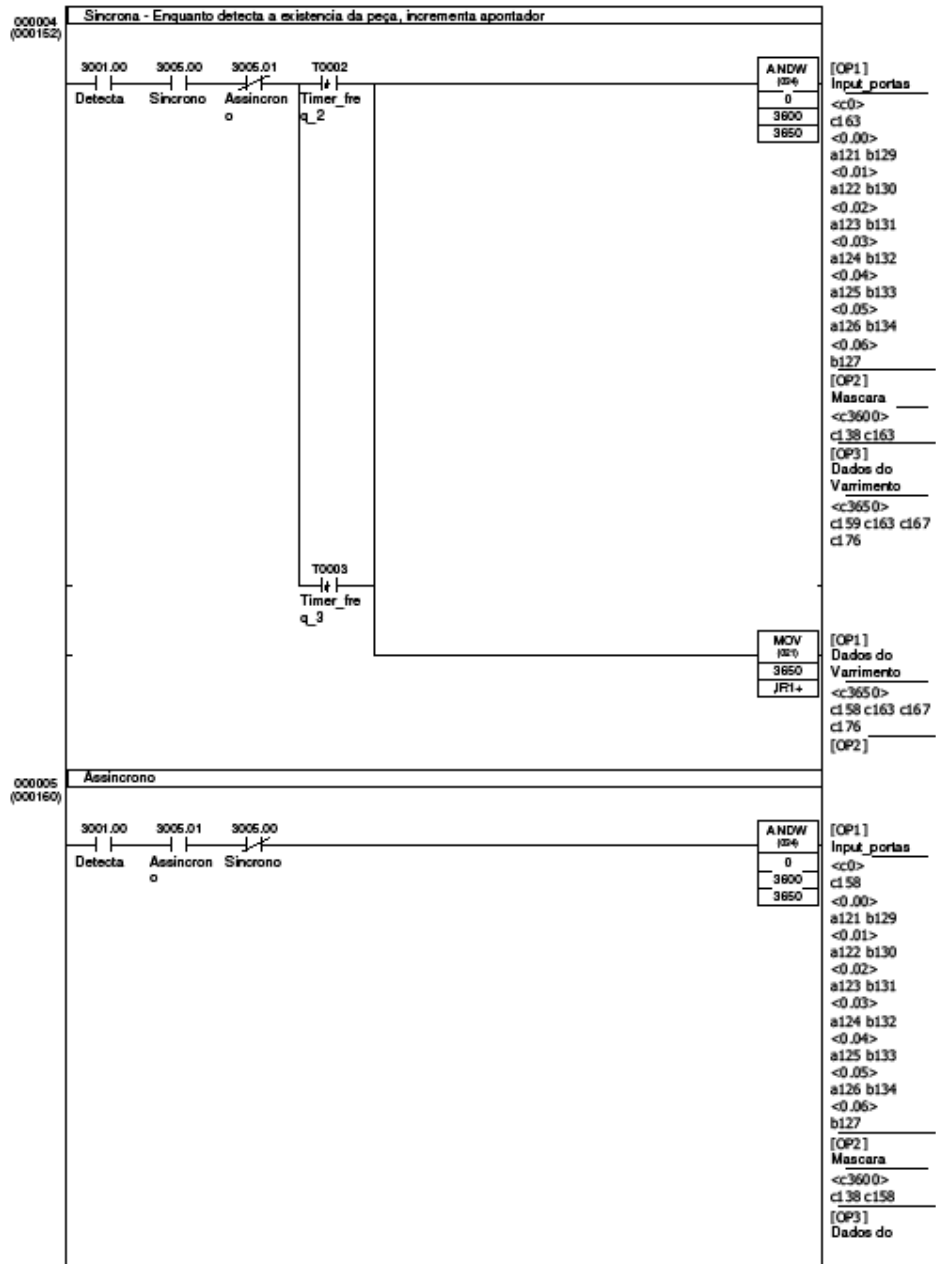


Figura A.75. Aquisição de dados síncrona e assíncrona – parte 2

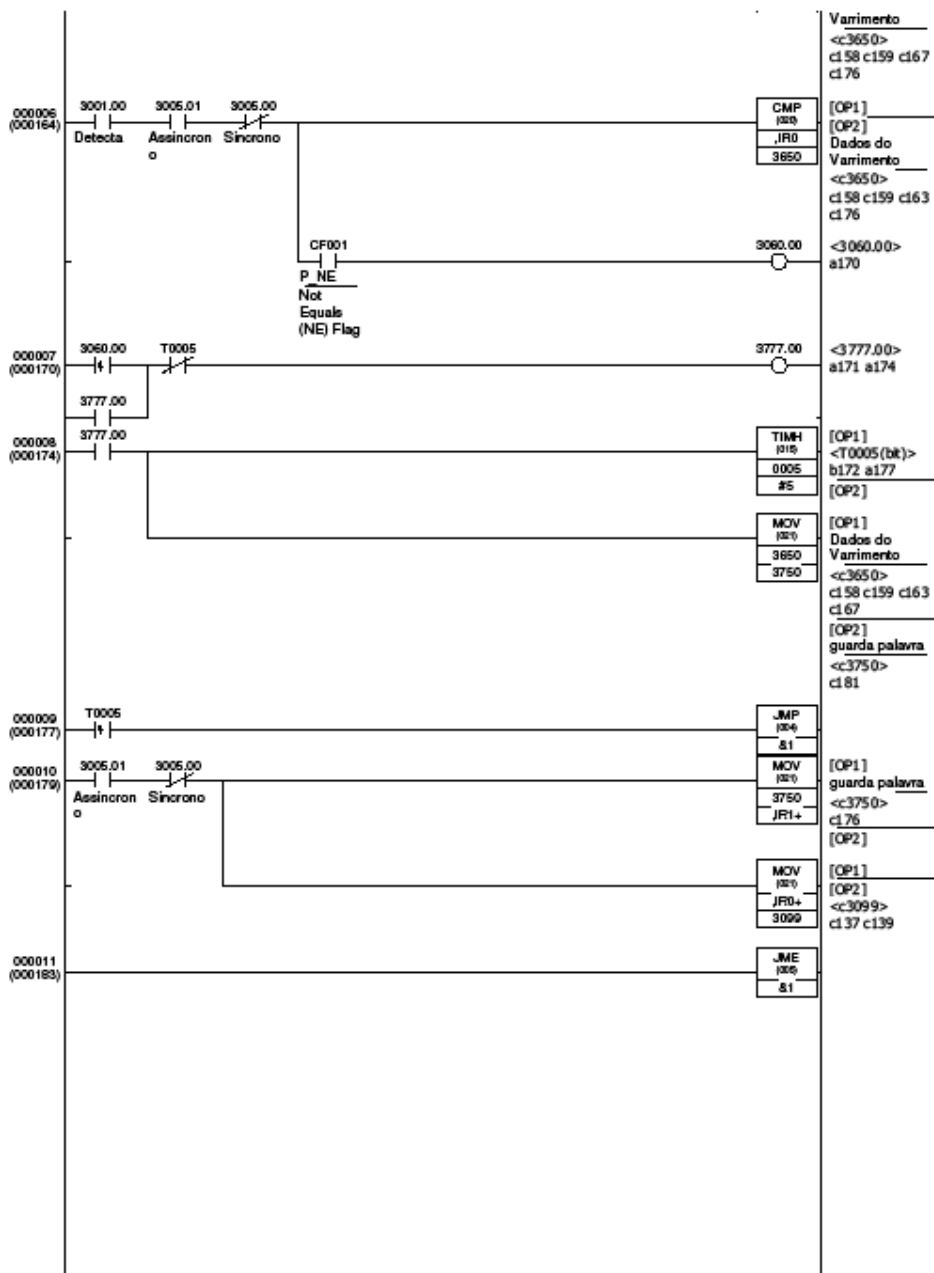


Figura A.76. Aquisição de dados síncrona e assíncrona – parte 3

Variable Type	Name	Data Type	Retained	AT	Initial Value	Comment
Inputs	EN	BOOL	No		FALSE	Controls execution of the Function Block.
Inputs	coluna	INT	No		0	
Inputs	linhas	INT	No		0	
Outputs	ENO	BOOL	No		FALSE	Indicates successful execution of the Function Block.
Outputs	amostras_coluna	INT	No		0	
Outputs	amostras_linha	INT	No		0	
Internals	teste	BOOL	No		FALSE	
Internals	mascara	WORD	No		0	
Internals	posicao	WORD	No		0	
Internals	contador	INT	No		0	
Internals	ciclos_c	INT	No		0	
Internals	subtraido_c	INT	No		0	
Internals	temp	WORD	No		0	
Internals	ciclos_l	INT	No		0	
Internals	masc_shift	WORD	No		0	
Internals	temp_2	WORD	No		0	
Internals	teste_2	BOOL	No		FALSE	
Internals	subtraido_l	INT	No		0	
Internals	contador_c	INT	No		0	

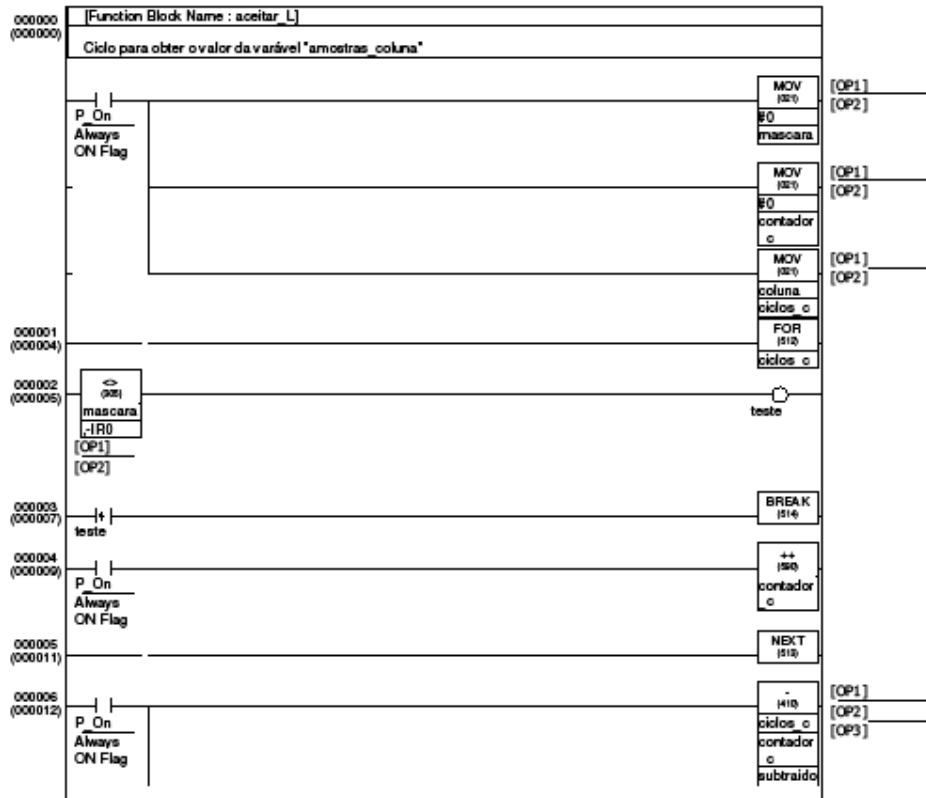


Figura A.77. Função aceitar – parte 1

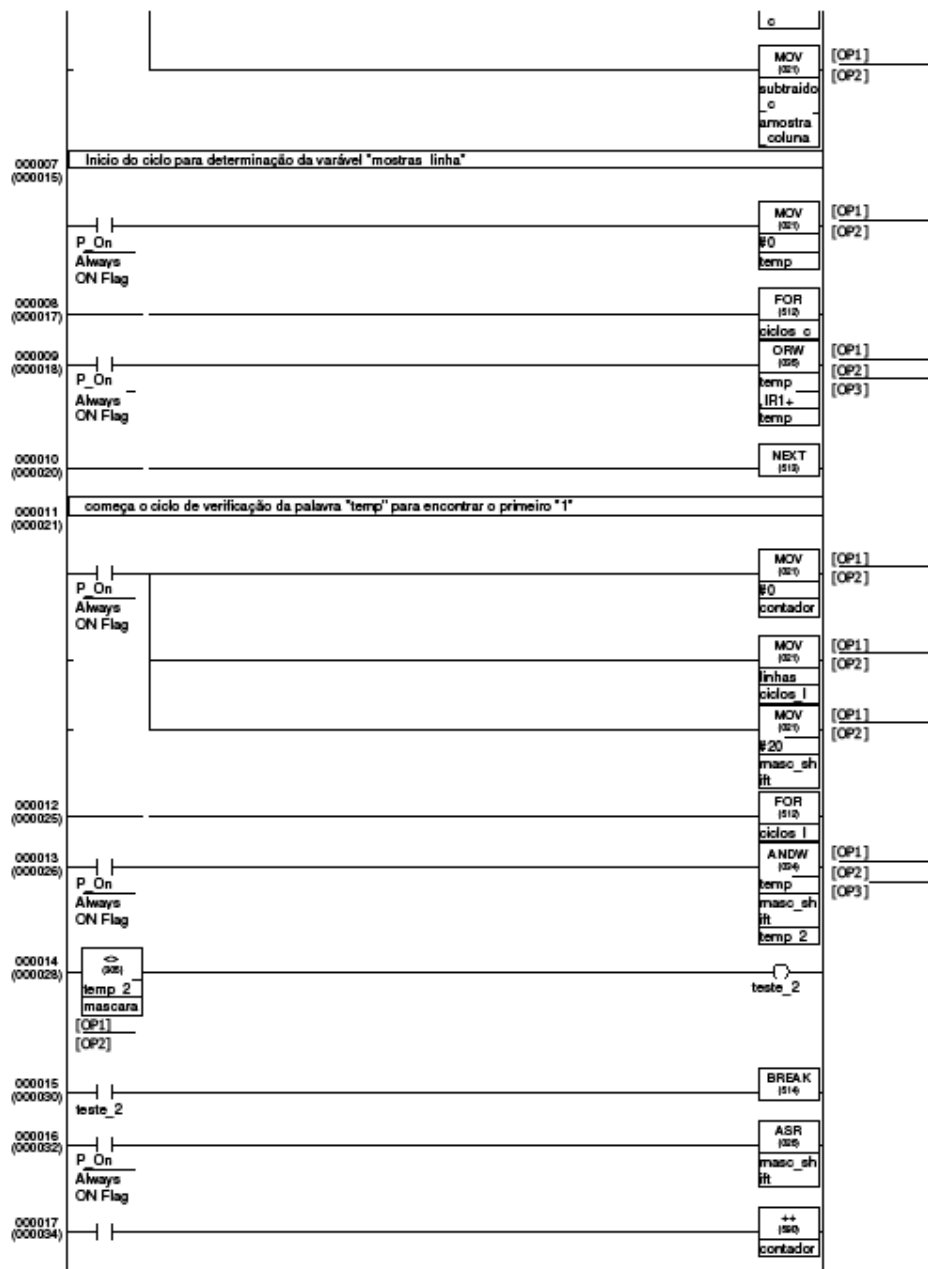


Figura A.78. Função aceitar – parte 2

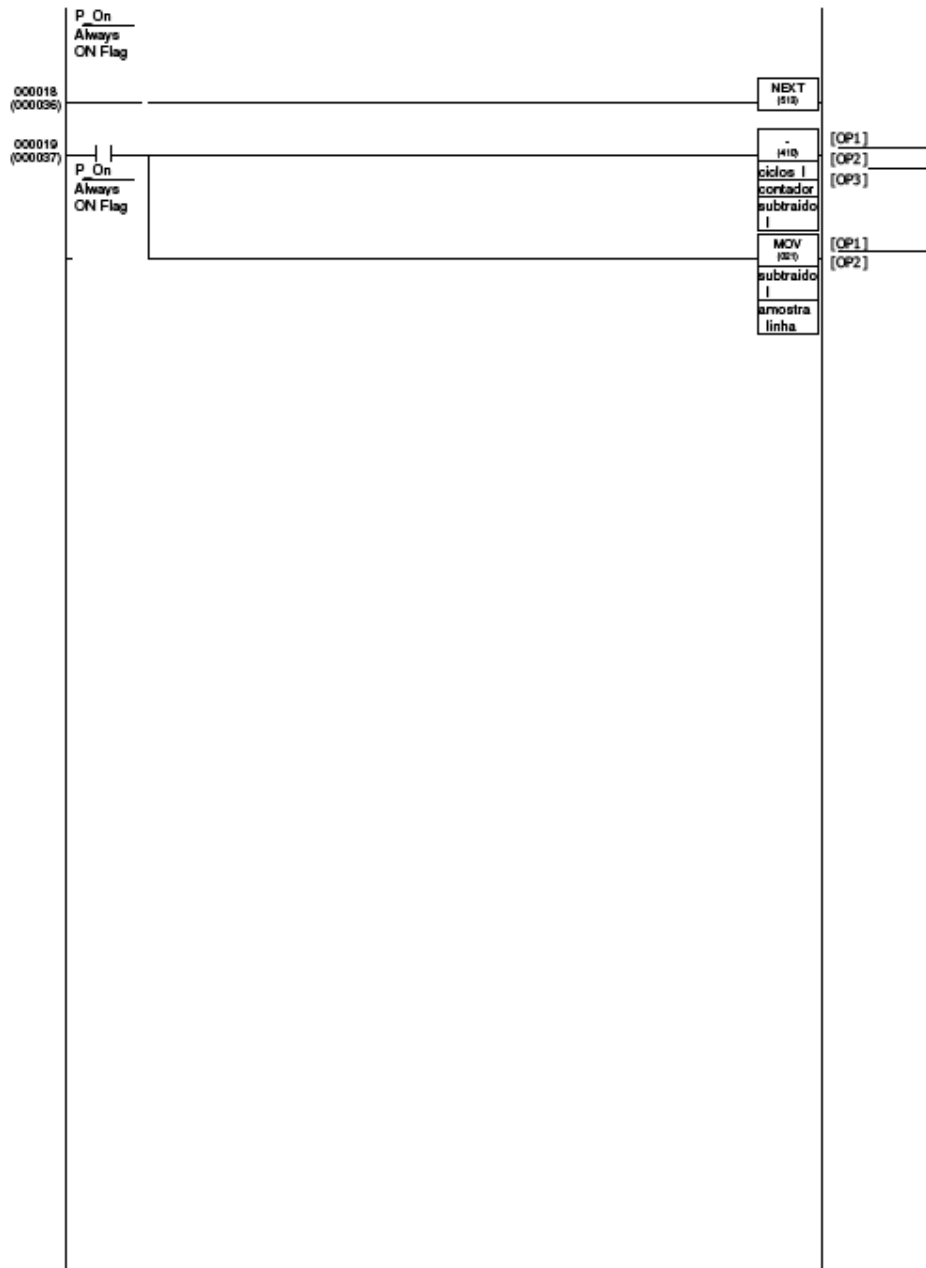


Figura A.79. Função aceitar – parte 3